

TECHNICKÁ UNIVERZITA V LIBERCI
Fakulta mechatroniky a mezioborových inženýrských studií

TECHNICKÁ UNIVERZITA V KOŠICIACH
Fakulta elektrotechniky a informatiky

SPÍNANÝ RELUKTANČNÝ MOTOR

PRINCÍP, KONŠTRUKCIA, RIADENIE

Habilitačná práca

UNIVERZITNÍ KNIHOVNA
TECHNICKÉ UNIVERZITY V LIBERCI



3146088116

KES

Január 2006

Ing. Želmirá Ferková, CSc.

TECHNICKÁ UNIVERZITA V LIBERCI
Univerzitní knihovna
oněžská 1329, Liberec 1
PSČ 461 17

U48.3M

771

ob.

OBSAH

1	ÚVOD.....	5
1.1	AKČNÉ ČLENY V TECHNICKEJ KYBERNETIKE.....	5
1.2	HISTÓRIA VZNIKU SRM.....	5
1.3	CIEL HABILITAČNEJ PRÁCE.....	8
2	KONŠTRUKCIA SPÍNANÉHO RELUKTAMČNÉHO MOTORA (SRM)	10
2.1	TYPY KONŠTRUKCIÍ SRM.....	10
2.2	ZÁKLADNÉ OBJEMOVÉ VZŤAHY	16
3	PRINCÍP ČINNOSTI	18
3.1	PREMENA ENERGIE.....	23
3.2	MAGNETICKÉ POLE SRM	25
3.3	VYTVÁRANIE MOMENTU	29
4	ZAŤAŽOVACIE CHARAKTERISTIKY	32
4.1	ÚČINNOSŤ.....	35
4.2	NAPÁJACIE ZDROJE PRE SPÍNANÉ RELUKTANČNÉ STROJE.....	37
5	MODELOVANIE A SIMULÁCIA (MODELY SRM)	40
5.1	MODEL SRM VYCHÁDZAJÚCI ZO SPLINE FUNKCII	43
5.2	MODEL SRM PRACUJÚCI S TABUĽKOU	48
5.3	VPLYV LINEARIZÁCIE	53
6	RIADENIE SRM	56
6.1	PRINCÍPY RIADENIA SRM	56
6.2	RIADENIE NA PRIRODZENÚ CHÝCHLOSŤ	58
7	BEZSNÍMAČOVÉ RIADENIE	61
7.1	IDENTIFIKÁCIA ZAČIATOČNEJ POLOHY ROTORA	62
7.2	BEZSNÍMAČOVÉ RIADENIE SRM PRI NÍZKYCH OTÁČKACH	63
7.3	BEZSNÍMAČOVÉ RIADENIE SRM NA ZÁKLADE TVARU PRÚDOVÉHO IMPULZU	68
8	ZÁVER	73
9	LITERATÚRA	74

ZOZNAM SYMBOLOV

- β_1 [rad] – stredový uhol statorového pólu
 β_2 [rad] – stredový uhol rotorového pólu
 χ - najmenší spoločný násobok $2p_1$ a $2p_2$
 η [-] - účinnosť
 μ [$\text{H} \cdot \text{m}^{-1}$] - permeabilita
 ν_{max} [rad] - uhol zodpovedajúci maximálnej indukčnosti
 ν_{min} [rad] - uhol zodpovedajúci minimálnej indukčnosti
 Θ [rad] - uhol natočenie rotora voči statoru
 $\Theta_0, \Theta_1, \Theta_2, \Theta_3, \Theta_4$ - [deg] zlomové body na linearizovanej závislosti $L=f(\Theta)$
 Θ_p [rad] – posun priebehov indukčnosti jednotlivých fáz
 Θ_{px} [rad] – uhol natočenia rotora voči statoru
 Θ_{pmax} [rad] – uhol natočenia rotora voči statoru zodpovedajúci súosej polohe
 τ [deg] - períoda opakovania priebehu indukčnosti
 ω [s^{-1}] - uhlová rýchlosť
 ω_n [s^{-1}] - menovitá uhlová rýchlosť
 Ψ [Wb] - spriahnutý magnetický tok
 Ψ_x [Wb] - spriahnutý magnetický tok zodpovedajúci prúdu i_x
 Ψ_{sx} [Wb] - spriahnutý magnetický tok zodpovedajúci prúdu a polohe
 Ψ_{sat} [Wb] - spriahnutý magnetický tok v oblasti nasýtenia
 ζ [rad] - šírka úsekov lineárneho nárastu resp. poklesu indukčnosti
 A [$\text{A} \cdot \text{m}^{-1}$] – lineárna prúdová hustota
 $a_1(\Theta), a_2(\Theta), a_3(\Theta), a_i(\Theta)$ – funkcie určené Fourierovým rozvojom
 a - konštantá
 B [T] – elektromagnetická indukcia
 Bl_123 – blokovacie impulzy
 $beta$ – pomocná premenná
 b_n koeficient
 D [m] – vonkajší priemer rotora
 D – oblasť
 $delta$ – pomocná premenná
 $g(x,y)$ – bikubický polynóm
 I [A] – prúd
 I_1, I_2, I_3 [A] – prúdy jednotlivých fáz
 i [A] – prúd
 imp - impulzy
 $i_x[A]$ - prúd
 $i_s[A]$ - zvolená hodnota prúdu
 imp – počet impulzov na otáčku
 J [$\text{kg} \cdot \text{m}^2$] – moment zotrvačnosti
 K_s – koeficient
 $K_{\mu\alpha}$ – koeficient

$K_{\mu min}$ - koeficient

$K_{\mu max}$ - koeficient

k_λ [-] - činitel zohľadňujúci rekuperáciu energie el.mag. poľa do siete t.j. ekvivalent $\cos\varphi$

k_d [-] - činitel tvaru

k_L [-] - koeficient pomernej zmeny indukčnosti

k_r [-] - pomerný uhol vedenia

l_{Fe} [m] - aktívna dĺžka železa

$L[H]$ - indukčnosť

L_{max} [H] - maximálna indukčnosť

L_{min} [H] - minimálna indukčnosť

L_u [H] - zvolené hodnota indukčnosti z nameraných hodnôt

M [Nm] - moment

M_z [Nm] - moment záťaže

MA1, MA2, MA3 - označenie blokov pre výpočet momentov jednotlivých fáz

M_t [Nm] - moment záťaže

M_t [Nm] - moment trenia

n [ot.s⁻¹] - otáčky rotora

ω [s⁻¹] - uhlová rýchlosť

ω_{id} [s⁻¹] - identifikovaná uhlová rýchlosť

ω_{poz} [s⁻¹] - požadovaná uhlová rýchlosť

P [W] - výkon

p_1 [-] - počet párov pólov statora

p_2 [-] - počet párov pólov rotora

P_n [W] - menovitý výkon

R [Ω] - odpor

R_1 [Ω] - odpor fázy statora

R_2 [Ω] - odpor rekuperačného obvodu

sign. - premenná určujúca smer otáčania

sum, sum I [A] - súčet okamžitých hodnôt prúdov všetkých fáz

t [s] - čas

u [V] - napätie

$uhol$ [°] - uhol natočenia rotora voči statoru (0-90)

$uhol_id$ [°] - identifikovaný uhol natočenia rotora voči statoru

U_1, U_2, U_3 [V] - napäcia jednotlivých fáz

U_r [V] - rekuperačné napätie

v - vypínač

V [m³] - objem

W [Ws] - energia magnetického poľa

W' [Ws] - koenergia

W_1 [Ws] - energia premenená na prácu

W_2 [W.s] - energia vrátená do siete

1 ÚVOD

1.1 AKČNÉ ČLENY V TECHNICKEJ KYBERNETIKE

Vo všeobecnosti elektrický stroj môžeme zaradiť medzi elektromagnetické akčné členy regulačného obvodu. Akčný člen prenáša pôsobenie riadiaceho systému na riadený systém. Riadeným systémom môže byť pracovný mechanizmus resp. technologický proces . Akčný člen zabezpečuje potrebné množstvo energie, materiálu, látok, surovín, ktoré sú vyjadrené kvantitatívne hmotnosťou, objemom, tlakom, teplotou alebo rýchlosťou médií [52].

Principiálne môžeme mechatronické akčné členy rozdeliť do troch skupín:

- Elektromagnetické akčné členy – patria sem elektromotory t.j. jednosmerné stroje, asynchronné stroje, synchronné stroje, krokové motory, reluktančné stroje, a elektromagnety
- Fluidné akčné členy – patria sem hydraulické a pneumatické akčné členy
- Nekonvenčné akčné členy (piezoelektrické, magnetostriktívne, akčné členy s materiálmi s tvarovou pamäťou)

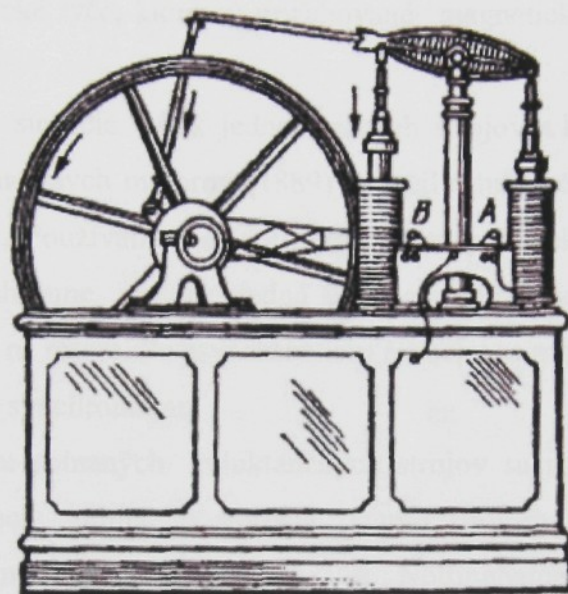
V elektromechanickom systéme akčný člen transformuje elektrický vstup na mechanický výstup daný polohou, rýchlosťou, momentom alebo silou.

1.2 HISTÓRIA VZNIKU SRM

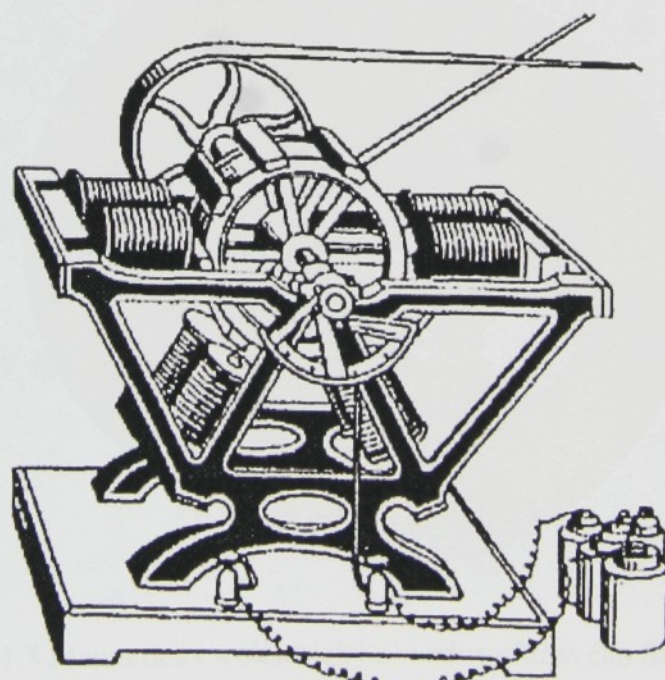
Jedným z typov elektromagnetických akčných členov je reluktančný motor. Motor vytvára moment na základe zmeny reluktancie budeného obvodu t.j. využíva jav, že rotor sa snaží zaujať takú polohu aby reluktancia magnetického obvodu bola čo najmenšia . Tento princíp je známy od prvej polovice 18. storočia a na tomto princípe boli založené prvé elektrické motory. Tieto pracovali na princípe vťahovania železného jadra cievkami. Lineárny resp. kmitavý pohyb bol transformovaný na rotačný pomocou ojnice resp. kolovrátkového systému. Jeden z takýchto typov motorov je zobrazený na obr.1.1.

Okrem motorov našiel v minulosti princíp premenlivej reluktancie použitie aj vo vysokofrekvenčných generátoroch. Tieto sa používali na napájanie indukčných pecí alebo na výrobu vysokofrekvenčných rádiových a radarových vln.

Reluktančné stroje sa ďalej delia na synchrónne reluktančné stroje a spínané reluktančné stroje (SRM). Hlavný rozdiel medzi nimi spočíva v tom, že synchrónny reluktančný stroj pracuje s točivým magnetickým poľom podobne ako synchrónny stroj, ale bez budenia v rotore.



Obr. 1.1 Elektrický stroj pracujúci na princípe zmeny reluktancie s priamočiarym vratným pohybom.

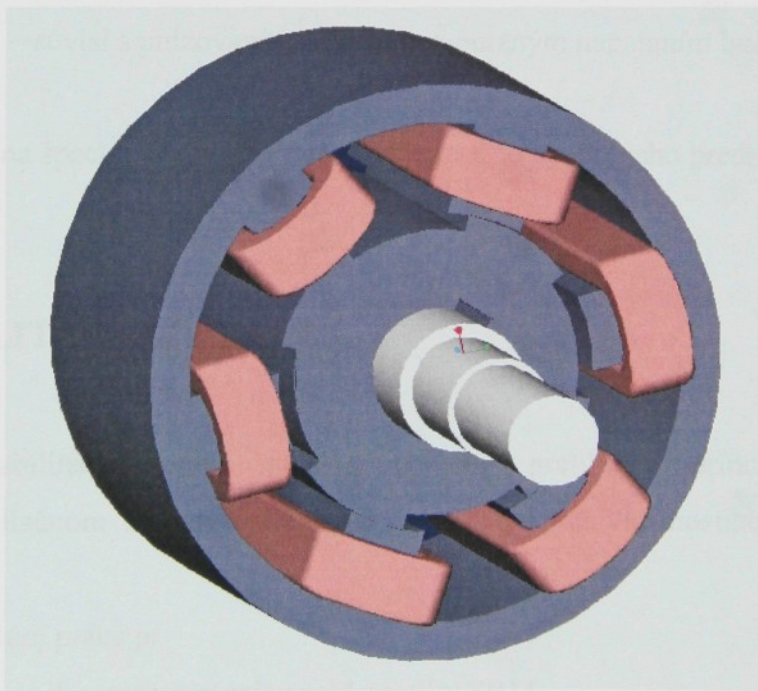


Obr. 1.2 Fromentov motor.

Reluktančný motor, ktorý sa v mnohom podobá na dnešný spínaný reluktančný motor skonštruoval Gustav Froment v roku 1845 obr.1.2 [7]. Takýto motor sa požíval na dvíhanie závaží vežových hodín, ale aj ako pohon brúsnych kotúčov. Zobrazený je štvorfázový motor. Cievky tej istej fázy sú na jadre tvaru U. Na rotore z nemagnetického materiálu (drevené koleso) sú feromagnetické tyče, ktoré sú pritahované magnetickými obvodmi jednotlivých fáz, podľa nabudenia.

V polovici 19. storočia vznik jednosmerných strojov a koncom 19. storočia objav točivého poľa a asynchronných motorov (1889) zatlačil reluktančné stroje do úzadia aj keď úplne nikdy nevymizli. Používali sa ako krokové motory s neaktívnym rotorom resp. ako synchronizované asynchronné motory. Jedná sa o asynchronny motor s klietkou nakrátko s vyfrézovanými pólmi na rotore. Po asynchronnom rozbehu sa motor vplyvom reluktančného momentu „vtiahne“ do synchronizmu.

Opäťovný návrat spínaných reluktančných strojov sa spája s rozvojom výkonovej elektroniky v 60-rokoch minulého storočia. Týmto strojom sa ako prvý znova začali zaoberať pracovníci na univerzít v Leeds a Nottinghame. Súčasne so spínanými reluktančnými motormi sa rozvíjali aj synchrónne reluktančné stroje .



Obr. 1.3 Magnetický a elektrický obvod trojfázového SRM.

SRM sa vyznačuje jednoduchou konštrukciu – rotor aj stator sú skladané s plechov a majú vyjadrené póly, vinutie je len na statore. Jednu fazu tvoria obyčajne vinutia dvoch

protiľahlých pólov. Stroj má rozdielny počet pólov na statore a rotore. Možné kombinácie počtu statorových a rotorových pólových dvojíc sú napr. $p_1/p_2=3/2$, $4/3$, $5/2$, $12/8$ atď. Na obr.1.3 je znázornený magnetický obvod a budiace vinutia jedného z možných typov spínaných reluktančných motorov.

Výhodné vlastnosti SRM voči iným motorom:

- jednoduchá konštrukcia t.j. stator aj rotor sú zložené z plechov pomerne jednoduchého rezu, vinutie sa nemusí ukladať pracne do drážok a výroba budiaceho vinutia je jednoduchšia
- vinutie je napájané impulzmi jednej polarity t.j. menšie nároky na napájací zdroj
- väčšia tepelná preťažiteľnosť t.j. vinutie je len na statore , cievky sú na vyniklých póloch kde je lepšia možnosť chladenia ako v drážkach klasických motorov
- pohon je reverzačný a môže aj krokovat'

Nevýhody SRM sú:

- pulzujúci moment - moment motora je vytváraný jednotlivými fázami v určitej postupnosti, správnym riadením je možné minimalizovať pulzovanie momentu
- potreba merania alebo identifikácie polohy rotora voči statoru - bez znalosti okamžitej polohy rotora voči statoru nedajú sa jednotlivé fázy presne spínať
- vyššia hlučnosť – súvisí s pulzovaním momentu a pulzným napájaním budiacich cievok.

SRM je motor na špeciálne použitie tam, kde je možné využiť jeho prednosti a nevadia jeho nevýhody.

1.3 CIEĽ HABILITAČNEJ PRÁCE

Predkladaná habilitačná práca podáva ucelený prehľad o princípe činnosti, matematickom a simulačnom modely, statických a dynamických vlastnostiach a metódach riadenia SRM.

Cieľom habilitačnej práce je

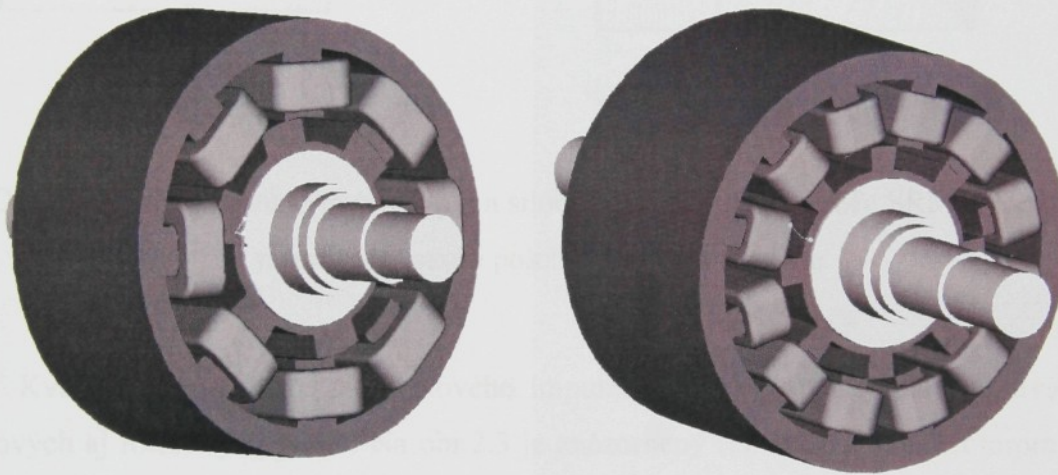
- spracovanie súčasného stavu riešenia problematiky SRM,
- prezentácia výsledkov autorky tejto práce v oblasti riešenia matematického a simulačného modelu SRM ako nelineárneho systému,
- prezentácia výsledkov v oblasti bezsnímačového riadenia motora s využitím jeho nelineárneho matematického a simulačného modelu.

V práci sú uvedené výsledky simulácie ako aj výsledky získané meraním. Pokiaľ sú uvedené konkrétné hodnoty vzťahujú sa na prototyp trojfázového motora s $2p_1/2p_2=6/4$ navrhnutý na Katedre elektrických pohonov FEI TU v Košiciach v rámci výskumnej úlohy A 06-124-808/DÚ 01 „Elektrický pohon so spínaným reluktančným motorom“, zodpovedný riešiteľ ing.F.Magyar,CSc. V rámci tejto výskumnej úlohy som pracovala na návrhu a meraní motoru. K motoru bol navrhnutý a realizovaný napäťový menič.

2 KONŠTRUKCIA SPÍNANÉHO RELUKTAMČNÉHO MOTORA (SRM)

2.1 TYPY KONŠTRUKCIÍ SRM

Existujú rôzne konštrukcie SRM. Na obr.2.1 sú priestorovo zobrazené magnetické a elektrické obvody dvoch typov motorov. Jednu fázu obyčajne tvoria dve (pri motore $p_1/p_2=12/8$ štyri) cievky zapojené na protiľahlých póloch. (Možné kombinácie počtu statorových a rotorových pôlových dvojíc sú napr. $p_1/p_2=3/2, 4/3, 5/2$ atď.).

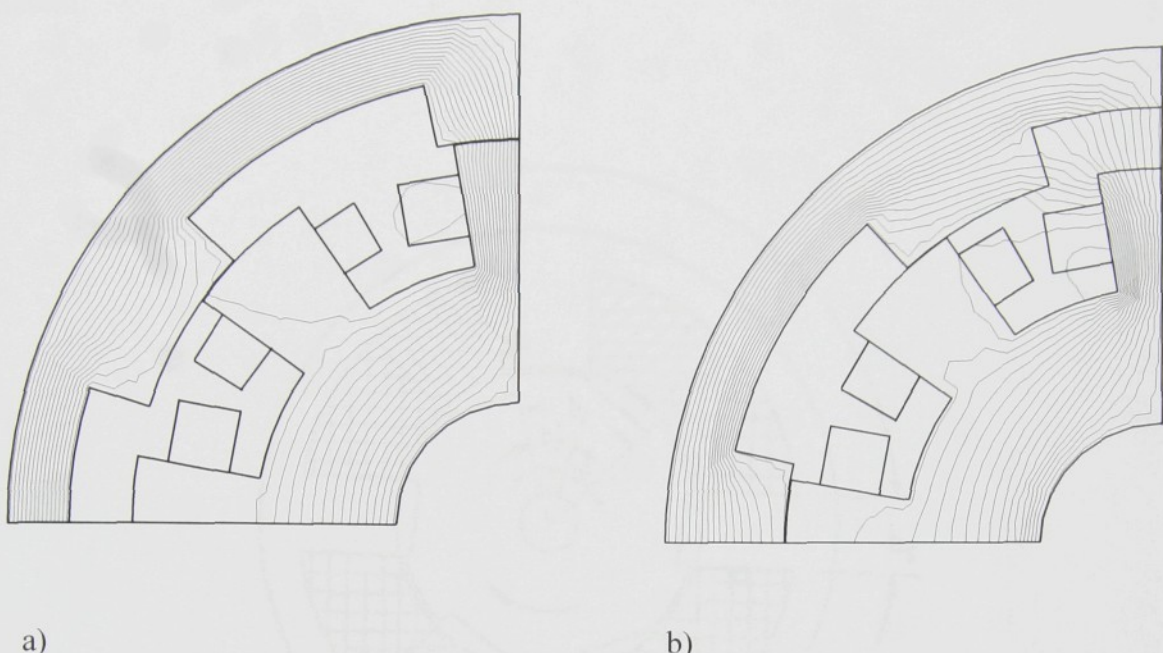


Obr. 2.1 Typy spínaných reluktančných motorov.

Je použiteľná aj konštrukcia s vonkajším rotorom . Na obr. 2.2 je znázornený rez magnetickým obvodom a súčasne tvar magnetického poľa SRM s vonkajším rotorom v súosej a nesúosej polohe. V automatizačnej technike našli uplatnenie lineárne spínané reluktančné motory. Príklad konštrukcie lineárneho spínaného motora, ktorý je zabudovaný v zariadení je na obr.2.9.

V priemysle sa najčastejšie používajú nasledujúce kombinácie:

	Póly/počet fáz			
stator	6/3	8/4	12/3	12/6
rotor	4	6	8	10



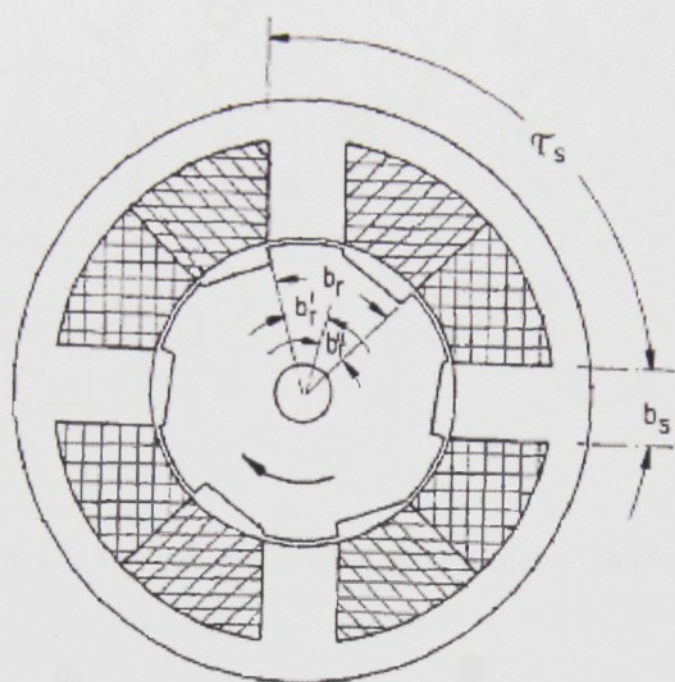
Obr. 2.2 Rez magnetickým obvodom a siločiary magnetického poľa SRM s vonkajším rotorom. a) súosá poloha, b) nesúosá poloha

Kvôli zlepšeniu tvaru momentového impulzu boli navrhované rôzne úpravy tvarov statorových aj rotorových pólov. Na obr.2.3 je znázornený rez dvojfázovým rotorom. Motor má tvarovanú rotorovú drážku. Na obr.2.4 je znázornený motor s upraveným statorovým pólom a na obr.2.5 sú znázornené možné úpravy rotorových pólov. Okrem rôznych výrezov sú možné rôzne skosenia alebo zaoblenia. Inou možnosťou na úpravu tvaru momentového impulzu je napr. vloženie magnetu do drážky statorového pólu (obr.2.6.). Tiež je možné zošikmenie rotorových pólov (drážok) v pozdĺžnom smere, podobne ako u asynchronných strojov sú zošikmené drážky. Aj táto úprava ma vplyv na tvar momentového impulzu.

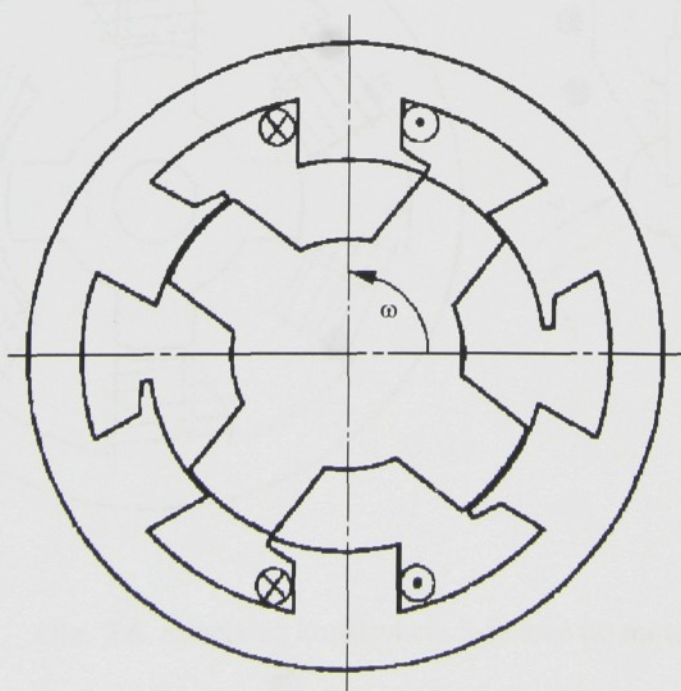
Obr.2.7 ilustruje rez zložitejším magnetickým obvodom. Tok budiacich pólov sa neuzatvára cez oba hlavné poly ale cez pomocné póly, ktoré sú umiestnené medzi hlavnými pólmi. Pri veľkých priemeroch rotora ako je to na obr.2.8 je možne použiť len segment statora. Zobrazený je pohonný motor bubna pračky.

Jednou z nevýhod SRM je zvýšený hluk. Tento je možné redukovať tvarovaním rotorových pólov v axiálnom smere. Motor má potom premenlivú vzduchovú medzeru aj v axiálnom smere. V strede je vzduchová medzera väčšia a smerom k čelám vinutí sa zmenšuje. Boli patentované rôzne úpravy, jedna s výrobne najjednoduchších je zobrazená na obr.2.10.

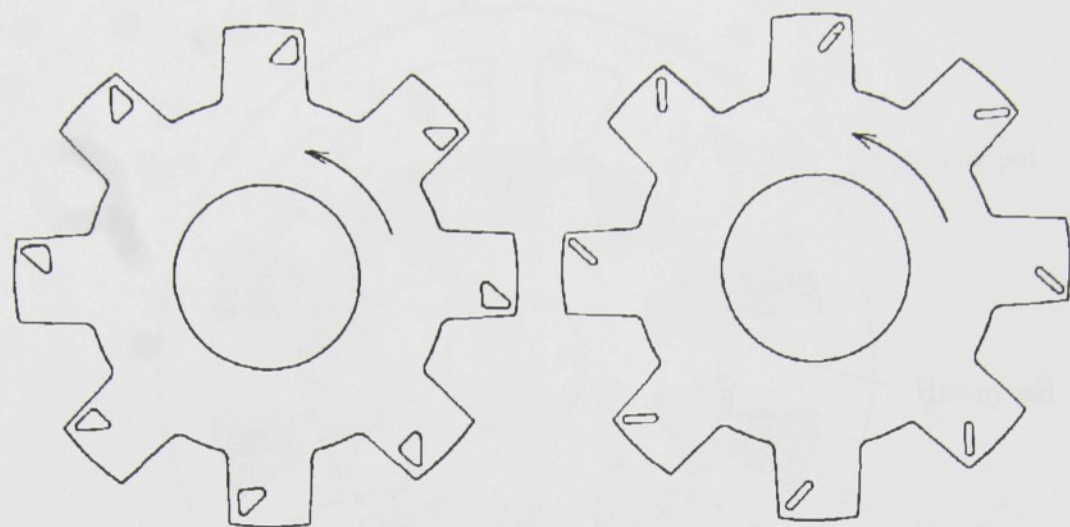
Variabilnosť tvarov a úprav je veľmi veľká. Boli vybrané len niektoré z možných riešení.



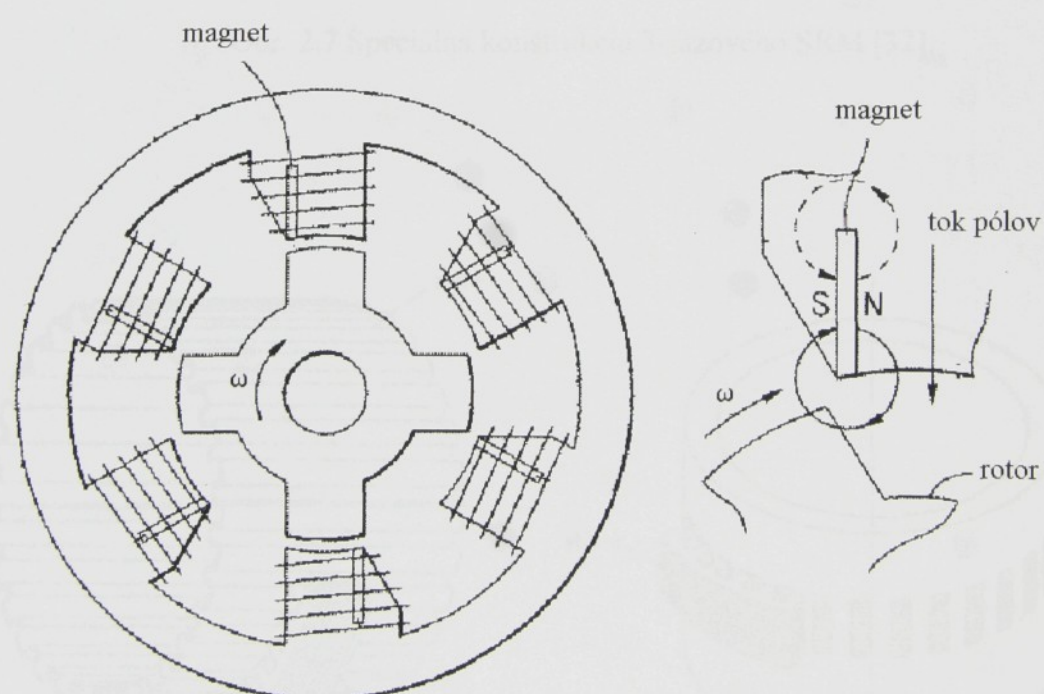
Obr. 2.3. Dvojfázový motor [12].



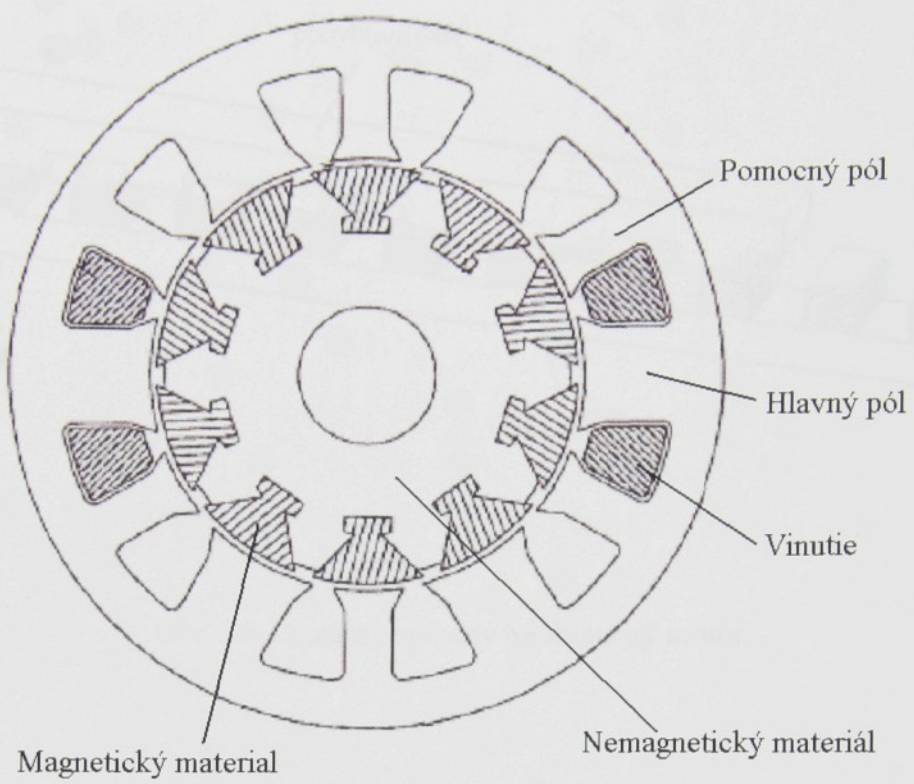
Obr. 2.4. Špeciálna konštrukcia 3-fázového motora [53].



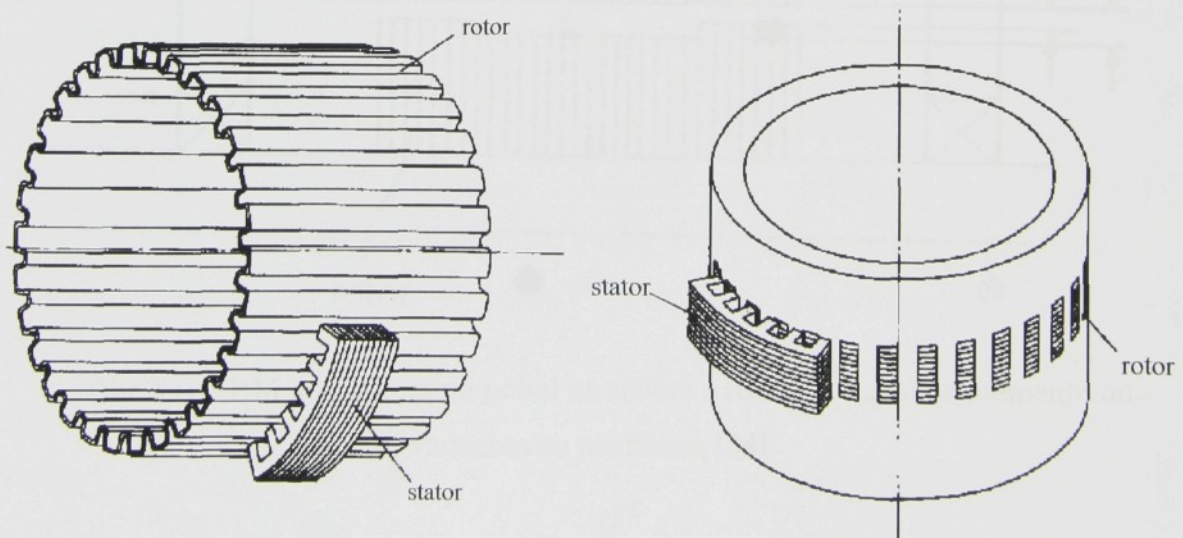
Obr. 2.5. Vo svete patentované úpravy rotorových pólov SRM.



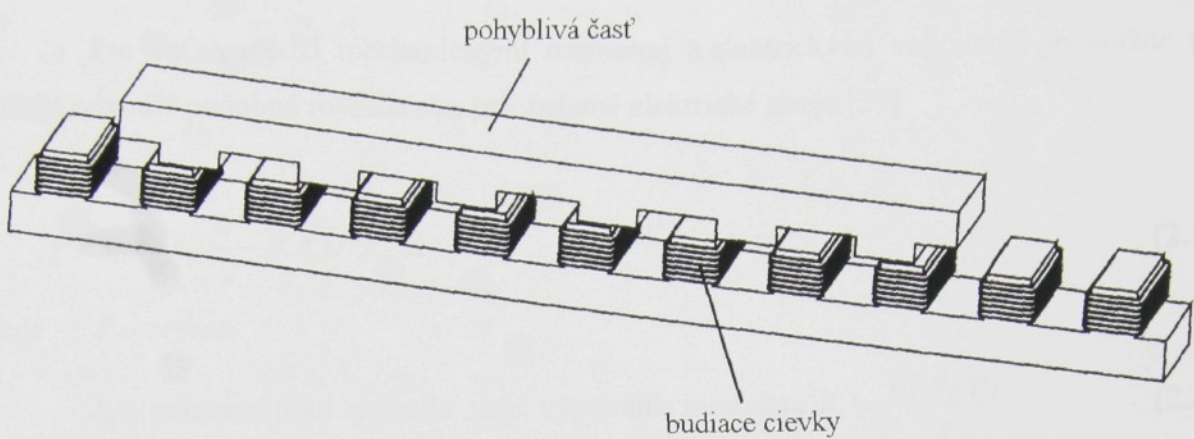
Obr. 2.6. Špeciálna konštrukcia 3-fázového motora [45].



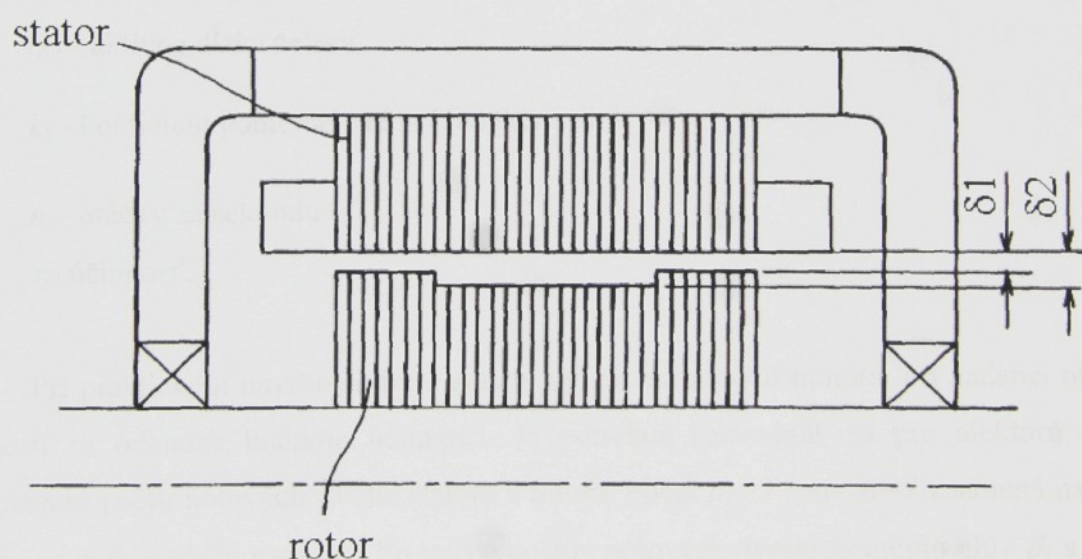
Obr. 2.7 Špeciálna konštrukcia 3-fázového SRM [32].



Obr. 2.8 Špeciálna konštrukcia SRM [40].



Obr. 2.9 Lineárny spínaný reluktančný motor.



Obr.2.10 SRM s vyjadrenými pólmí na statore a rotore a s axiálne premenlivou vzduchovou medzerou [54].

2.2 ZÁKLADNÉ OBJEMOVÉ VZŤAHY

Pre vzťah medzi mechanickými rozmermi a elektrickými veličinami je možné pre SRM odvodiť podobnú rovnicu ako pre ostatné elektrické stroje [29]

$$P = \eta \cdot k_L \cdot k_r \cdot \frac{\pi^2}{2} \cdot B \cdot A \cdot D^2 \cdot l_{Fe} \cdot n \quad (2.1)$$

kde P – výkon

$$k_r - \text{pomerný uhol zapnutia resp. vytvárania momentu } k_r = \frac{\beta_1 \cdot p_1 \cdot p_2}{\pi} \quad (2.2)$$

$$A - \text{prúdové zaťaženie vonkajšieho obvodu rotora bude } A = \frac{2 \cdot N_f \cdot I}{\pi \cdot D} \quad (2.3)$$

N_f – počet závitov statorovej fázy t.j. dvojnásobok počtu závitov N_p na jednom póle.

D – vonkajší priemer rotora

I - prúd

B – sýtenie vo vzduchovej medzere stroja pri úplnom prekrytí statorového a rotorového pólu

l_{Fe} – aktívna dĺžka železa

$$k_L - \text{koeficient pomernej zmeny indukčnosti } k_L = 1 - \frac{L_{min}}{L_{max}} \quad (2.3)$$

n – otáčky za sekundu [s^{-1}]

η - účinnosť.

Pri praktickom navrhovaní pre želaný výkon na hriadeľ motoru, pri zadanej otáčavej rýchlosťi sa odhadne hodnota účinnosti. Je potrebné rozhodnúť sa pre niektorú možnú kombináciu počtu pólsových dvojíc statora a rotora. Počet $p_1=3$ resp. $m=3$ znamená najnižšie nároky na elektronický napájač. Po voľbe počtu pólsových dvojíc sa určujú uhly β_1 a β_2 tak, aby ich súčet nedosiahol pólový rozstup rotora, pritom však ma byť zabezpečený dobrý rozbeh v ľubovoľnom smere z ktorejkoľvek polohy rotora. Potom je možné vypočítať hodnotu k_r . Vzduchová medzera sa volí podľa veľkosti stroja a technologických možností čo najmenšia. Hĺbka rotorovej drážky rozhoduje o rozdielne indukčnosti. Nemá ale veľký význam z hľadiska momentu stroja hĺbka viac ako 20-násobok vzduchovej medzery. Tým je určený aj koeficient k_L . Hodnota B je daná najvyšším prípustným sýtením pre použitý materiál. Prúdové zaťaženie kotvy volíme v rozsahu

$$25000 < A < 90000 \quad (2.4)$$

Tým sú určené všetky hodnoty potrebné na výpočet hrubého objemu V motora. Rovnicu (2.1) je možné upraviť na tvar

$$V = \frac{P}{2.\eta.k_r.k_L.B.A.n} \quad (2.5)$$

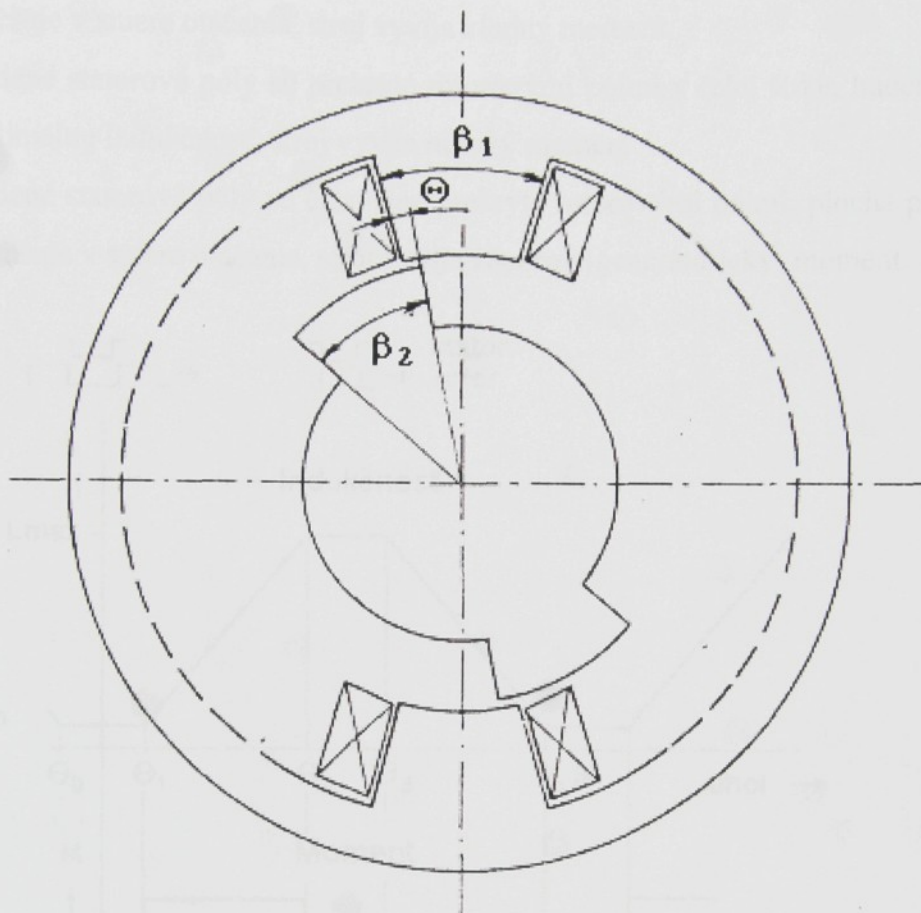
Aby bolo možné od objemu V postúpiť ku konkrétnym rozmerom rotora volí sa pomer priemeru k efektívnej dĺžke rotora

$$k_D = \frac{D}{l_{Fe}} \quad (2.6)$$

Voľba tohto pomeru závisí od požadovaného momentu zotrvačnosti resp. iných obmedzujúcich parametrov.

Pre návrh spínaných reluktančných motorov sú k dispozícii hotové programy. Napr. v Českej republike má ČVUT zakúpený program PC-SRD 7.0, ktorý je súčasťou balíku programov SPEED, prípadne SPUD. Program bol vytvorený na University of Glasgow.

3 PRINCÍP ČINNOSTI

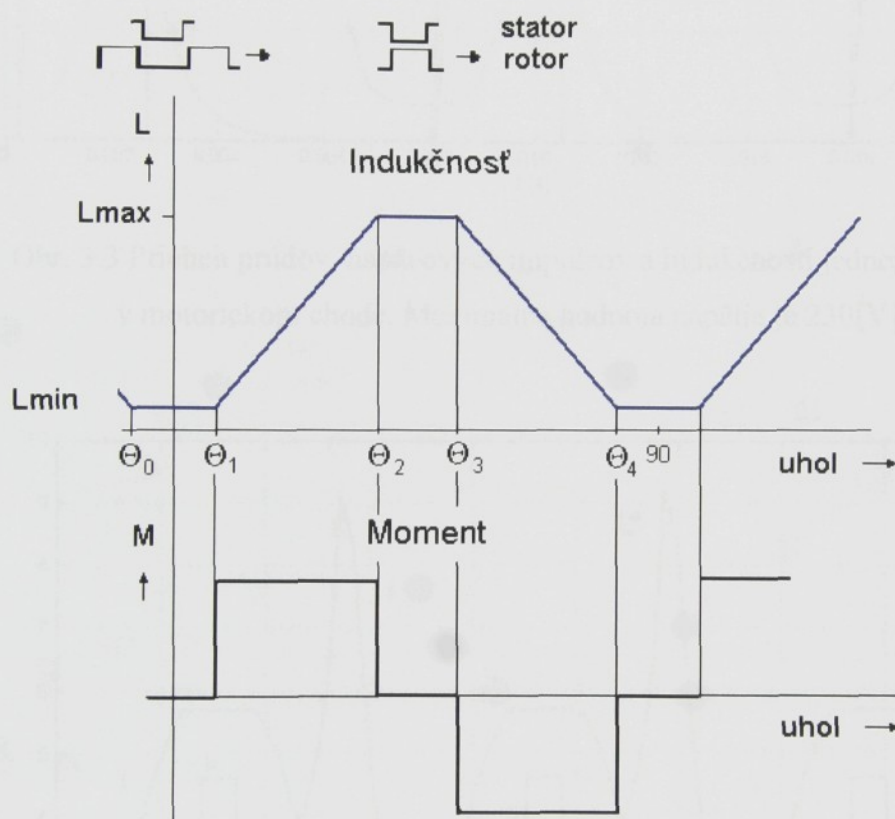


Obr. 3.1 Princíp vzniku točivého momentu SRM

SRM pracuje na princípe zmeny reluktancie magnetického obvodu. Otáčavý moment je vytváraný snahom rotorových pólov zaujať takú polohu aby magnetický odpor budenej statorovej fázy bol čo najmenší t.j. polohu kedy sa os dvojice rotorových pólov prekrýva s osou budených statorových pólov (obr.3.1). Vzniknutý otáčavý moment nezávisí od smeru magnetického toku a v konečnom dôsledku ani od smeru budiaceho prúdu. To má dôležitý praktický význam pre návrh vhodného napájacieho zdroja.

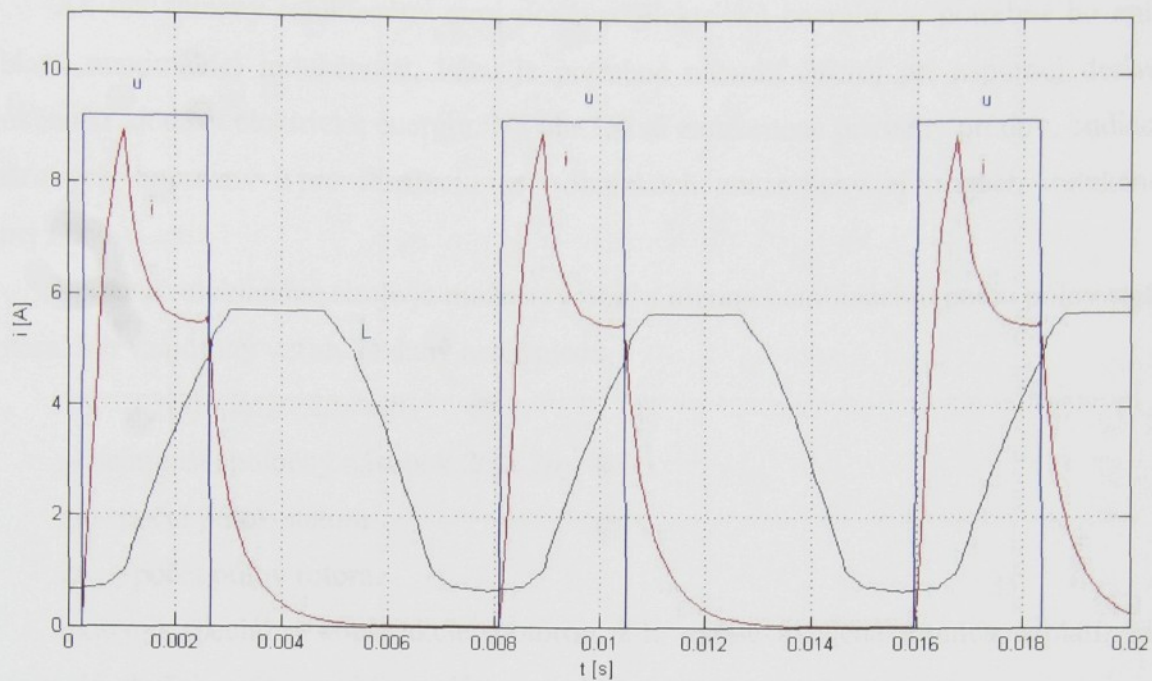
So zmenou reluktancie magnetického obvodu sa mení indukčnosť budenej fázy. Za linearizačných predpokladov (t.j. permeabilita železa je nekonečná a zanedbáme rozptyl medzi statorom a rotorom) je možné priebeh indukčnosti nahradíť lomenou čiarou (obr.3.2). Zodpovedajúci priebeh momentu pri napájaní obdĺžnikovými prúdovými impulzmi má tiež obdĺžnikový priebeh .

- $\Theta_0 - \Theta_1$ - oblast' minimálnej indukčnosti, budené statorové póly sa nachádzajú medzi rotorovými pólmami v celej šírke, SRM vyvíja nulový moment,
- $\Theta_1 - \Theta_2$ - budené statorové póly sú čiastočne prekryté rotorovými pólmami, plocha prekrycia sa zväčšuje v smere otáčania, stroj vyvíja kladný moment,
- $\Theta_2 - \Theta_3$ - budené statorové póly sú prekryté rotorovými pólmami v celej šírke, budená fáza má maximálnu indukčnosť, stroj vyvíja nulový moment
- $\Theta_3 - \Theta_4$ - budené statorové póly sú čiastočne prekryté rotorovými pólmami, plocha prekrycia sa zmenšuje v smere otáčania, stroj vyvíja záporný (generátorický) moment

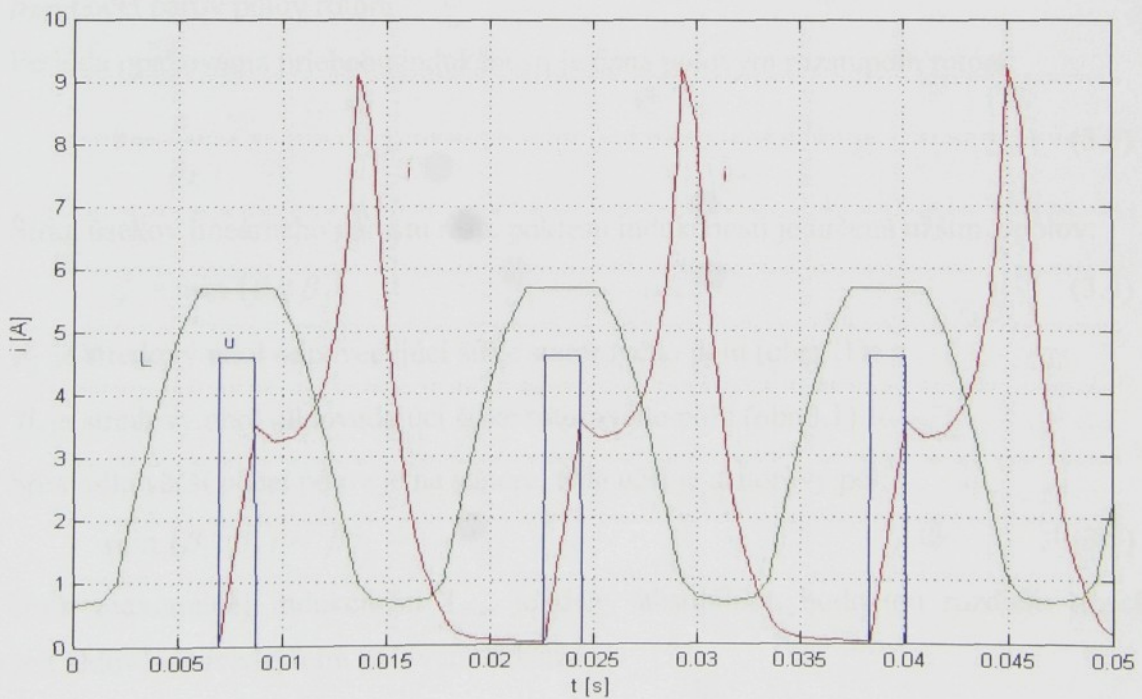


Obr. 3.2 Linearizovaný priebeh indukčnosti a momentu SRM.

V reálnom stroji indukčnosť závisí nie len od polohy ale aj veľkosti prúdu $L(\Theta, i)$. Možný priebeh prúdov a napäťových impulzov jednej fázy je zobrazený na obr.3.3. Pre ilustráciu polohy statora a rotora je v obrázku znázornený aj priebeh indukčnosti. Napäťový impulz je pripájaný v oblasti minimálnej indukčnosti a mal by skončiť v oblasti maximálnej indukčnosti resp. pred jej začiatkom. Pokles prúdu je možné urýchliť pripojením záporného napäťového impulzu. Tvar prúdového impulzu môže byť rôzny a závisí od napätia, uhlov zapnutia a vypnutia, od rýchlosťi otáčania a zmeny indukčnosti.



Obr. 3.3 Priebeh prúdov, napäťových impulzov a indukčnosti jednej fázy SRM v motorickom chode. Maximálna hodnota napäťa je 230[V].



Obr. 3.4 Priebeh prúdov, napäťových impulzov a indukčnosti jednej fázy SRM v generátorickom chode. Maximálna hodnota napäťa je 230[V].

Ak má spínaný reluktančný stroj dodávať elektrickú energiu, je potrebné ho spínať v oblasti maximálnej indukčnosti. Fázu je potrebné nabudit'. Stroj pri zápornej derivácii indukčnosti dodáva elektrickú energiu. Na obr.3.4 sú znázornené priebehy prúdov, budiacich napäťových impulzov a pre ilustráciu je v obrázkoch znázornený aj priebeh indukčnosti jednej fázy.

Spínané reluktančné stroje je možné vyrobíť s rôznou kombináciou počtu pólov statora a rotora. Ich vzájomný vzťah je daný nerovnicou.

$$\chi(2p_1, 2p_2) > 2p_1 > 2p_2 \quad (3.1)$$

χ - najmenší spoločný násobok $2p_1$ a $2p_2$

$2p_1$ - počet pólov statora

$2p_2$ - počet pólov rotora.

Existujú špeciálne konštrukcie motorov, kde vyššie uvedená rovnica neplatí. Tieto stroje majú obyčajne upravený tvar pólov.

Počet budiacich impulzov na otáčku bude:

$$imp = 2m \cdot p_2 \quad (3.2)$$

m - počet fáz statora

p_2 - počet párov pólov rotora

Periódna opakovanie priebehu indukčnosti je daná pólovým rozstupom rotora:

$$\tau = \frac{\pi}{p_2} \quad (3.3)$$

Šírka úsekov lineárneho nárastu resp. poklesu indukčnosti je určená užším z pólov:

$$\zeta = \min(\beta_1, \beta_2) \quad (3.4)$$

kde β_1 je stredový uhol odpovedajúci šírke statorového pólu (obr.3.1)

β_2 je stredový uhol odpovedajúci šírke rotorového pólu (obr.3.1)

Spravidla väčší počet pólov je na statore, teda užší je statorový pól:

$$\min(\beta_1, \beta_2) = \beta_1 \quad (3.5)$$

Úsek maximálnej indukčnosti L_{max} je daný absolútou hodnotou rozdielu oboch stredových uhlov odpovedajúcim pólovým šírkam:

$$v_{max} = |\beta_1 - \beta_2| \quad (3.6)$$

Úsek minimálnej indukčnosti L_{min} je daný rozdielom

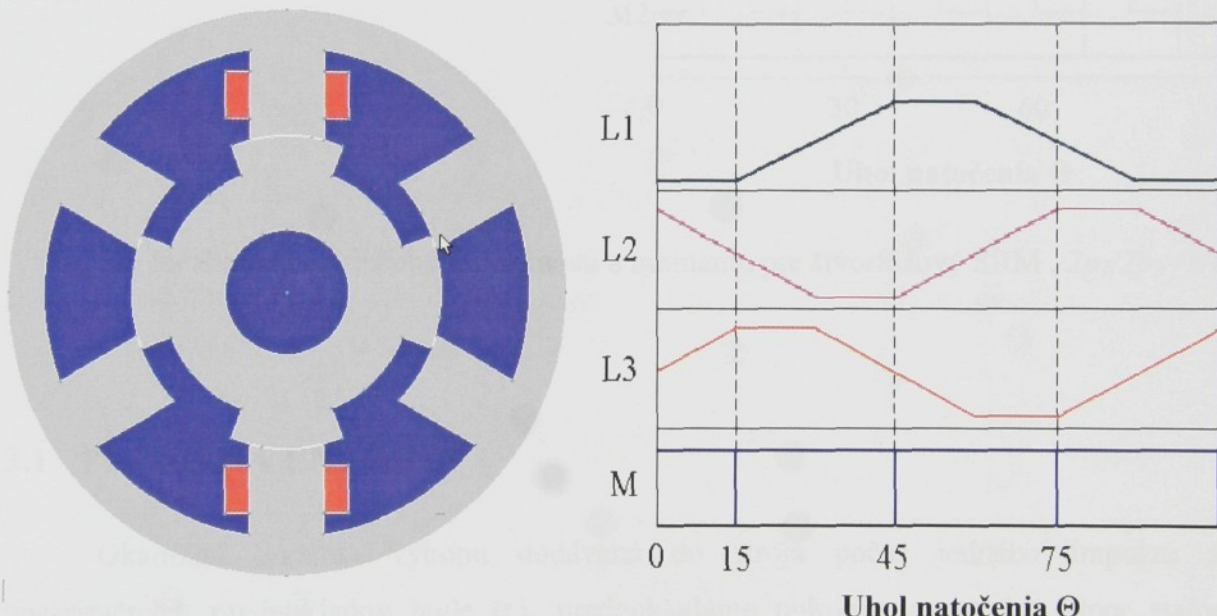
$$v_{min} = \tau - 2\beta_1 - v_{max} \quad (3.7)$$

Priebehy indukčnosti jednotlivých fáz sú navzájom posunuté o uhol Θ_p (za predpokladu, že $p_1-p_2=1$), pre ktorý platí vzťah:

$$\Theta_p = \frac{\pi}{p_2} - \frac{\pi}{p_1} \quad (3.8)$$

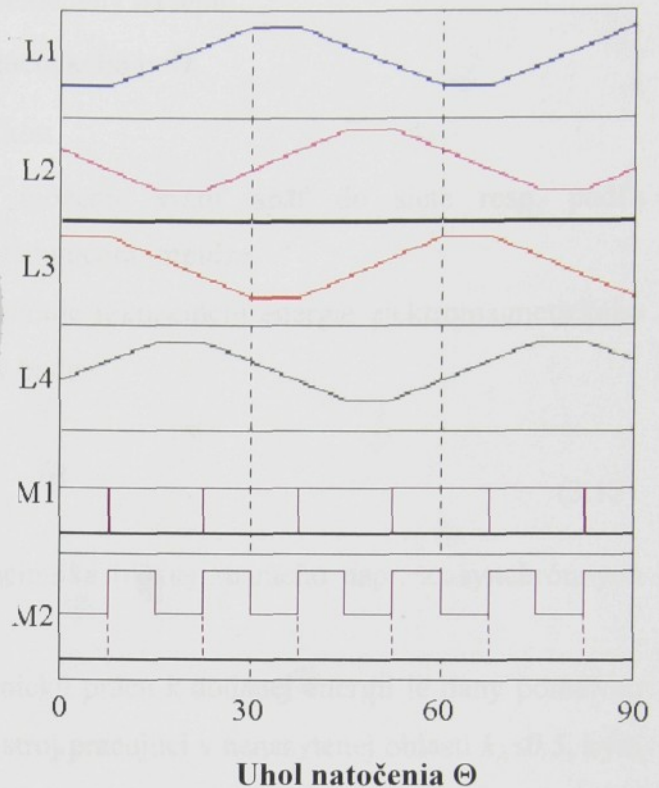
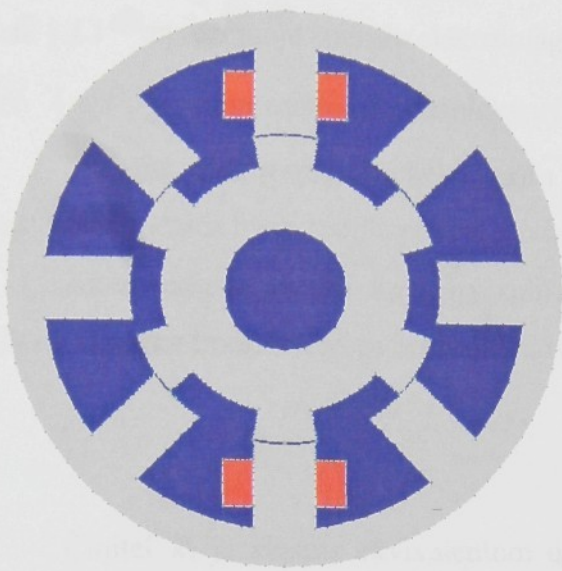
Obr.3.5 a obr.3.6 zobrazujú priebehy indukčnosti jednotlivých fáz a ich vzájomný posun. Keďže sa motorický moment vytvára len v oblasti nárastu indukčnosti tieto oblasti by mali na seba naväzovať resp. môžu sa prekrývať ako je to u štvorfázového motora obr.3.6. Pri typoch konštrukcií SRM, kde sa prekrývajú oblasti nárastu indukčnosti jednotlivých fáz je možné súčasné vytváranie momentu viacerými fázami.

Na obr. 3.5 je znázornený rez magnetického obvodu, umiestnenie vinutia jednej fázy a idealizované priebehy indukčnosti všetkých troch fáz L1, L2, L3 trojfázového motoru. Priebeh momentu M zodpovedá postupnému spínaniu jednotlivých fáz v poradí L3, L1, L2, L3 a uhlu vedenia 30° .



Obr. 3.5 Idealizované priebehy indukčnosti a momentu trojfázového motoru $2p_1/2p_2=6/4$.

Na obr.3.6. je znázornený rez magnetickým obvodom, umiestnenie vinutia jednej fázy a idealizovaný priebeh indukčnosti všetkých štyroch fáz L1, L2, L3, L4 štvorfázového motora. Momentu M1 zodpovedá postupnému spínaniu fáz v poradí L1, L2, L3, L4 pričom uhol vedenia každej fázy je 15° . V tomto prípade nie je využitá celá doba keď fáza vytvára moment. Ak by sme využili celú oblasť nárastu indukčnosti t.j. $22,5^\circ$ vytvárali by v určitých úsekokoch momenty 2 fázy súčasne čo je znázornené ako M2 na obr.3.6.



Obr. 3.6 Idealizované priebehy indukčnosti a momentu pre štvorfázový SRM , $2p_1/2p_2=8/6$.

3.1 PREMENA ENERGIE

Okamžitá hodnota výkonu dodávaná do stroja počas jedného impulzu za linearizačných predpokladov bude (t.j. predpokladáme nulový magnetický odpor statora a rotora)

$$u.i = R.i^2 + L.i \frac{di}{dt} + i^2 \frac{dL}{dt} \quad (3.9)$$

Po úpravách tejto rovnice a zavedení $\frac{d\Theta}{dt} = \omega$ dostávame

$$u.i = R.i^2 + \frac{1}{2} L \frac{di^2}{dt} + \omega i^2 \frac{dL}{d\Theta} + \frac{1}{2} i^2 \frac{dL}{dt} - \frac{1}{2} i^2 \frac{dL}{d\Theta} \frac{d\Theta}{dt} = R.i^2 + \frac{d}{dt} \left[\frac{1}{2} L i^2 \right] + \frac{1}{2} i^2 \frac{dL}{d\Theta} \omega \quad (3.10)$$

Integrovaním za časový úsek dostávame rozdelenie dodávanej energie

$$\int u.i.dt = \int R.i^2 dt + \frac{1}{2} L \int i^2 dt + \int \frac{1}{2} \omega i^2 \frac{dL}{d\Theta} dt \quad (3.11)$$

Člen Ri^2 vo výslednej rovnici udáva výkon premenený na teplo.

Člen $\frac{1}{2}Li^2$ reprezentuje energiu elektromagnetického poľa.

Člen $\frac{1}{2}\omega i^2 \cdot \frac{dt}{d\theta}$ reprezentuje mechanický výkon.

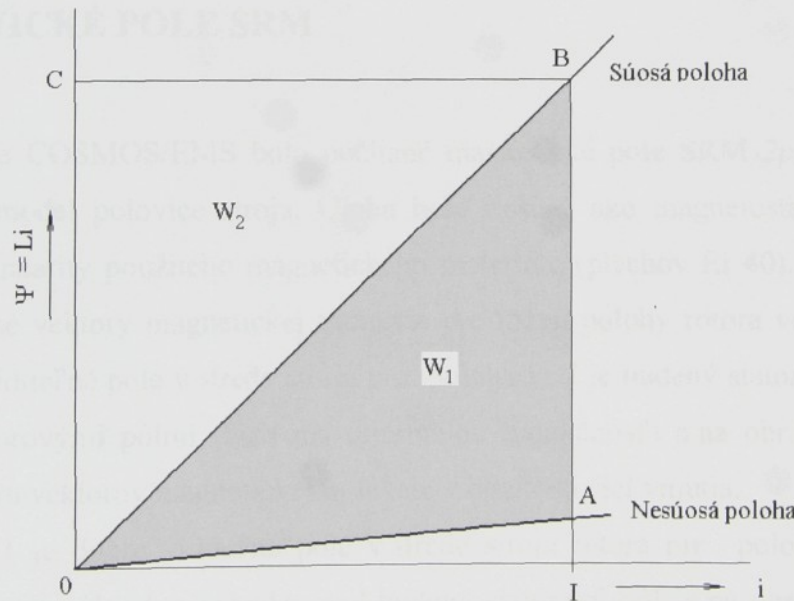
Energiu elektromagnetického poľa môžeme vrátiť späť do siete resp. podľa konštrukcie meniča by sa mohla použiť v nasledujúcom impulze.

Ak zavedieme činitel k_λ , ktorý zohľadňuje rekuperáciu energie elektromagnetického poľa do siete, za linearizačných predpokladov bude

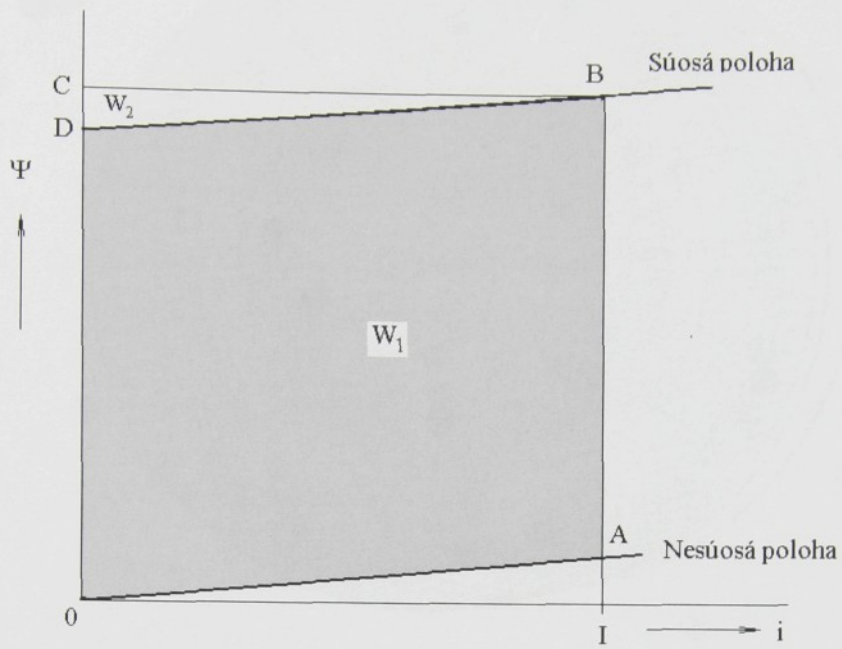
$$k_\lambda = 1 - \frac{d(1/2Li^2)}{u.i} \quad (3.12)$$

Činitel k_λ je vlastne ekvivalentom účinníka ($\cos\varphi$) známeho napr. z asynchronných strojov.

Pomer energie premenenej na mechanickú prácu k dodanej energii je daný pomerom obsahov plôch $OAB0/0ABC0$ na obr.3.7. Pre stroj pracujúci v nenasýtenej oblasti $k_\lambda \leq 0,5$, kým pre skokom sa nasycujúci stroj by sa blížil k 1 (obr.3.8).



Obr. 3.7. Krivky $\Psi=f(i)$ v nenasýtenom SRM.



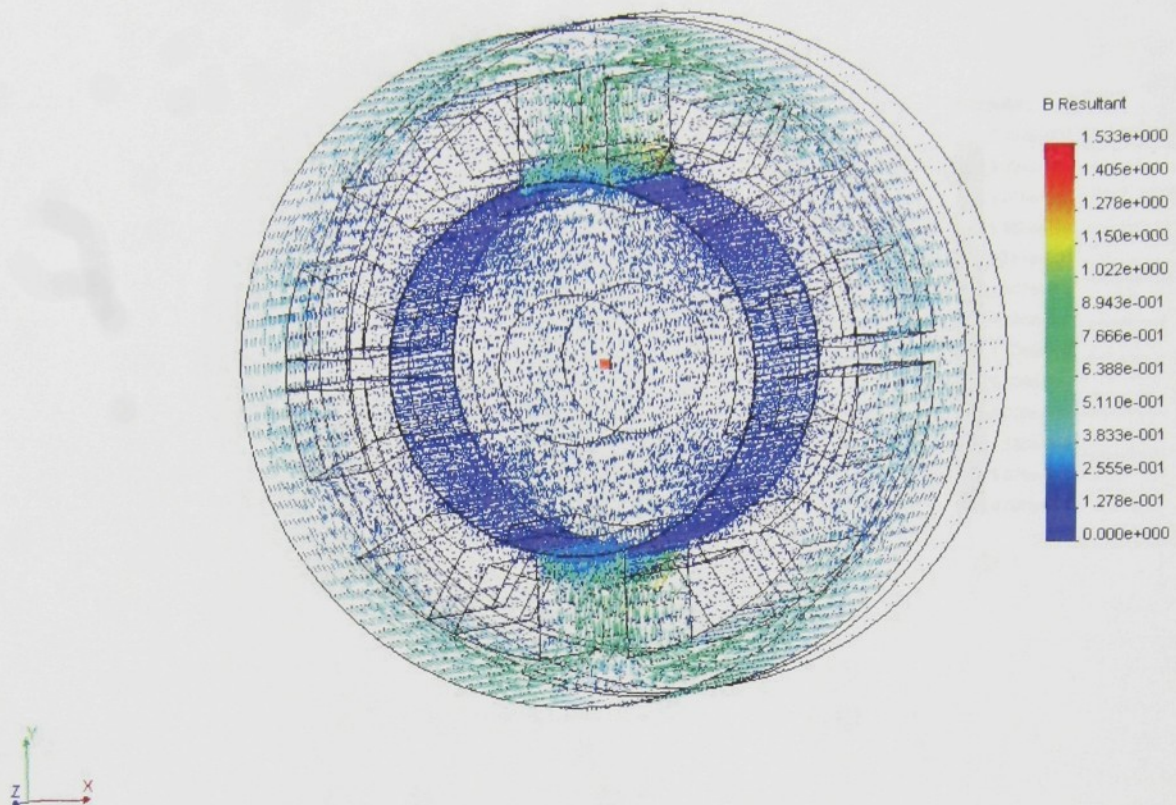
Obr. 3.8 Krivky $\Psi=f(i)$ pre SRM skokom sa nasycujúci motor.

3.2 MAGNETICKÉ POLE SRM

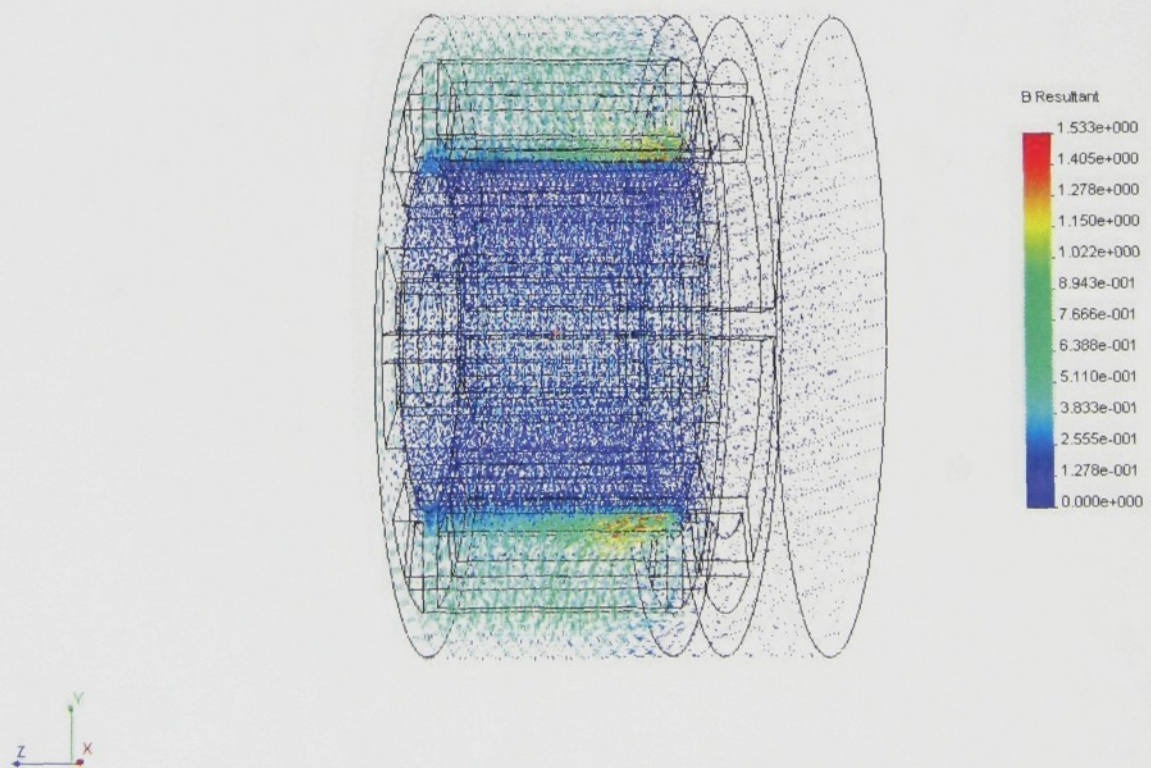
V programe COSMOS/EMS bolo počítané magnetické pole SRM $2p_1/2p_2=6/4$. Bol analyzovaný 3D model polovice stroja. Úloha bola riešená ako magnetostatický problém s uvažovaním nelinearity použitého magnetického materiálu (plechov Ei 40). Na obr.3.9 až 3.14 sú znázornené vektoru magnetickej indukcie pre rôzne polohy rotora voči statoru. Na obr.3.9 je dobre viditeľné pole v strede stroja pre polohu keď je budený statorový pól práve medzi dvoma rotorovými pólmi (fáza ma minimálnu indukčnosť) a na obr.3.10 je možné vidieť zmenu smeru vektorov magnetickej indukcie v blízkosti čiel vinutia.

Na obr.3.11 je dobre viditeľné pole v strede stroja rotora pre polohu rotora voči statoru keď rotorový pól práve vchádza pod budený statorový pól a na obr.3.12 je možné vidieť zmenu smeru vektorov magnetickej indukcie v blízkosti čiel vinutia. Pre ilustráciu sú na obr.3.13 a 3.14 zobrazené aj vektoru magnetickej indukcie v rovine vedenej stredom stroja.

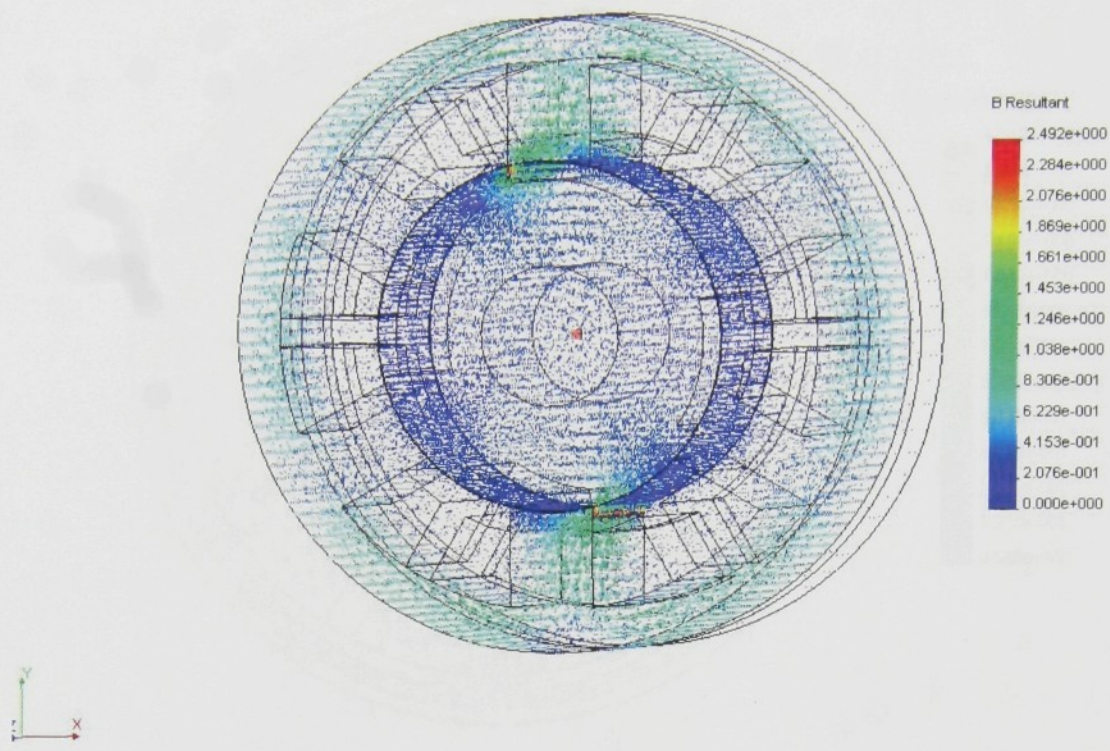
Výpočty indukčností a tokov pre potrebné polohy a prúdy metódou konečných prvkov boli použité pre návrh SRM ako aj jeho simuláciu [60], [61], [66].



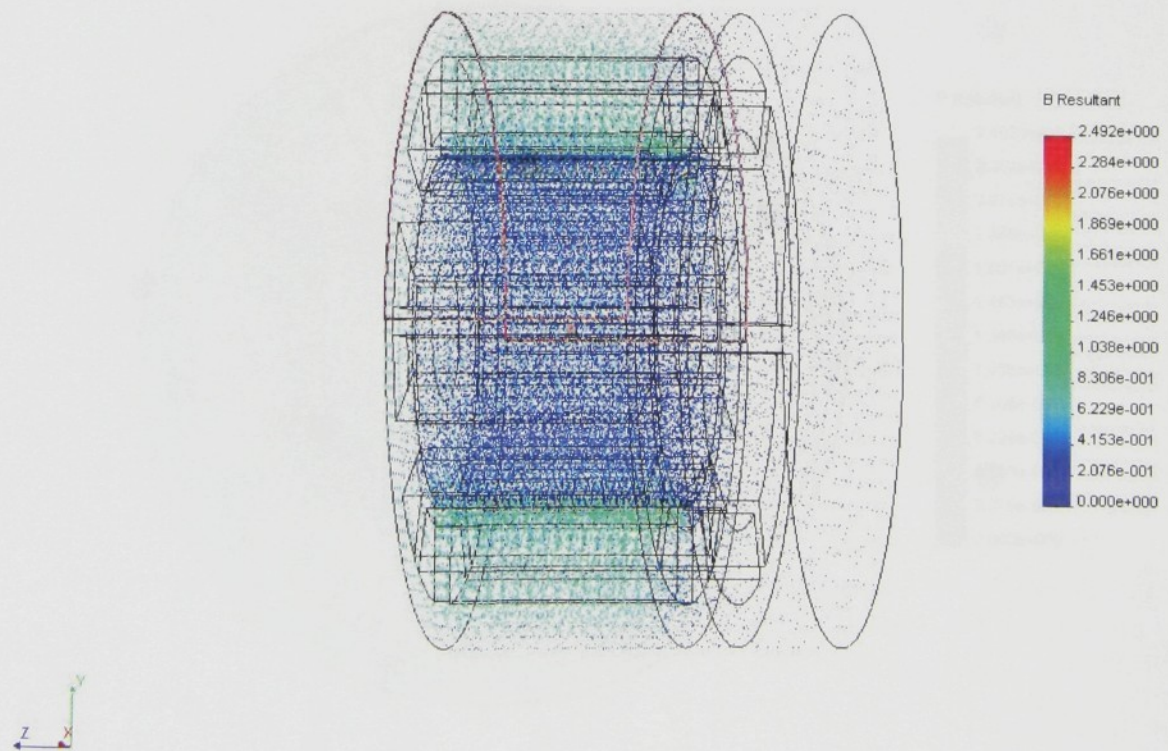
Obr. 3.9 Vektory magnetickej indukcie SRM v nesúosej polohe



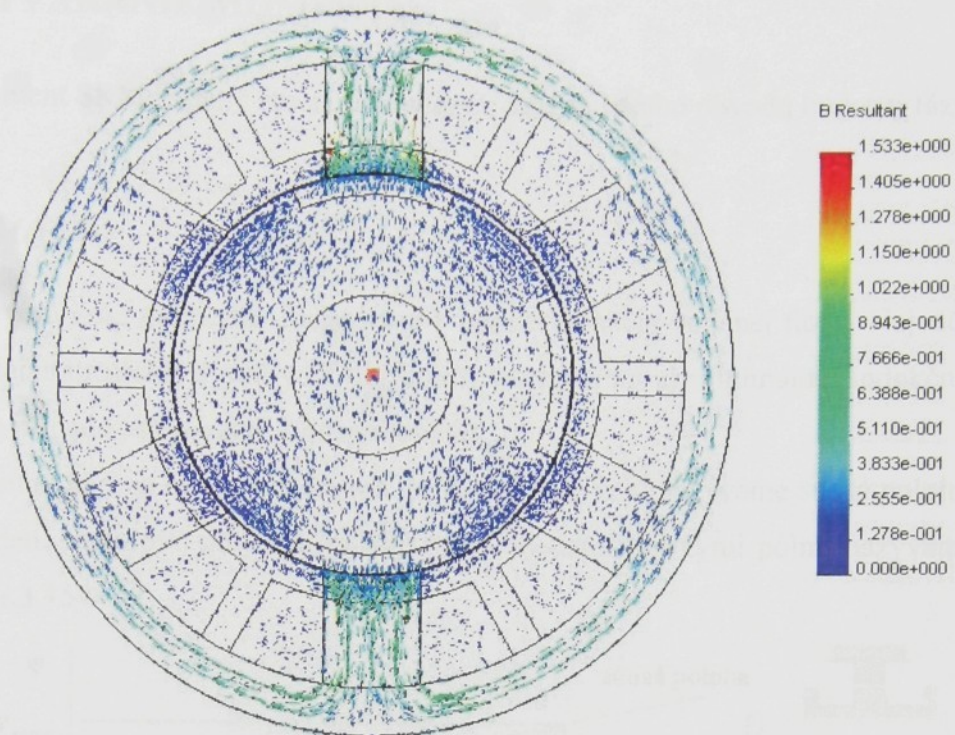
Obr. 3.10 Vektory magnetickej indukcie SRM v nesúosej polohe .



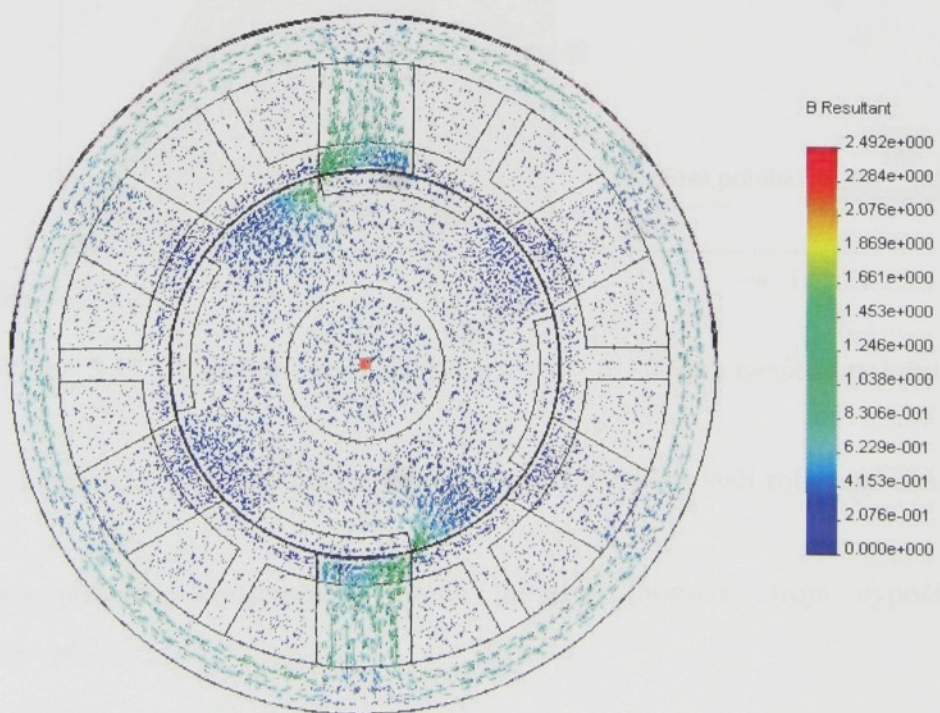
Obr. 3.11 Rozloženie vektorov magnetickej indukcie SRM v polohe, keď sa rotorový pól práve dotýka budeného statorového pólu.



Obr. 3.12 Rozloženie vektorov magnetickej indukcie SRM v polohe, keď sa rotorový pól práve dotýka budeného statorového pólu.



Obr. 3.13 Rozloženie vektorov indukcie v rovine idúcej stredom stroja. Nesúosá poloha.



Obr. 3.14 Rozloženie vektorov indukcie v rovine idúcej stredom stroja. Rotorový pól sa práve dotýka budeného statorového pólu.

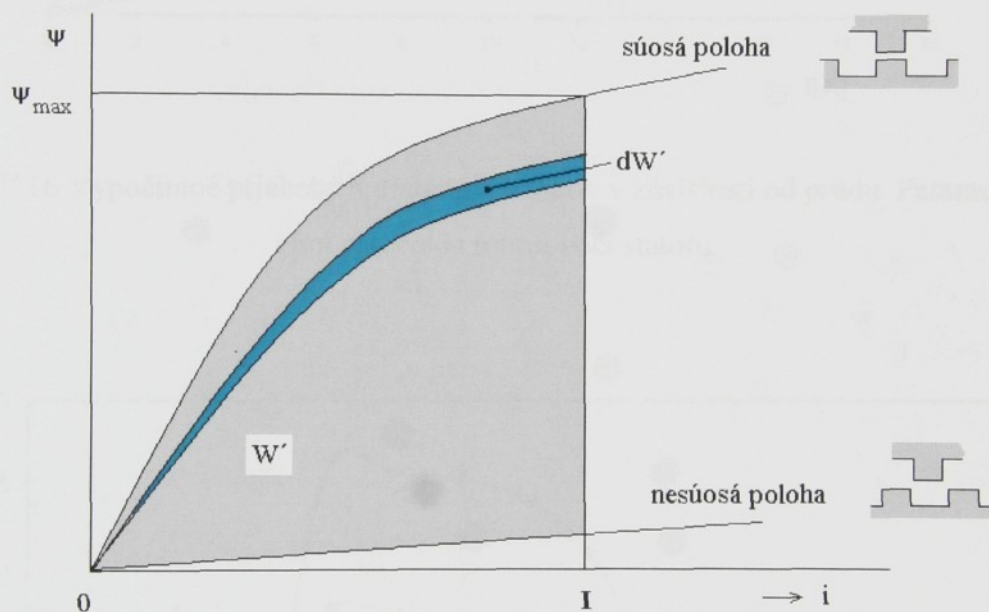
3.3 VYTVÁRANIE MOMENTU

Moment SRM je daný zmenou koenergie magnetického obvodu budenej fázy

$$M(\Theta, i) = \frac{\partial \int_{\theta}^i \Psi(\Theta, i).di}{\partial \Theta} \quad (3.13)$$

K vytváraniu momentu dochádza pri zmene indukcie budenej fázy. Najväčšia zmena je pri čiastočnom prekrytí pólov. V oblastiach maximálnej aj minimálnej indukčnosti motor v ideálnom prípade nevykazuje žiadny moment.

Polohu, keď sa osy pólov statora a rotora prekrývajú nazývame súosá poloha a polohu keď sa budené statorové póly nachádzajú práve medzi rotorovými pólmi nazývame nesúosá poloha (obr.3.15).



Obr. 3.15 Charakteristické priebehy tokov pre súosú a nesúosú polohu

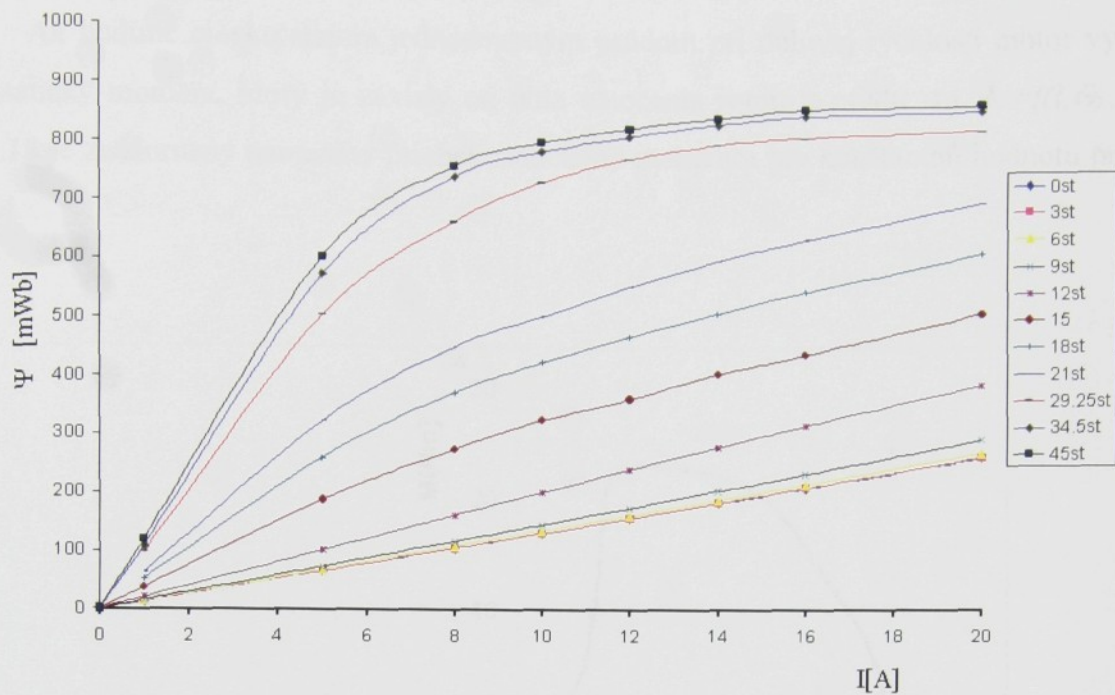
Charakteristické priebehy tokov pre rôzne polohy statora voči rotoru sú znázornené na obr.3.16.

Za predpokladu, konštantného prúdu môžeme moment stroja vypočítať podľa nasledujúcich vzťahov:

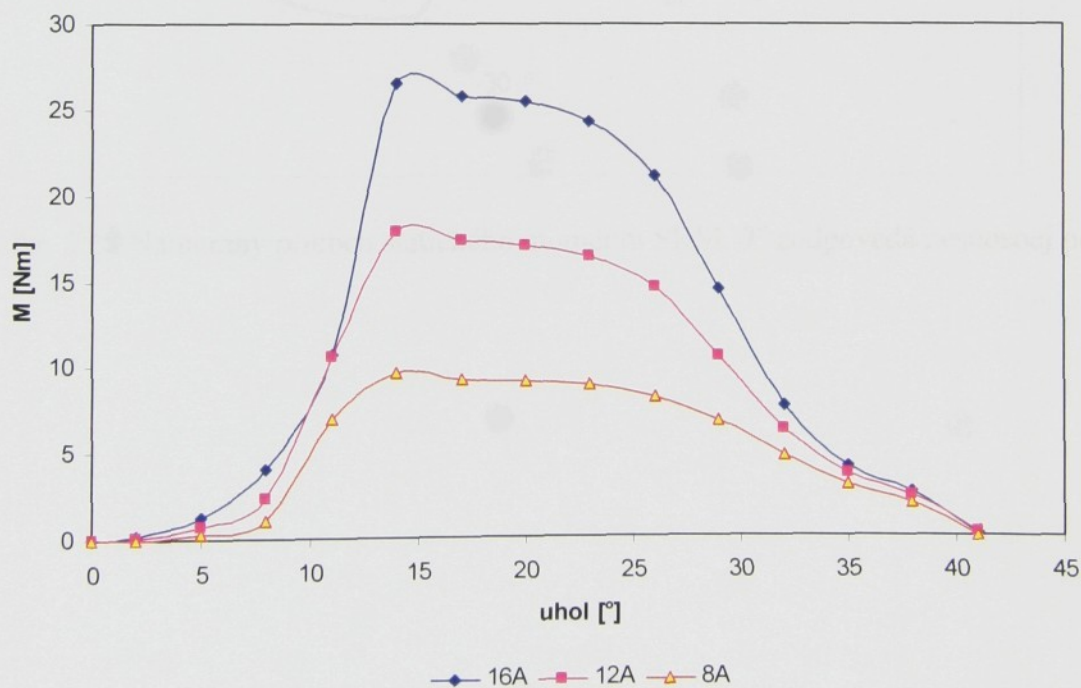
$$M(\Theta, i) = \left[\frac{\partial W'}{\partial \Theta} \right]_{i=konst}, \quad (3.14)$$

$$W'(\Theta) = \left[\int_0^i \psi . di \right]_{\Theta} \quad (3.15)$$

Vypočítané priebehy momentov sú zobrazené na obr.3.17.

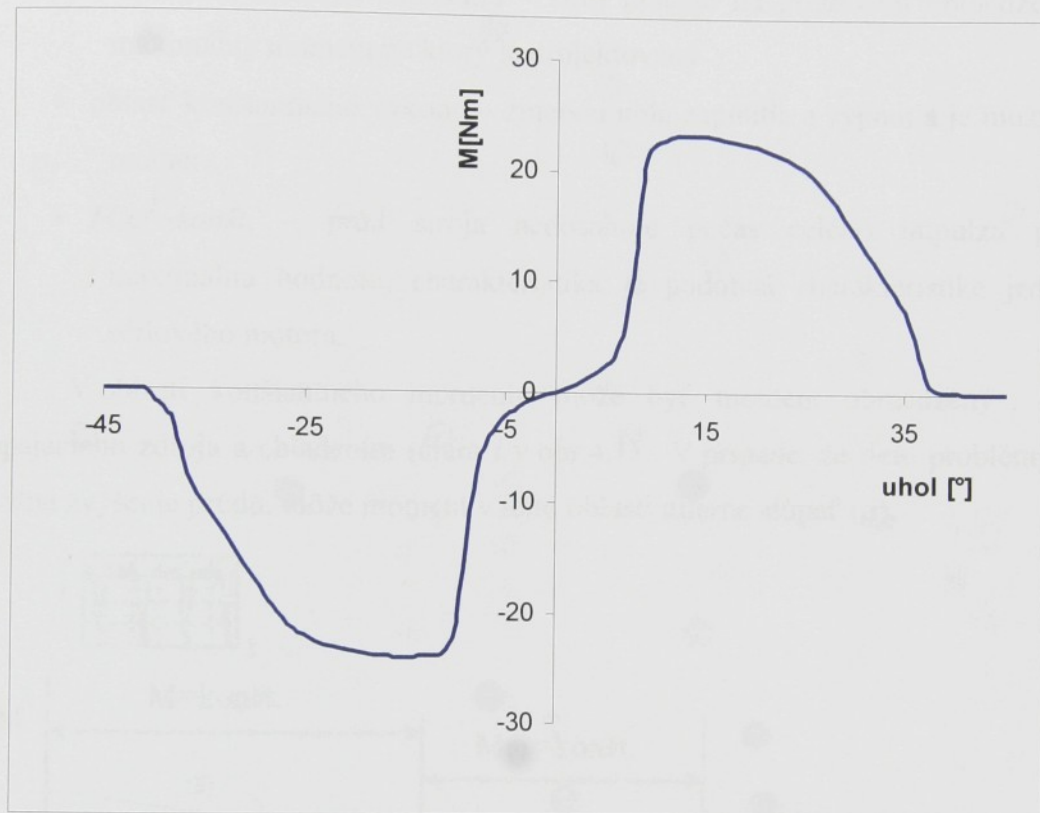


Obr. 3.16 Vypočítané priebehy spriahnutých tokov v závislosti od prúdu. Parametrom je uhol natočenia rotora voči statoru.



Obr. 3.17 Vypočítané hodnoty momentu v závislosti od uhla natočenia rotora voči statoru pri napájaní konštantným prúdom. 0° zodpovedá nesúosnej polohe.

Ak budíme cievku statora jednosmerným prúdom pri nulovej rýchlosťi motor vyuvíja tzv. statický moment, ktorý je závislý od uhla natočenia rotora a prúdu t.j. $M=f(I, \Theta)$. Na obr.3.18 je znázornený nameraný priebeh statického momentu pre konštantnú hodnotu prúdu $I=16A$.



Obr. 3.18 Nameraný priebeh statického momentu SRM. 0° zodpovedá nesúosnej polohe.

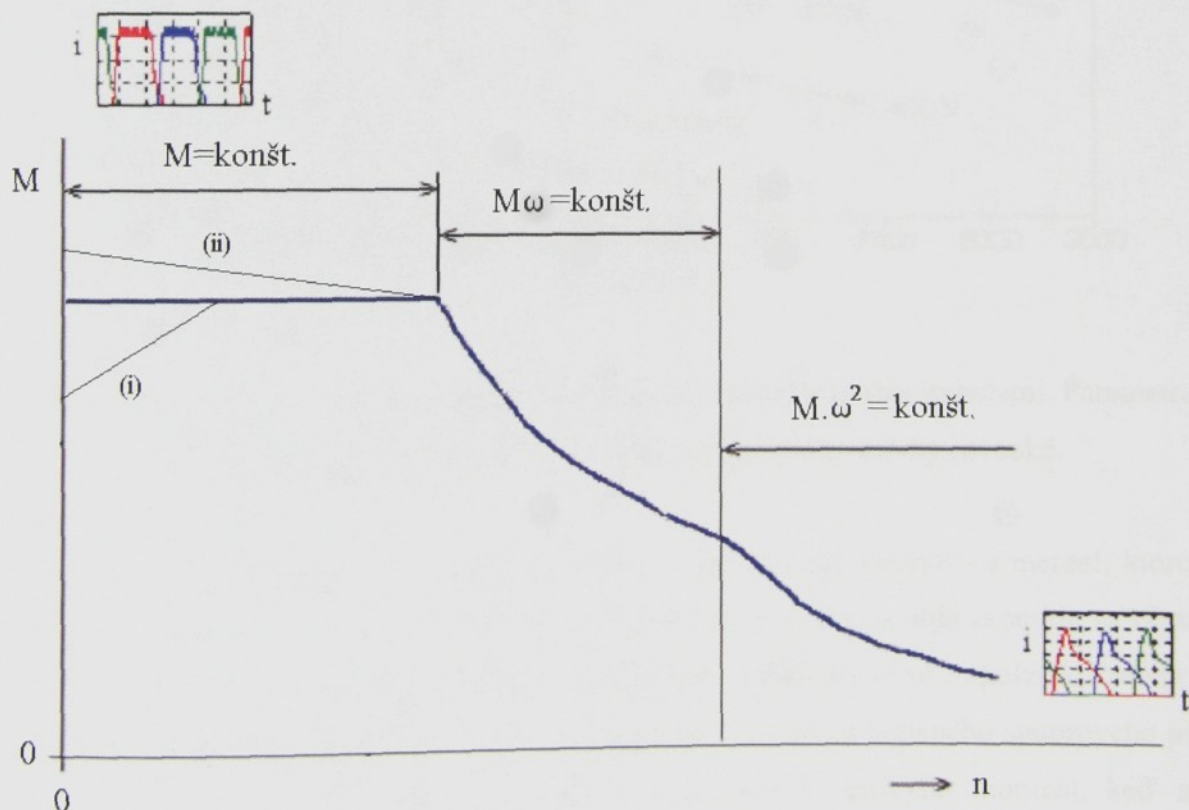
4 ZAŤAŽOVACIE CHARAKTERISTIKY

Zaťažovacie charakteristiky popisujú správanie sa elektrického stroja v ustálenom režime pri rôznom zaťažení. Dôležitou charakteristikou je mechanická charakteristika. Jedná sa o závislosť momentu od otáčok stroja resp. uhlovej rýchlosťi

Závislosť momentu od otáčok $M=f(n)$ pre SRM je možné rozdeliť na 3 oblasti

- oblasť konštantného momentu – stroj pracuje na prúdovom obmedzení, dosahuje maximálny moment na ktorý je projektovaný
- oblasť konštantného výkonu – zmenou uhla zapnutia a vypnutia je možné regulaovať moment
- $M \cdot \omega^2 \sim \text{konšt.}$ – prúd stroja nedosahuje počas celého impulzu projektovanú maximálnu hodnotu, charakteristika je podobná charakteristike jednosmerného sériového motoru.

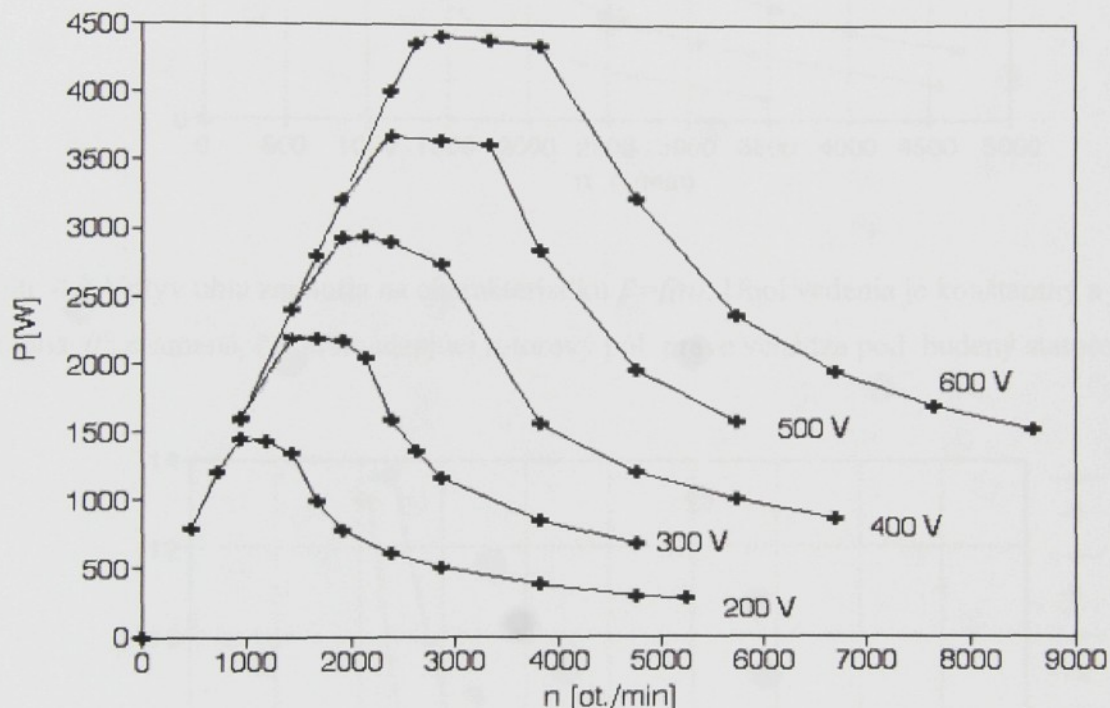
V oblasti konštantného momentu môže byť moment obmedzený možnosťami napájacieho zdroja a chladením (čiara i v obr.4.1). V prípade, že tieto problémy nie sú a je možné zvýšenie prúdu, môže moment v tejto oblasti mierne stúpať (ii).



Obr. 4.1 Momentová charakteristika SRM.

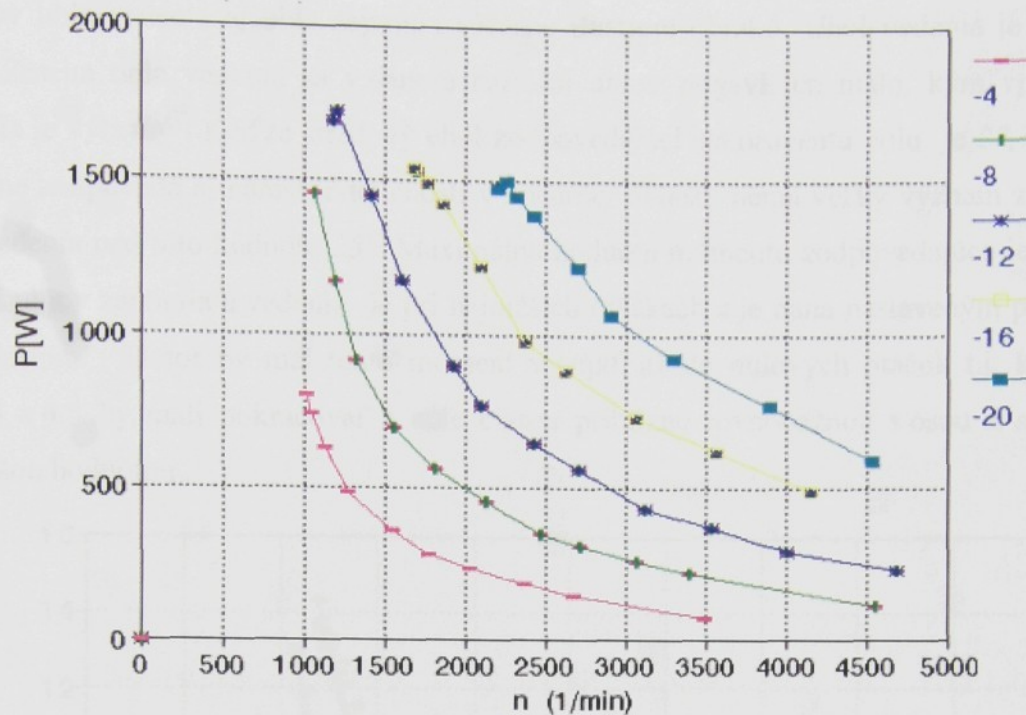
Vhodným spínaním sa prakticky môžeme pohybovať v celej oblasti pod charakteristikou na obr. 4.1. Nad a vedľa priebehu momentu sú znázornené charakteristické priebehy prúdu pre prvú a tretiu oblasť.

Ked'že SRM pracuje so zmenou indukčnosti, okrem prúdu resp. maximálneho prúdu na ktorý je nastavené prúdové obmedzenie meniča, má na jeho vlastnosti vplyv veľkosť napäťového impulzu. Tento vplyv je lepšie viditeľný na závislosti $P=f(\omega)$. Charakteristiku $P=f(\omega)$ znázorňuje obr. 4.2. Znázornené sú vypočítané charakteristiky SRM. Motor je napájaný obdĺžnikovými napäťovými impulzmi s rovnakými uhlami zapnutia, vypnutia a prúdovým obmedzením.

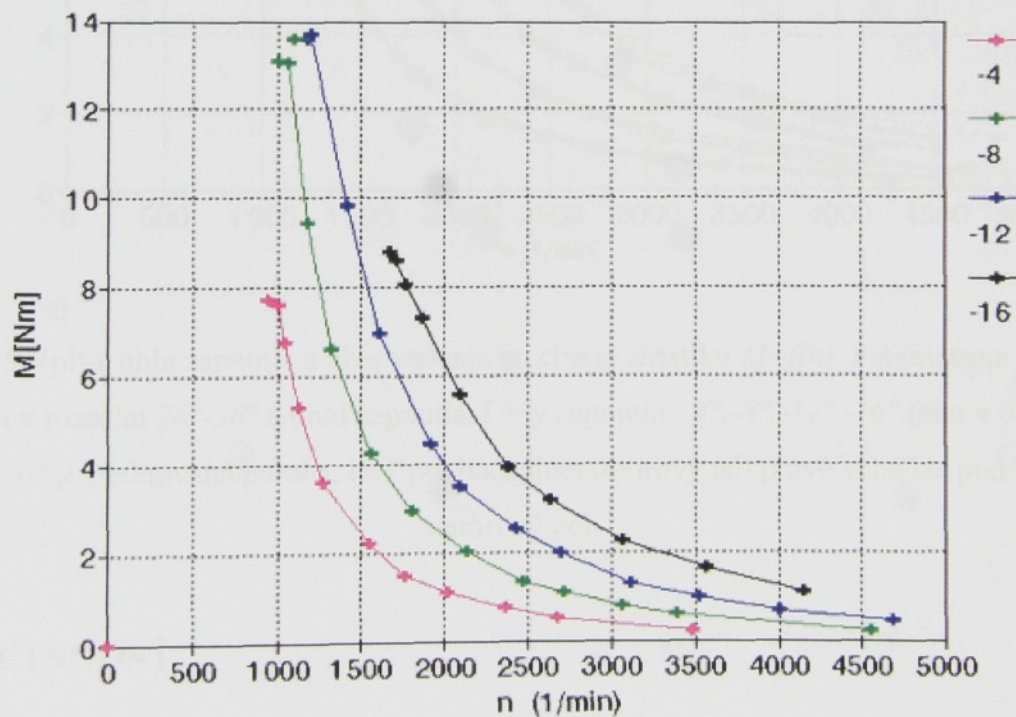


Obr. 4.2 Závislosti $P=f(\omega)$ pri napájaní obdĺžnikovými napäťovými impulzmi. Parametrom je výška impulzu. Prúdové obmedzenie je pre všetky krivky rovnaké.

Vplyv uhla zapnutia na výkon a moment stroja ilustrujú výsledky z meraní, ktoré sú zobrazené na obr. 4.3 a obr. 4.4. Z obrázkov je viditeľné, že zmenou uhla zapnutia sa výrazne posúva charakteristika. Motor je napájaný obdĺžnikovými napäťovými impulzmi. Poloha 0° je definovaná tak, že prichádzajúci rotorový pól sa práve dotýka budeného statorového pólu. Pre tento konkrétny stroj a jeho napájania by sme dosiahli najvyšší moment, keď uhol zapnutia je v okolí nesúosej polohy. (nesúosej polohe zodpovedá uhol $-10, 15^\circ$).

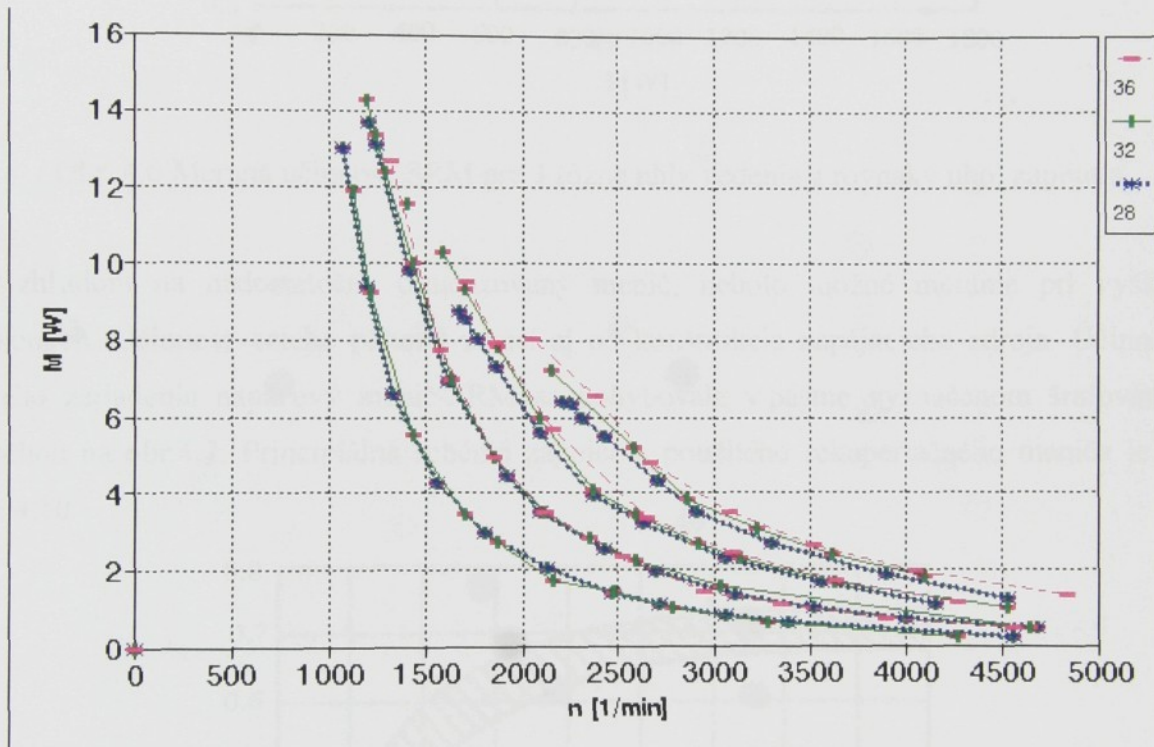


Obr. 4.3 Vplyv uhla zapnutia na charakteristiku $P=f(n)$. Uhол vedenia je konštantný a je 28° . Poloha 0° znamená, že prichádzajúci rotorový pól práve vchádza pod budený statorový pól.



Obr. 4.4 Vplyv uhla zapnutia na charakteristiku $M=f(n)$. Uhol vedenia je konštantný. Poloha 0° je poloha keď prichádzajúci rotorový pól práve vchádza pod budený statorový pól.

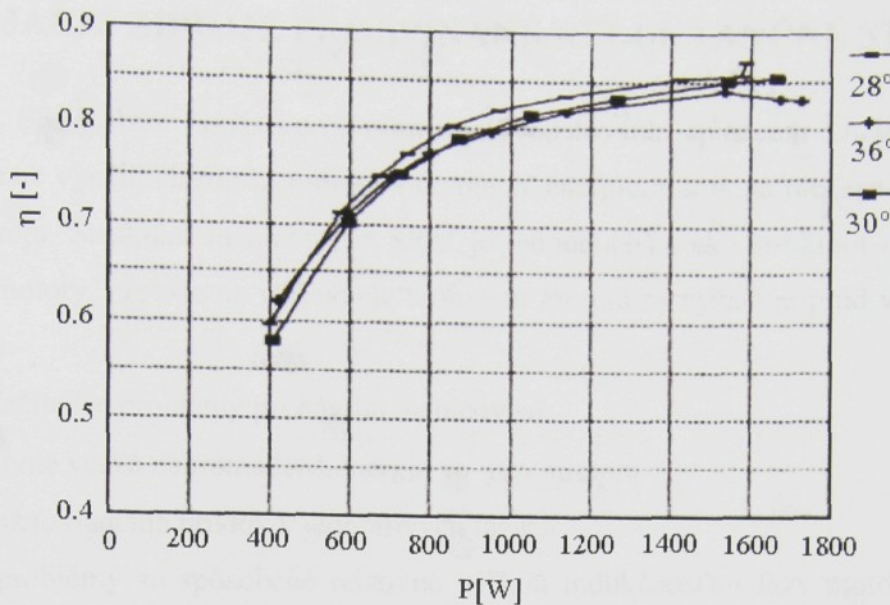
Vplyv uhla vedenia aj uhla zapnutia súčasne ilustruje obr.4.5. Uhol vedenia je 28° , 32° a 36° . Zmena uhla vedenia sa v danom rozsahu uhlov prejaví len málo, kým vplyv uhla zapnutia je výrazný. Keďže stredový uhol zodpovedajúci statorovému pólu je $27,7^\circ$ a tomu približne zodpovedá aj nárast indukčnosti v lineárnej oblasti, nemá veľký význam zväčšovať uhol vedenia nad túto hodnotu 28° . Maximálna hodnota momentu zodpovedajúca jednotlivej dvojici uhlov zapnutia a vedenia je pri najnižších otáčkach a je daná nastaveným prúdovým obmedzením. Motor by mal tento moment vyvíjať až do nulových otáčok t.j. krivky na obr.4.4 a 4.5 by mali pokračovať k nule čiarou približne rovnobežnou s osou x so svojou najvyššou hodnotou..



Obr. 4.5 Vplyv uhla zapnutia a uhla vedenia na charakteristiku $M=f(n)$. Parametrom je uhol vedenia v rozsahu 28° - 36° a uhol zapnutia. Uhly zapnutia: -4° , -8° , -12° , -16° (ako v obr.4.4). Poloha 0° je definovaná poloha, keď prichádzajúci rotorový pól práve vchádza pod budený statorový pól.

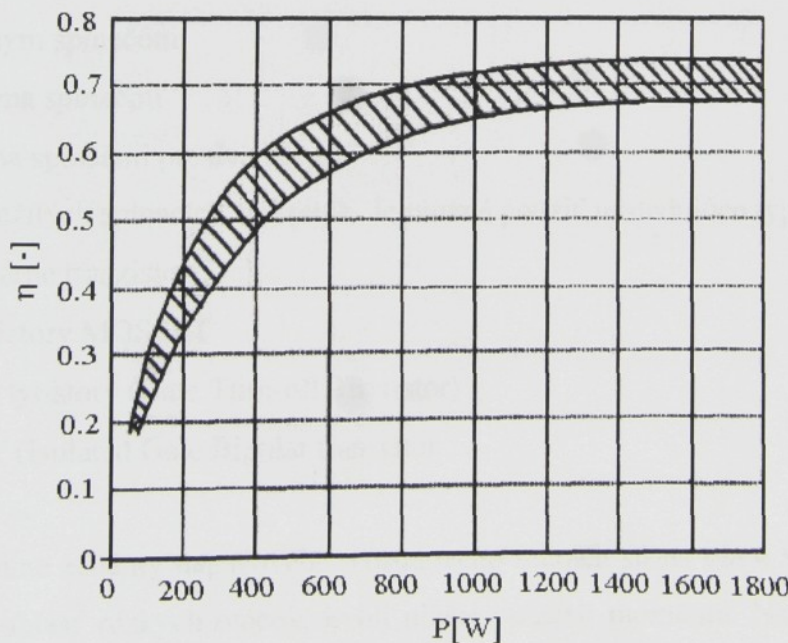
4.1 ÚČINNOSŤ

Literatúra udáva vysokú účinnosť SRM. Na prototype 3-fázového motora bola meraná účinnosť (obr.4.6). Tvar krivky účinnosti v závislosti od výkonu je podobný ako napr. pri asynchronných motoroch. Účinnosť SRM je závislá nielen od výkonu ale aj od spôsobu spínania. Namerané krivky pre uhly vedenia 28° , 30° a 36° sú znázornené na obr.4.6.



Obr. 4.6 Meraná účinnosť SRM pre 3 rôzne uhly vedenia a rovnaký uhol zapnutia.

Vzhľadom na nedostatočne dimenzovaný menič, nebolo možné meranie pri vyšších výkonoch. Účinnosť celého pohonu závisí aj od konštrukcie napájacieho zdroja. Účinnosť celého zariadenia napäťový menič-SRM sa pohybovala v pásme vyznačenom šrafovaneou plochou na obr.4.7. Princípialná schéma zapojenia použitého rekuperačného meniča je na obr.4.10.



Obr. 4.7 Namerané pásmo účinnosti pohonu rekuperačný menič - SRM. Uhly zapnutia sú v rozmedzí -8° až -20° , Uhly vedenia sú v rozmedzí 16° až 36° .

4.2 NAPÁJACIE ZDROJE PRE SPÍNANÉ RELUKTANČNÉ STROJE

Vývoj SRM úzko súvisí z vývojom polovodičových spínacích súčiastok, ktoré umožňujú účinne využiť vlastnosti motora a premeniť energiu zdroja na mechanickú energiu na hriadele stroja. Štruktúra meničov pre SRM je jednoduchšia ako štruktúra meničov pre asynchronné motory, pretože na vytvorenie momentu motora sa vyžaduje prúd vo vinutí len jedného smeru.

Najdôležitejšie problémy pri návrhu meničov sú:

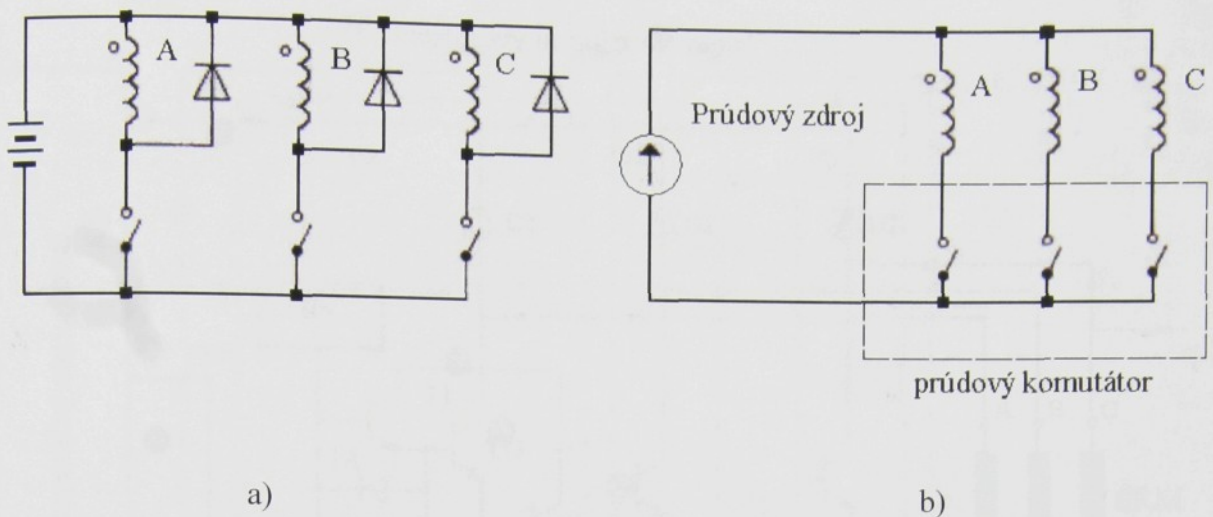
- relatívne veľká nahromadená energia vo fáze motora
- obtiažne riadenie prúdov v jednotlivých fázach

Tieto problémy sú spôsobené relatívne veľkou indukčnosťou fázy motora, ktorá sa mení s polohou rotora. V ideálnom prípade by mal menič napájať fázové vinutie obdlžnikovými prúdovými impulzmi. Vyžaduje sa čo najrýchlejšia komutácia prúdu z jednej fázy do druhej a regulácia prúdu vo fáze počas doby vodivosti.

Rozdeliť meniče používané v SRM je možné z viacerých hľadísk [55]:

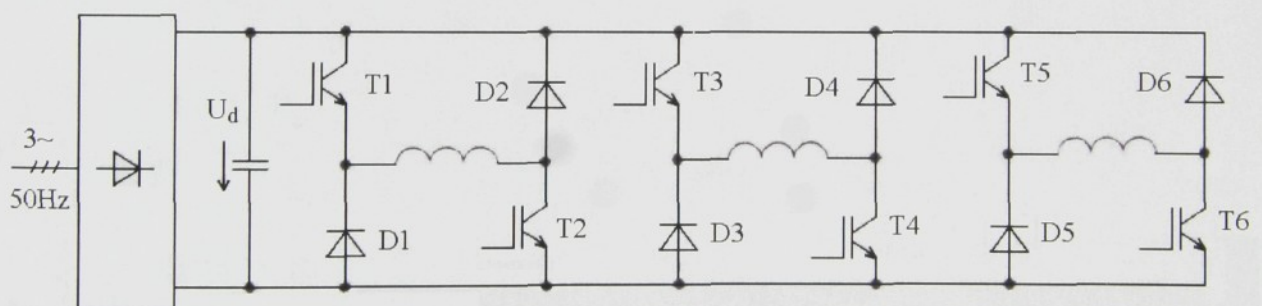
1. podľa typu napájacieho zdroja
 - napäťové
 - prúdové
2. podľa počtu spínačov vo fáze
 - s jedným spínačom
 - s dvoma spínačmi
 - s troma spínačmi pre dve fázy
3. podľa použitých spínacích súčiastok. Je možné použiť nasledujúce typy súčiastok:
 - bipolárne tranzistory
 - tranzistory MOSFET
 - GTO tyristory (Gate Turn-off Thyristor)
 - IGBT (Isulated Gate Bipolar transistor)

Principiálne schémy napäťového a prúdového meniča sú na obr.4.8. Prúdové meniče sú vhodné pre oblasť nízkych otáčok, kvôli nižšej pulzácií momentu. Napäťové meniče sú vhodnejšie pre oblasť vysokých otáčok, kde je potrebné relatívne vysoké napätie kvôli veľkej časovej zmene indukčnosti.



Obr. 4.8 Principálne schémy a) napäťového, b)prúdového meniča

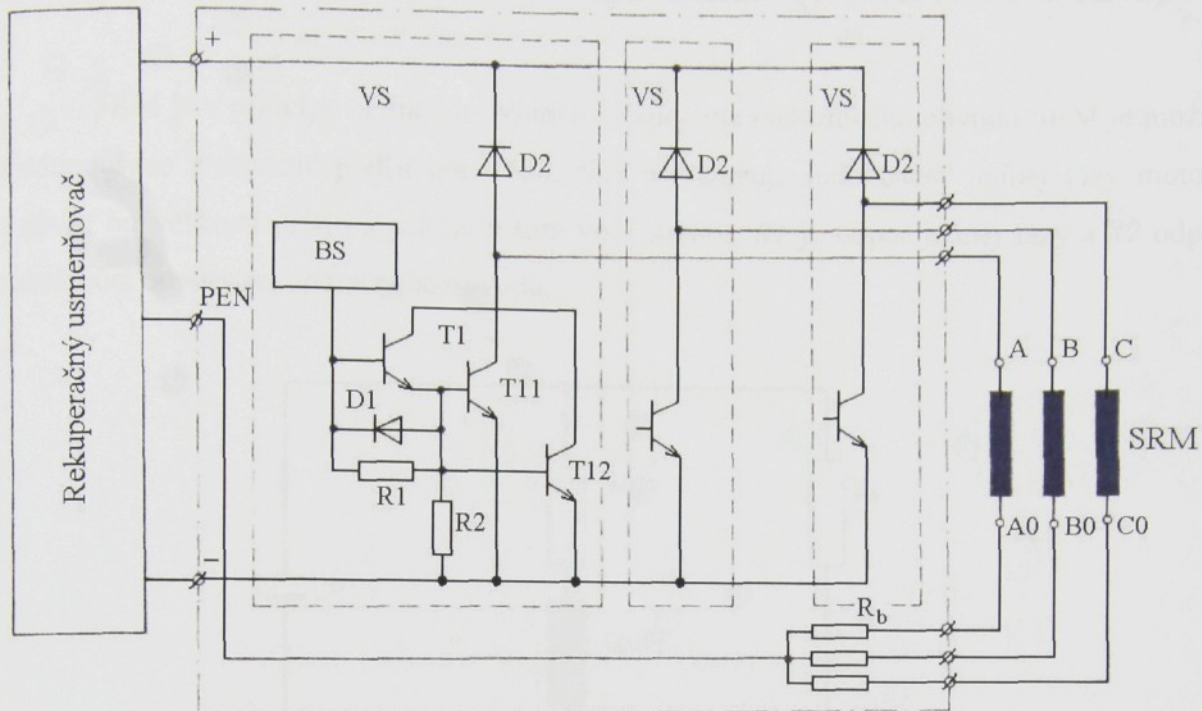
V odbornej literatúre je možné nájsť veľa zapojení s minimalizáciou spínacích prvkov. S nástupom moderných spínacích výkonových súčiastok sa tieto zapojenia stali bezvýznamnými [2]. Vhodným meničom pre napájanie SRM je menič zostavený z dvojíc výkonových polovodičových spínačov, napr. IGBT tranzistorov a spätných diód pre každú fázu.



Obr. 4.9 Základná konfigurácia meniča pre trojfázový SRM.

Merania na SRM, ktoré sú uvedené v predkladanej práci sú robené na SRM napájaného z rekuperačného meniča navrhnutého na Katedre elektrických pohonov FEI TU v Košiciach [29]. Princípálna schéma tohto meniča je uvedená na obr. 4.10.

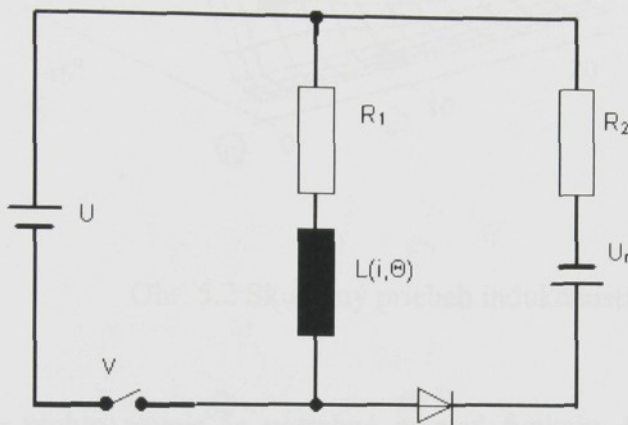
Tranzistorový impulzový menič



Obr. 4.10 Principiálna schéma rekuperačného meniča, ktorý bol použitý pri meraniach SRM.

5 MODELOVANIE A SIMULÁCIA (MODELY SRM)

SRM je v princípe nelineárny systém. Zapojenie elektrického obvodu SRM je možné zjednodušene znázorniť podľa obr.5.1. $L(i, \Theta)$ predstavuje indukčnosť jednej fázy motora a závisí od veľkosti prúdu a polohy rotora voči statoru. R_1 je odpor jednej fázy a R_2 odpor zahrňujúci odpory rekuperačného obvodu.



Obr. 5.1 Zjednodušená schéma napájania SRM.

Napäťový obvod z obr.5.1 ako aj správanie sa SRM je možné opísť pomocou parciálnych diferenciálnych rovnic.

$$u = R i + \frac{d\Psi(i, \Theta)}{dt} = R i + \frac{\partial \Psi(i, \Theta)}{\partial i} \frac{di}{dt} + \frac{\partial \Psi(i, \Theta)}{\partial \Theta} \frac{d\Theta}{dt} \quad (5.1)$$

Ψ - spriahnutý tok, $\Psi = L \cdot i$, $L = f(i, \Theta)$

Θ - uhol natočenia rotora voči statoru

R - odpor jednej fázy

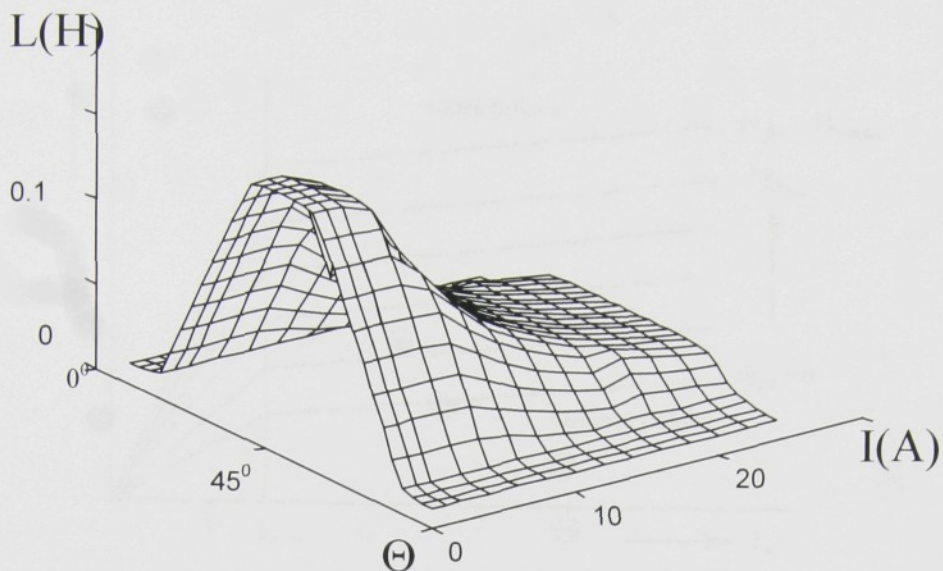
Pre zapnutý stav spínača je potrebné dosadiť za napätie zdroja napätie U a $R = R_1$. Pre vypnutý stav $U = -U_r$ a $R = R_1 + R_2$.

$$M(i, \Theta) = \frac{\partial}{\partial \Theta} \left(\int_0^i \Psi(i, \Theta) di \right). \quad (5.2)$$

$$M - M_z = J \frac{d\omega}{dt} \quad (5.3)$$

M_z - moment záťaže

J - moment zotrvačnosti



Obr. 5.2 Skutočný priebeh indukčnosti

Pre riešenie týchto rovníc je potrebné poznáť funkciu $\Psi(\Theta, i)$ alebo $L(\Theta, i)$. Stroj obvykle pracuje s pomerne veľkým sýtením a je nevyhnutné uvažovať s nelineárnymi vlastnosťami železa. Na obr. 5.2 je priestorovo znázorený skutočný priebeh indukčnosti SRM. Za týchto predpokladov je priamy analytický výpočet časových priebehov jednotlivých veličín veľmi zložitý. Výhodné je zostaviť matematický model a na základe simulácie študovať chovanie sa motora v rôznych prevádzkových stavoch.

Bolo zostavené mnoho matematických modelov, ktoré sa navzájom líšia v popise nelinearít. Je možné vychádzať z funkcií indukčnosti $L(\Theta, i)$ alebo tokov $\Psi(\Theta, i)$.

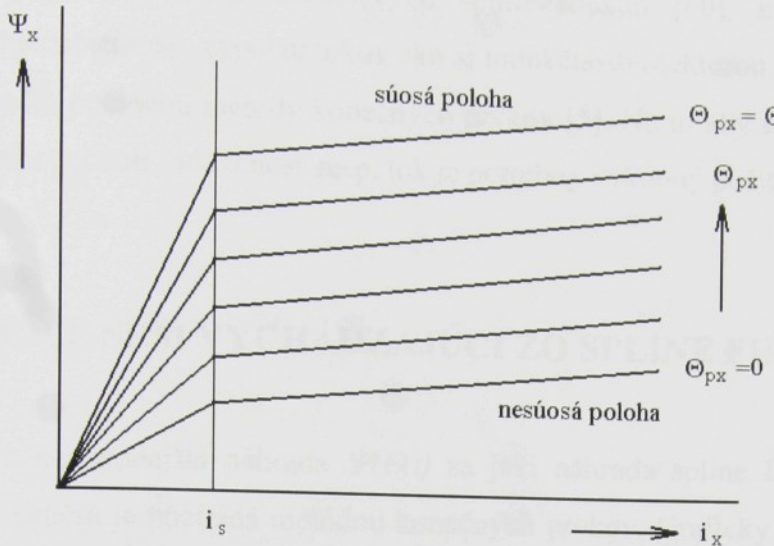
Najčastejšie používané popisy nelineárnych závislostí $\Psi(\Theta, i)$ alebo $L(\Theta, i)$

- Tabuľkovo zadané závislosti $L(\Theta, i)$ [4].
- Linearizácia funkcie $\Psi(\Theta, i)$ pomocou dvoch priamok - obr. 5.3 [38]

$$\Psi_x = \left(L_u + \frac{K_s \Theta_{px}}{i_s} \right) i_s, \quad \text{pre } i_x \leq i_s \quad (5.4)$$

$$\Psi_x = L_u i_x + K_s \Theta_{px}, \quad \text{pre } i_x \geq i_s \quad (5.5)$$

Hodnoty L_u , K_s a i_s sa určujú na základe merania. Volený je obyčajne bod v kolene charakteristiky.



Obr. 5.3 Linearizované závislosti $\Psi=f(\Theta,i)$

- Substitúcie využívajúce funkcie [38]

$$\frac{\Psi_s}{\Psi_{sx}} = \frac{i_x}{i_s} \left[\frac{K_{\mu x}}{1 + (K_{\mu x} - 1) \cdot \frac{i_x}{i_s}} \right], \quad (5.6)$$

kde $\Psi_{sx} = L_u i_s + K_s \Theta_{px}$ (5.7)

$$K_{\mu x} = K_{\mu min} + (K_{\mu max} - K_{\mu min}) \frac{\Theta_{px}}{\Theta_{p max}} \quad (5.8)$$

kde koeficienty $K_{\mu max}$ a $K_{\mu min}$ sú nájdené experimentálne a závisia od tvaru magnetizačnej charakteristiky.

- Výpočet indukčností programom SPICE [56], ktorý je schopný počítať indukčnosť pre konštantné otáčky v každom integračnom cykle.
- Náhrada $\Psi(\Theta,i)$ exponenciálnou funkciou [48] napr.

$$\Psi(i,\Theta) = a_1(\Theta) [1 - e^{a_2(\Theta)i}] + a_3(\Theta), \quad (5.9)$$

kde $a_i(\Theta)$ sú koeficienty Fourierového rozvoja funkcie $\Psi(\Theta,i)$.

- Substitúcie používajúce nasledujúce funkcie [20]

$$\Psi(i,\Theta) = \Psi_{sat} (1 - e^{-i f(\Theta)}), \quad (5.10)$$

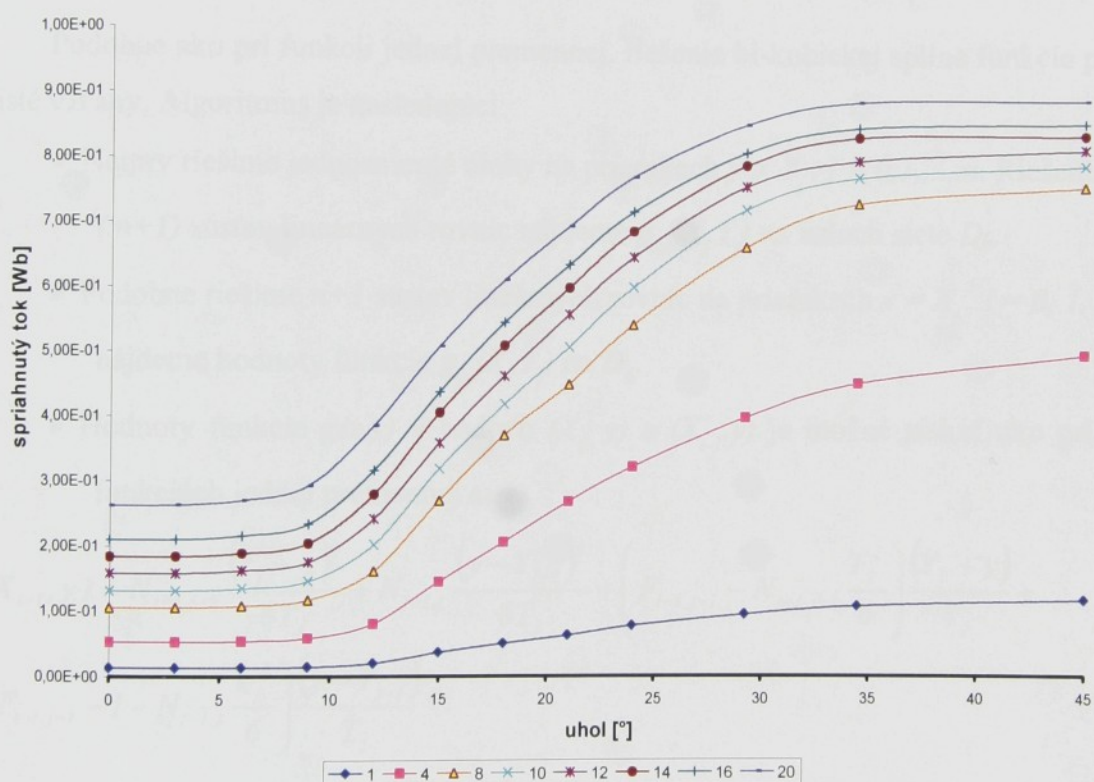
kde

$$f(\Theta) = a + \sum_{n=1}^{\infty} b_n \sin(k_1 \Theta - k_2). \quad (5.11)$$

- Interpolácia pomocou bikubických spline funkcií [60], ktorá vychádza z meraní indukčnosti resp. výpočtu tokov ako aj indukčností niektorou z interpolačných metód.
- Výpočet pomocou metódy konečných prvkov [5]. Na to aby sme v každom potrebnom kroku počítali indukčnosť resp. tok je potrebný výkonný počítač.

5.1 MODEL SRM VYCHÁDZAJÚCI ZO SPLINE FUNKCII

Ako najpresnejšia náhrada $\Psi(\Theta, i)$ sa javí náhrada spline funkciami [60]. Tabuľka vstupných veličín je počítaná metódou konečných prvkov. Graficky je zobrazená na obr. 5.4. Parametrom je prúd.



Obr. 5.4 Vypočítané funkcie $\Psi(\Theta)$ trojfázového SRM, parametrom je prúd v ampéroch.

Interpolácia funkcie s dvoma premennými má základ v interpolácii funkcie s jednou premennou. Majme oblasť :

$$D = \{(x, y); a \leq x \leq b; c \leq y \leq d\}$$

a siet' v oblasti D

$$D_h = \{X_k, Y_l; a < X_0 < X_1 \dots < X_n = b; c = Y_0 < Y_1 \dots < Y_m = d\}$$

Funkcia $g(x,y)$ je spline-funkcia ak spĺňa nasledujúce podmienky:

1. $g(x,y) \in C^2(D)$ t.j. $g(x,y)$ je spojitá a má spojité prvé a druhé derivácie v oblasti D

2. V každom elemente siete D_h je g bikubický polynom tvaru

$$g(x,y) = g_{kl}(x,y) = \sum_{i,j=0}^3 a_{ij}^{kl} (X_k - x)^i \cdot (Y_l - y)^j \quad (5.12)$$

$k=0,1,\dots,n$;

$l=0,1,\dots,m$

3. Na sieti D_h ma funkcia $g(x,y)$ predpísané hodnoty

$$g(X_k, Y_l) = F_{kl} \quad k=0,\dots,n, l=0,\dots,m \quad (5.13)$$

4. Funkcia $g(x,y)$ spĺňa podmienku: $\frac{\partial^2 g}{\partial \nu^2}|_{\Gamma} = 0$; ν je vonkajšia normálka ku hranici Γ oblasti D .

Podobne ako pri funkcií jednej premennej, riešenie bi-kubickej spline funkcie používa tie isté vzťahy. Algoritmus je nasledujúci:

- Najprv riešime jednosmerné úlohy na priamkach $y = Y_j, j = 0, 1, \dots, m$. Riešením $(m+1)$ sústav lineárnych rovníc nájdeme $g_{xx}(X_r, Y_j)$ na uzloch siete D_h .
- Podobne riešime $n+1$ sústav lineárnych rovníc na priamkach $x = X_i, i = 0, 1, \dots, n$, a nájdeme hodnoty funkcie $g_{yy}(X_r, Y_j)$ na D_h .
- Hodnoty funkcie $g(x,y)$ v bodech (X_r, y) a (X_{i-1}, y) je možné získať ako pri spline funkciách jednej premennej a:

$$g(X_{i-1}, y) = N_{i-1,j-1} \frac{(Y_j - y)^3}{6T_j} + N_{i-1,j} \frac{(y - Y_{j-1})^3}{6T_j} + \left(F_{i-1,j-1} - N_{i-1,j-1} \frac{T_j^2}{6} \right) \frac{(Y_j - y)}{T_j} + \\ + \left(F_{i-1,j-1} - I - N_{i-1,j} \frac{T_j^2}{6} \right) \frac{(y - Y_{j-1})}{T_j} \quad (5.14)$$

$$g(X_i, y) = N_{i,j-1} \frac{(Y_j - y)^3}{6T_j} + N_{i,j} \frac{(y - Y_{j-1})^3}{6T_j} + \left(F_{i,j-1} - N_{i,j-1} \frac{T_j^2}{6} \right) \frac{(Y_j - y)}{T_j} + \\ + \left(F_{i,j} - N_{i,j} \frac{T_j^2}{6} \right) \frac{(y - Y_{j-1})}{T_j} \quad (5.15)$$

$$\text{kde : } N_{ij} = g_{yy}(X_r, Y_j) \quad (5.16)$$

$$M_{ij} = g_{xx}(X_r, Y_j) \quad (5.17)$$

$$H_i = X_i - X_{i-1} \quad (5.18)$$

$$T_j = Y_j - Y_{j-1} \quad (5.19)$$

Ak budú známe hodnoty $g_{xx}(X_{i-1}, y)$ a $g_{xx}(X_i, y)$, môžeme určiť $g(x, y)$.

Vieme, že $g_{xx}(x, y)$ je po častiach kubická funkcia premennej y . Riešime teda $(m+1)$ jednosmerných úloh na priamkach $y = Y_j$ pre funkciu $g_{xx}(x, y)$. Jej hodnoty v uzloch sú známe. Tak dostaneme v sieti D_h funkciu $g_{xyy}(x, y)$.

Označíme $K_{ij} = g_{xyy}(X_i, Y_j)$, potom

$$\begin{aligned} g_{xx}(X_{i-1}, y) &= K_{i-1,j-1} \frac{(Y_j - y)^3}{6T_j} + K_{i-1,j} \frac{(y - Y_{j-1})^3}{6T_j} + (M_{i-1,j-1} - K_{i-1,j-1}) \frac{T_j^2}{6} \frac{(Y_j - y)}{T_j} + \\ &+ (M_{i-1,j} - K_{i-1,j}) \frac{T_j^2}{6} \cdot \frac{(y - Y_{j-1})}{T_j} \end{aligned} \quad (5.20)$$

$$\begin{aligned} g_{xx}(X_i, y) &= K_{i,j-1} \frac{(Y_j - y)^3}{6T_j} + K_{ij} \frac{(y - Y_{j-1})^3}{6T_j} + (M_{i,j-1} - K_{i,j-1}) \frac{T_j^2}{6} \frac{(Y_j - y)}{T_j} + \\ &+ (M_{i,j} - K_{i,j}) \frac{T_j^2}{6} \cdot \frac{(y - Y_{j-1})}{T_j} \end{aligned} \quad (5.21)$$

Pre $g(x, y)$ bude platiť :

$$\begin{aligned} g(x, y) &= g_{xx}(X_{i-1}, y) \frac{(X_i - x)^3}{6H_i} + g_{xx}(X_i, y) \frac{(x - X_{i-1})^3}{6H_i} + \left[g(X_{i-1}, y) - g_{xx}(X_{i-1}, y) \frac{H_i^2}{6} \right] \cdot \\ &\cdot \frac{(X_i - x)}{H_i} + \left[g(X_i, y) - g_{xx}(X_i, y) \frac{H_i^2}{6} \right] \cdot \frac{(x - X_{i-1})}{H_i} \end{aligned} \quad (5.22)$$

Moment SRM ako funkcia dvoch premenných x, y je vypočítaná nasledovne

$$\begin{aligned} g_M &= \frac{\partial \int_0^y g(x, y) dy}{\partial x} = \\ &= -U_1 \frac{(X_i - x)^2}{2H_i} + U_2 \frac{(-X_{i-1} + x)^2}{2H_i} + (U_3 - U_1 \frac{H_i^2}{6}) \frac{1}{H_i} + (U_4 - U_2 \frac{H_i^2}{6}) \frac{1}{H_i} \end{aligned} \quad (5.23)$$

$$\text{kde } U_1 = \int_0^y g_{xx}(X_{i-1}, y) dy, \quad (5.24)$$

$$U_2 = \int_0^y g_{xx}(X_i, y) dy, \quad (5.25)$$

$$U_3 = \int_0^y g(X_{i-1}, y) dy, \quad (5.26)$$

$$U_4 = \int_0^y g(X_i, y) dy \quad (5.27)$$

$$\begin{aligned} U_2 = & \left[\sum_{l=1}^j (M_{i,l} + M_{i,l-1}) \frac{T_l}{2} - (K_{i,l} + K_{i,l-1}) \frac{T_l^3}{24} \right] - K_{i,j-1} \frac{T_j^3}{24} + \left(M_{i,j-1} - K_{i,j-1} \frac{T_j^2}{6} \right) \frac{T_j}{2} - K_{i,j-1} \frac{(Y_j - y)^4}{24T_j} \\ & + K_{i,j} \frac{(y - Y_{j-1})^4}{24T_j} - \left(M_{i,j-1} - K_{i,j-1} \frac{T_j^2}{6} \right) \frac{(Y_j - y)^2}{2T_j} + \left(M_{i,j} - K_{i,j} \frac{T_j^2}{6} \right) \frac{(y - Y_{j-1})^2}{2T_j} \end{aligned} \quad (5.28)$$

$$\begin{aligned} U_4 = & \left[\sum_{l=1}^j (F_{i,l} + F_{i,l-1}) \frac{T_l}{2} - (N_{i,l} + N_{i,l-1}) \frac{T_l^3}{24} \right] - N_{i,j-1} \frac{T_j^3}{24} + \left(F_{i,j-1} - N_{i,j-1} \frac{T_j^2}{6} \right) \frac{T_j}{2} - N_{i,j-1} \frac{(Y_j - y)^4}{24T_j} \\ & + N_{i,j} \frac{(y - Y_{j-1})^4}{24T_j} - \left(F_{i,j-1} - N_{i,j-1} \frac{T_j^2}{6} \right) \frac{(Y_j - y)^2}{2T_j} + \left(F_{i,j} - N_{i,j} \frac{T_j^2}{6} \right) \frac{(y - Y_{j-1})^2}{2T_j} \end{aligned} \quad (5.29)$$

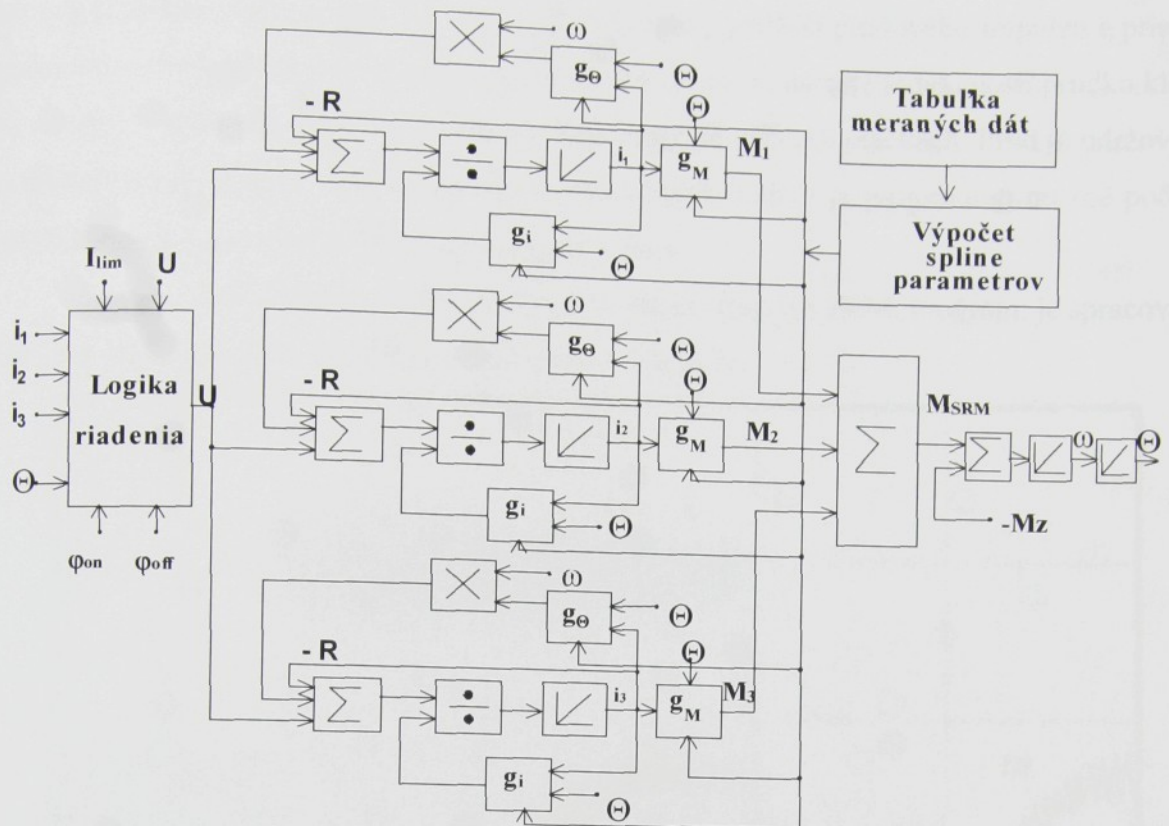
Podobne dostaneme U_1 a U_3 ak do vzorcov (5.28) a (5.29) namiesto i dosadíme $i-1$.

Keďže pri riešení matematických rovíc SRM sa používa numerická derivácia, presnosť náhradnej derivácie je závislá od hladkosti náhradnej funkcie. Vzhľadom na to, že hodnoty tokov sú často získavané na základe merania indukčnosti, kde existuje určitý rozptyl nameraných hodnôt je výhodné pred určovaním funkcie $g(x,y)$ aproximovať hodnoty funkcie $\Psi=f(\Theta)/_{i=konšt}$ vhodnou metódou a potom určiť funkciu $g(x,y)$. Pri riešení sústav lineárnych rovnic bola použitá Gaussova eliminačná metóda.

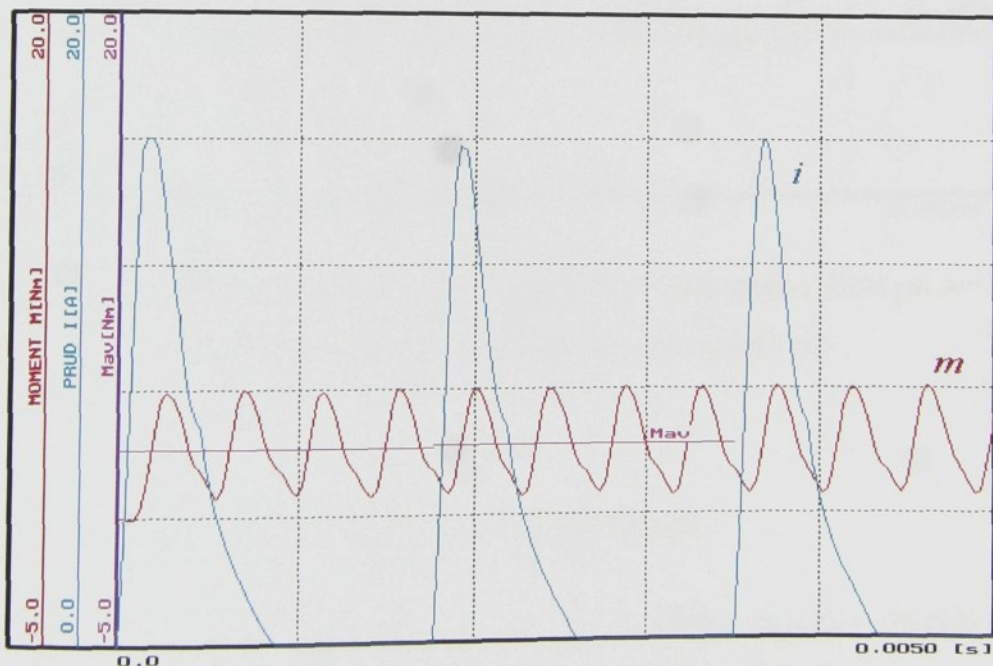
Aplikáciou spline-funkcií sa matematický popis SRM stáva systémom nelineárnych diferenciálnych rovnic s počiatočnými podmienkami. Tento systém bol riešený metódou Rungeho-Kutta 4. rádu. Ako programovací prostriedok bol použitý PASCAL.

Na obr.5.5 je bloková schéma riešenia matematického modelu SRM pomocou spline funkcií, kde g_Θ je parciálna derivácia $g(\Theta,i)$ podľa Θ , g_i je parciálna derivácia $g(\Theta,i)$ podľa i , g_M je moment.

Postup bol aplikovaný na skutočný SRM s parametrami: $2p_1/2p_2=6/4$; $R_1=0.36[\Omega]$, $R_2=0.2[\Omega]$ hodnoty spriahnutého toku $\Psi(\Theta,i)$ boli určené metódou konečných prvkov (obr.5.4). Výsledky simulácie znázorňuje obr.5.6 a obr.5.7. Kvôli prehľadnosti sa zobrazuje



Obr. 5.5 bloková schéma matematického modelu SRM.

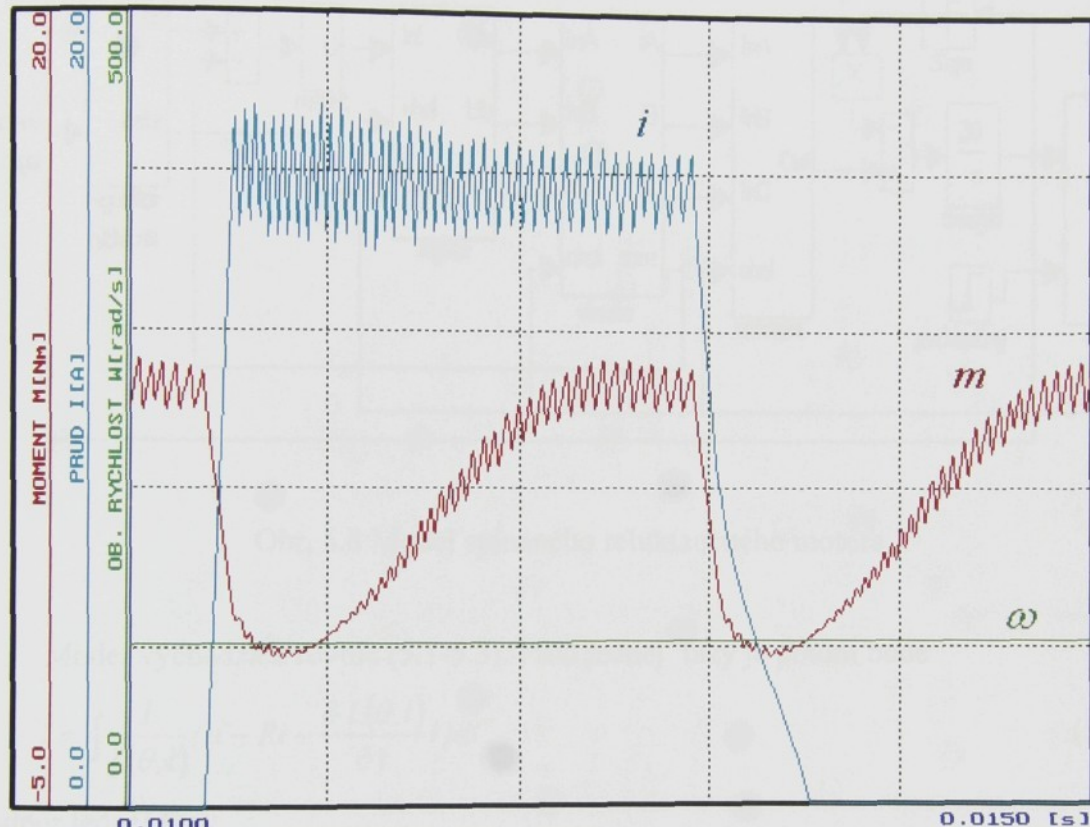


Obr. 5.6 Vypočítané momentové a prúdové impulzy štvorfázového SRM pri $\omega=600 [1/s]$.

Pre prehľadnosť je zobrazený len prúd jednej fázy.

priebeh prúdu len jednej fázy. Na obr.5.6 je zobrazený priebeh prúdového impulzu a priebeh momentových impulzov pri vysokých rýchlosťach. Prúd pri náraste indukčnosti prudko klesá. Na obr.5.7 je prúdový impulz a momentové impulzy pri nízkych otáčkach. Prúd je udržovaný na požadovanej hodnote spínaním. Okrem okamžitých hodnôt je programom možné počítať stredný moment ako aj dodávaný a odoberaný výkon.

Tento model je možné s výhodou poučiť pri navrhovaní SRM. Program, je spracovaný tak, že je možné počítať aj charakteristiky stroja (obr.4.2).



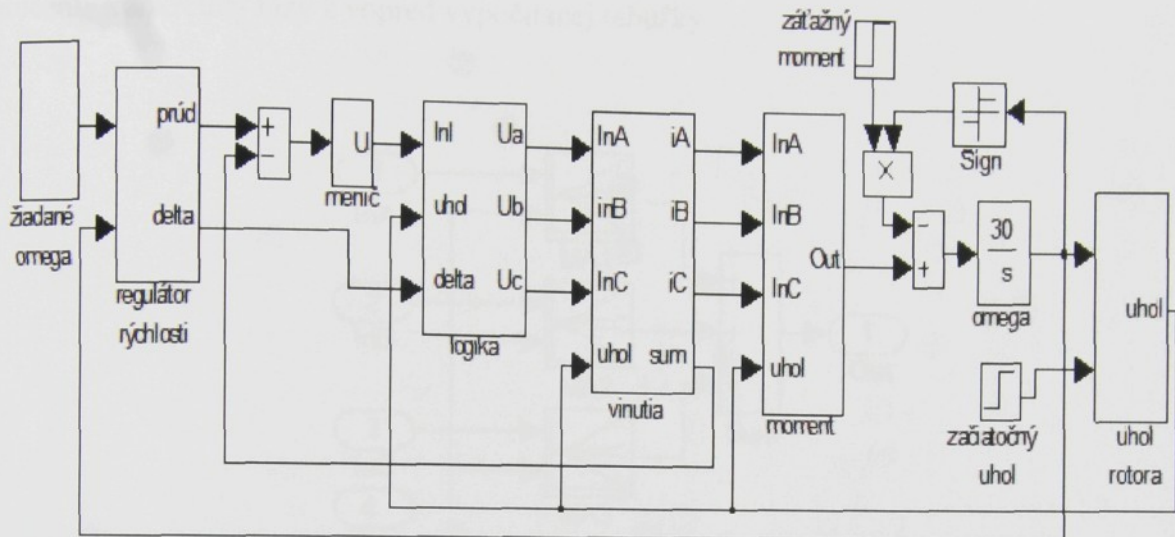
Obr. 5.7 Vypočítané momentové a prúdové impulzy štvorfázového SRM pri $\omega=104 \text{ [1/s]}$.

Pre prehľadnosť je zobrazený len prúd jednej fázy.

5.2 MODEL SRM PRACUJÚCI S TABUĽKOU

Nevýhodou predchádzajúceho riešenia je zložitejšie spájanie modelu motora s modulmi simulačnou reguláciu resp. napájací zdroj. Z toho dôvodu bol v programovom prostredí Matlab Simulink vytvorený pomerne jednoduchý model SRM pracujúci s tabuľkami indukčností a momentov [61].

Nelineárna závislosť $L(i, \theta)$ je zohľadnená samostatnou tabuľkou pre každú fázu. Hodnoty indukčnosti boli počítané metódou konečných prvkov a konfrontované s meraním. Schéma modelu SRM je uvedená na obr. 5.8. Schéma obsahuje prúdový regulátor a menič modelovaný releovým členom.



Obr. 5.8 Model spínaného reluktančného motora.

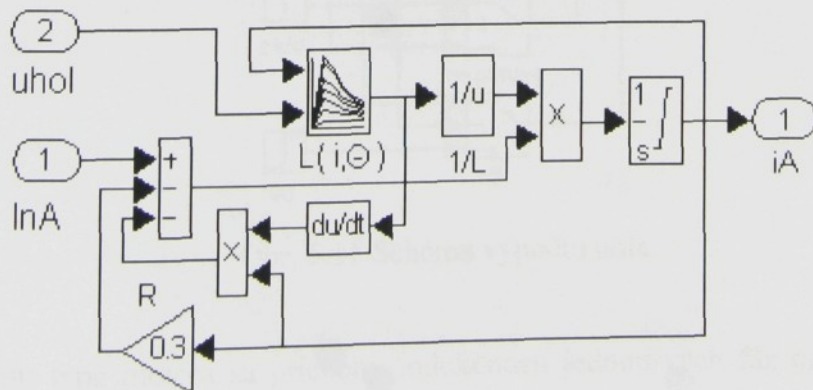
Model vychádza z rovníc (5.1-5.3). Prúd jednej fázy je potom bude

$$i = \int \frac{1}{L(\theta, i)} (u - R i - \frac{\partial L(\theta, i)}{\partial t} i) dt \quad (5.28)$$

R - odpor jednej fázy

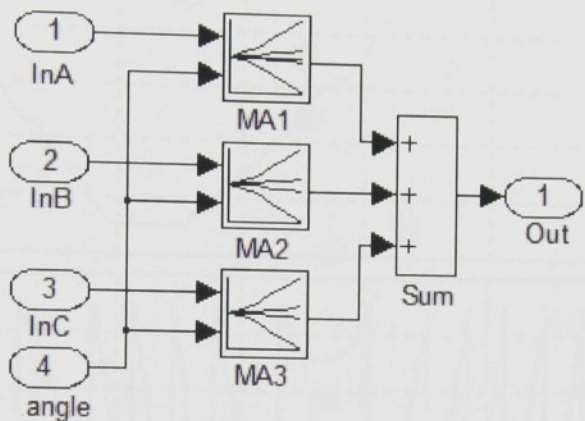
$L(\theta, i)$ – indukčnosť budenej fázy

Zodpovedajúci model jednej fázy je na obr. 5.9. Pretože prúd nadobúda len kladné hodnoty dolná hodnota integrálu je obmedzená na nulu.

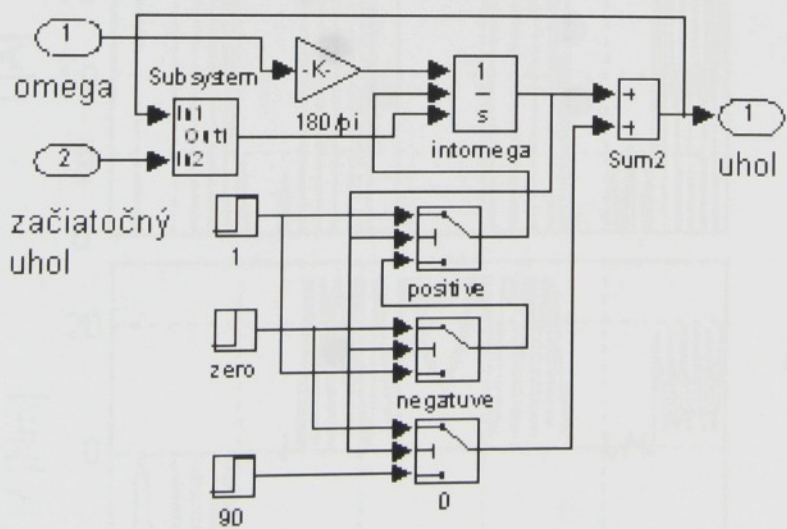


Obr. 5.9 Model vinutia jednej fázy

Moment motora je závislý na prúde budenej fázy a polohe rotora. Jednotlivé fázy sú spínané v minime indukčnosti t.j. v nesúosej polohe. Uhol vedenia každej fázy je nastaviteľný. Logiku správneho spínania jednotlivých fáz zabezpečuje blok „logika“. Bloková schéma výpočtu momentov je na obr.5.10. Moment je určovaný na základe prúdu a uhla natočenia konkrétnej fázy z vopred vypočítanej tabuľky.



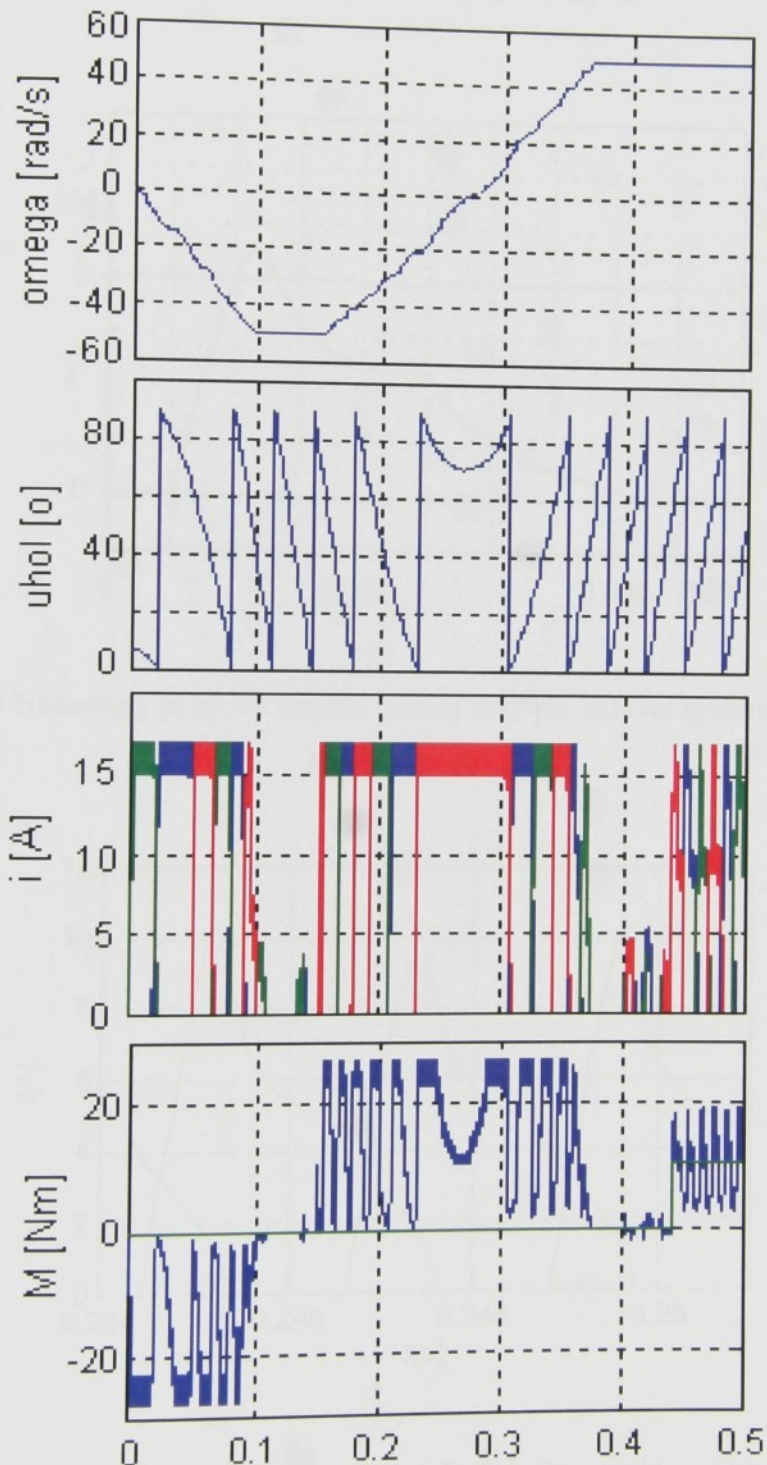
Obr. 5.10 Bloková schéma výpočtu momentu



Obr. 5.11 Schéma výpočtu uhla.

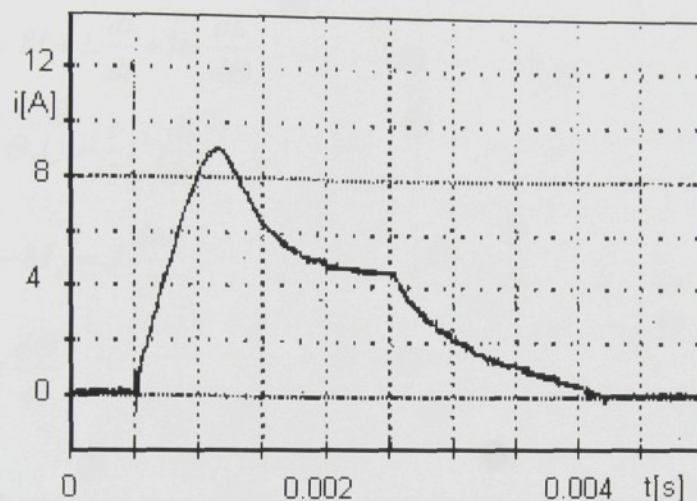
Pri tomto type motora sa priebehy indukčností jednotlivých fáz opakujú v intervale 90° . Preto je uhol po deväťdesiatich stupňoch nulovaný. Bloková schéma výpočtu uhla je na

obr.5.11. Pri záporných otáčkach sa uhol odčíta. Na obr.5.12 sú znázornené simulované priebehy otáčok, uhla, prúdov a momentov motora pri rozbehu, reverzácii a následnom zaťažení. Keďže sa jedná o rozsah otáčok -50 až 50 [rad/s] motor sa rozbieha a brzdí s maximálnym prúdom.

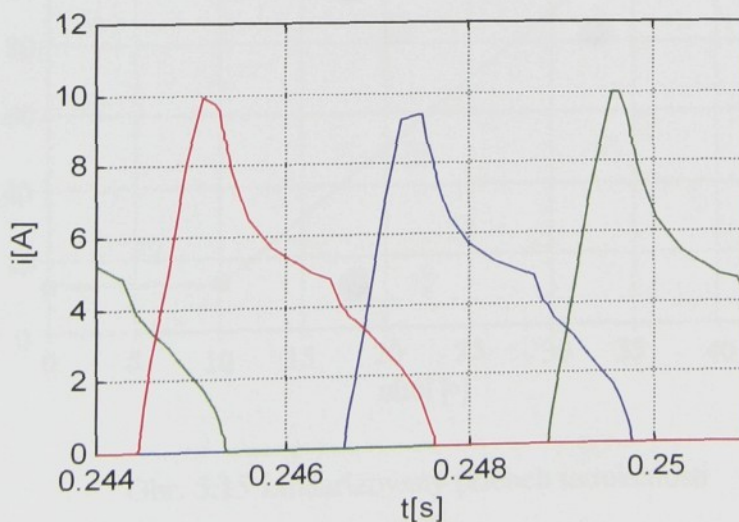


Obr. 5.12 Výsledky simulácie

Presnosť tohto modelu je závislá od počtu a rozmiestnení hodnôt v tabuľkách. Na obr.5.13 je zobrazený nameraný prúdový impulz trojfázového SRM. Pri tých istých podmienkach (t.j. napätie, uhlová rýchlosť, uhol zapnutia a vypnutia) bol vypočítaný prúdový impulz, ktorý je zobrazený na obr.5.14 . Oba priebehy vykazujú pomerne dobrú zhodu vzhlľadom na to, že menič bol modelovaný len releovým členom.



Obr. 5.13 Nameraný prúdový impulz jednej fázy pri uhlovej rýchlosťi 233 [rad/s].



Obr. 5.14 Vypočítané prúdové impulzy jednotlivých fáz pri uhlovej rýchlosťi 233 [rad/s].

5.3 VPLYV LINEARIZÁCIE

Pri vysvetľovaní práce SRM sa zjednodušuje problém tým, že zanedbávame závislosti indukčnosti od prúdu a zakrivenie siločiar vo vzduchovej medzere. Priebeh indukčnosti v tomto prípade môžeme znázorniť lomenou čiarou (po častiach linearizovať), ako ukazuje obr.5.15.

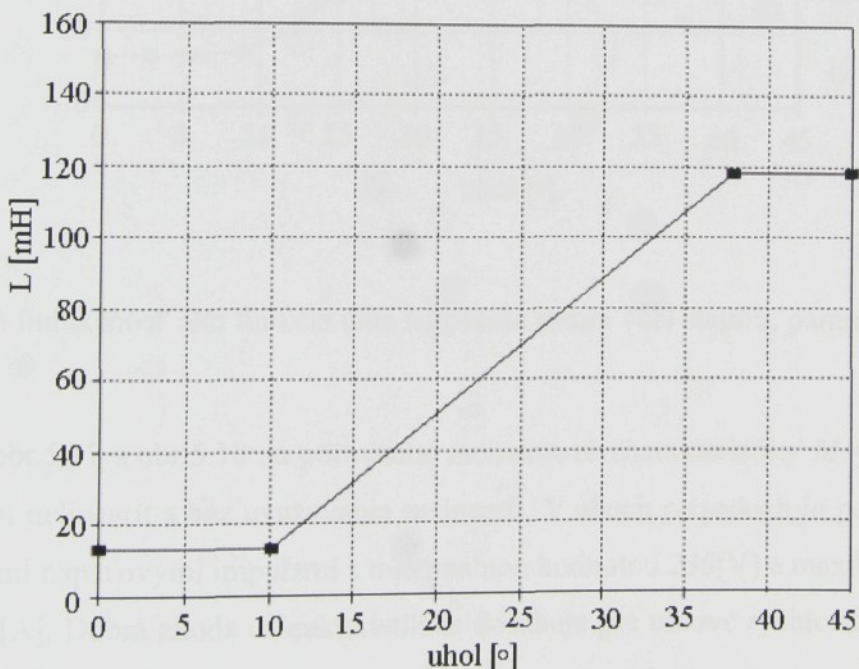
Sústava rovníc [5.1-5.3] sa v tomto prípade zjednoduší na tvar:

$$U = Ri + L \frac{di}{dt} + i\omega \frac{dL}{d\Theta} \quad (5.29)$$

$$M(\Theta, i) = \frac{1}{2} i^2 \frac{dL}{d\Theta} \quad (5.30)$$

$$M - M_z = J \frac{d\omega}{dt} \quad (5.31)$$

$$\omega = \frac{d\Theta}{dt} \quad (5.32)$$

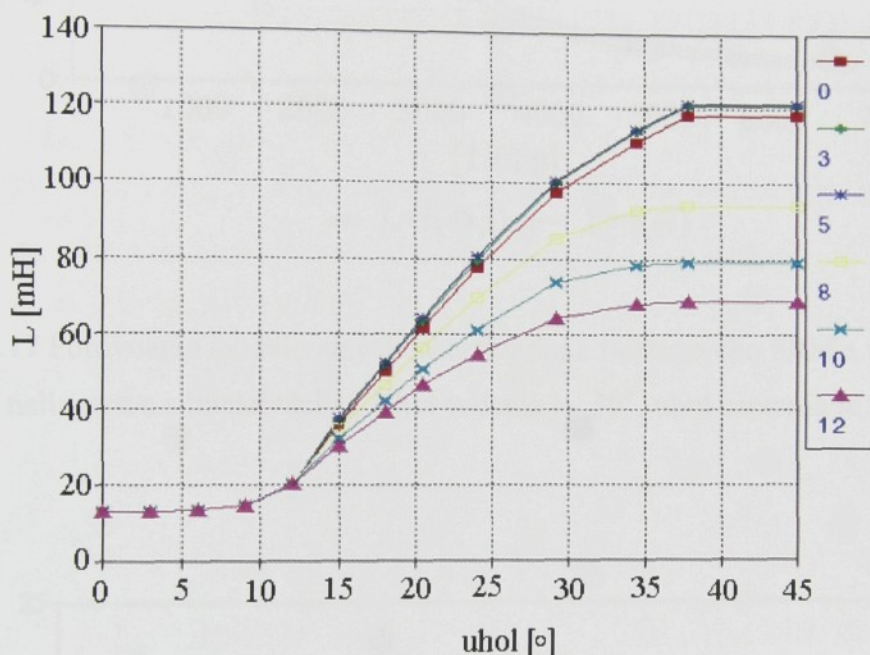


Obr. 5.15 Linearizovaný priebeh indukčnosti

Pre porovnanie vplyvu linearizácie bol ten istý SRM modelovaný pri uvažovaní nelinearít t.j. $L=f(\Theta, i)$ a pri zanedbaní vplyvu nelinearít. Za základ výpočtov linearizovaného priebehu $L(\Theta)$ bolo vzaté meranie pre prúd I [A]. Pre konkrétny stroj je to oblasť ked' stroj

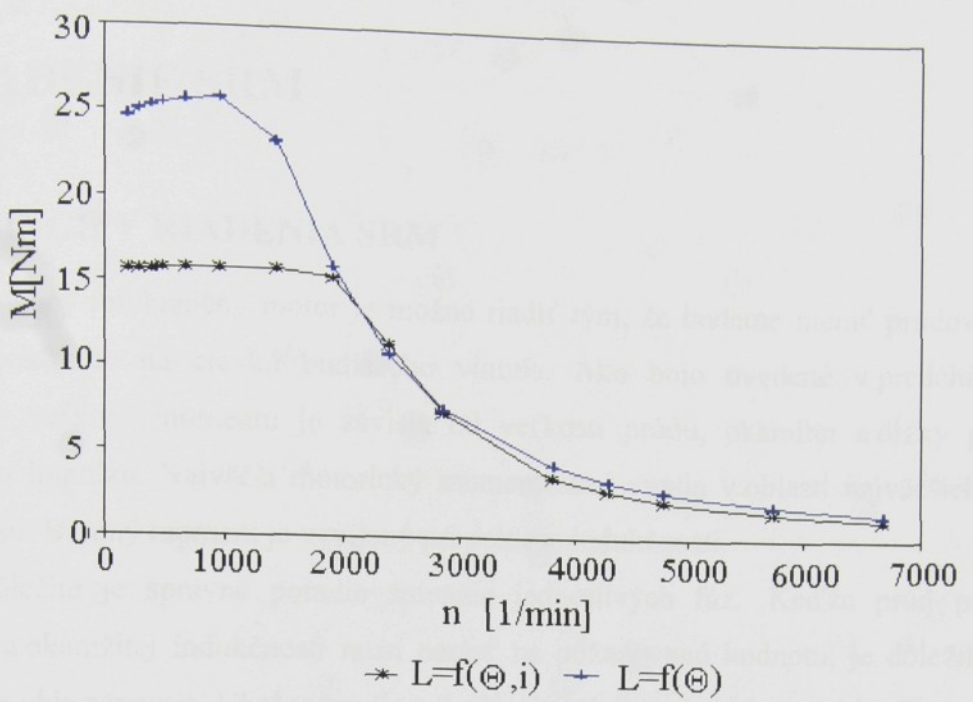
pracuje v lineárnej časti magnetizačnej charakteristiky. Na riešenie rovníc (5.29 - 5.32) bola použitá metóda Runge-Kutta IV. radu. Užívateľský program bol robený v jazyku Turbo Pascal.

Pre porovnanie je na obr.5.16 znázornený vplyv nasýtenia magnetického obvodu na indukčnosť budenej fázy. So zväčšovaním sa prekrytie pólov vzrástá pokles indukčnosti pri prúdoch väčších ako 3 A.

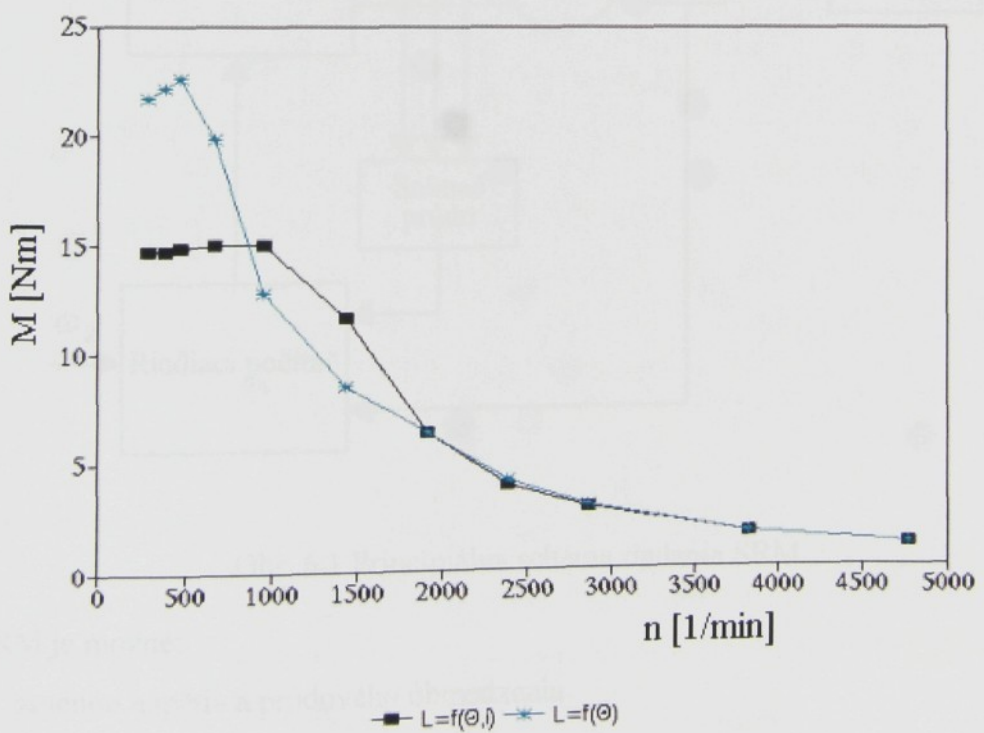


Obr. 5.16 Indukčnosť ako funkcia uhla natočenia rotora voči statoru, parametrom je prúd.

Na obr.5.17 a obr.5.18 sú porovnané momentové charakteristiky $M=f(\omega)$ vypočítané s uvažovaním nelinearít a bez uvažovania nelinearít. V oboch prípadoch je použité napájanie obdĺžnikovými napäťovými impulzmi s maximálnou hodnotou 230[V] a maximálny povolený prúd bol 16 [A]. Dobrá zhoda charakteristik sa dosahuje pre uhlové rýchlosť zodpovedajúce práci SRM v oblasti, pre ktorú platí $M \cdot \omega^2 = \text{konšt.}$ t.j. oblast' vyšších otáčok, keď prúd nedosahuje maximálnej hodnoty. Rozdiely sa pohybujú okolo 10%. V oblasti momentovej charakteristiky, v ktorej stroj pracuje s maximálnym prúdom, budú rozdiely závisieť od sýtenia magnetického obvodu a spínania. Vo vyšetrovaných prípadoch chyba dosahovala aj viac ako 60% (obr.5.17 a obr.5.18).



Obr. 5.17 Porovnanie modelovaných charakteristik trojfázového SRM s uvažovaním nelinearít a s linearizáciou. Uhол vedenia je 30^0 , uhол zapnutia je 5^0 .



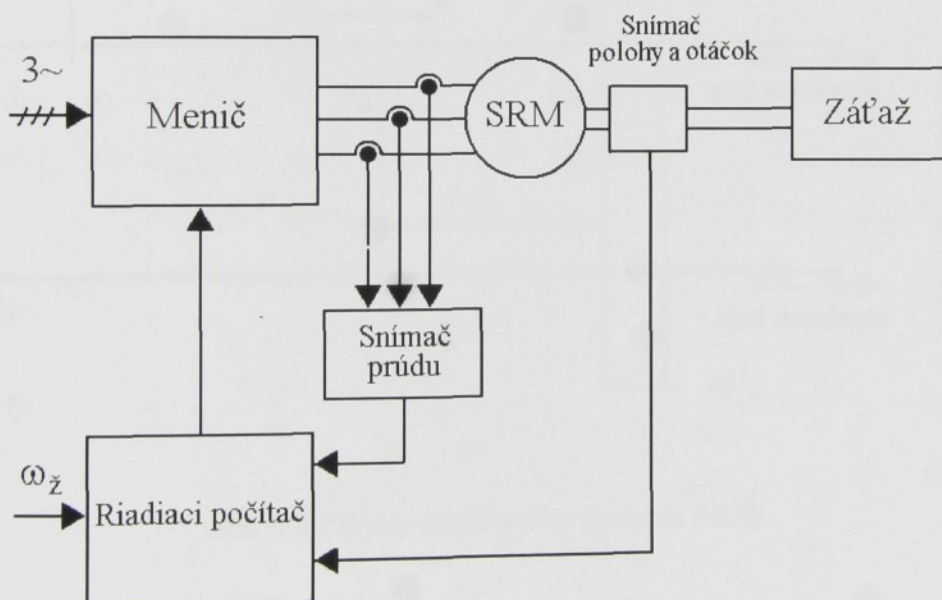
Obr. 5.18 Porovnanie modelovaných charakteristik trojfázového SRM. Uhол vedenia je 30^0 , uhол запnutia je 0^0 .

6 RIADENIE SRM

6.1 PRINCÍPY RIADENIA SRM

Spínaný reluktančný motor je možné riadiť tým, že budeme meniť prúdový impulz, ktorý privádzame na cievku budiaceho vinutia. Ako bolo uvedené v predchádzajúcich kapitolách veľkosť momentu je závislá od veľkosti prúdu, okamihu a dĺžky privedenia prúdového impulzu. Najväčší motorický moment stroj vyvíja v oblasti najväčšieho nárastu indukčnosti. Brzdný moment je vyvájaný pri poklese indukčnosti.

Dôležité je správne poradie spínania jednotlivých fáz. Keďže prúd pri daných otáčkach a okamžitej indukčnosti musí narásť na požadovanú hodnotu, je dôležité správne nastavenie uhla zapnutia. Uhol vypnutia hrá dôležitú úlohu pri poklese prúdu. Zbytočne veľký uhol vypnutia zvyšuje straty a môže znižovať stredný moment - pri poklese indukčnosti by nemal cievkou už tiecť prúd aby motor nevytváral záporný moment.



Obr. 6.1 Principiálna schéma riadenia SRM

Riadiť SRM je možné:

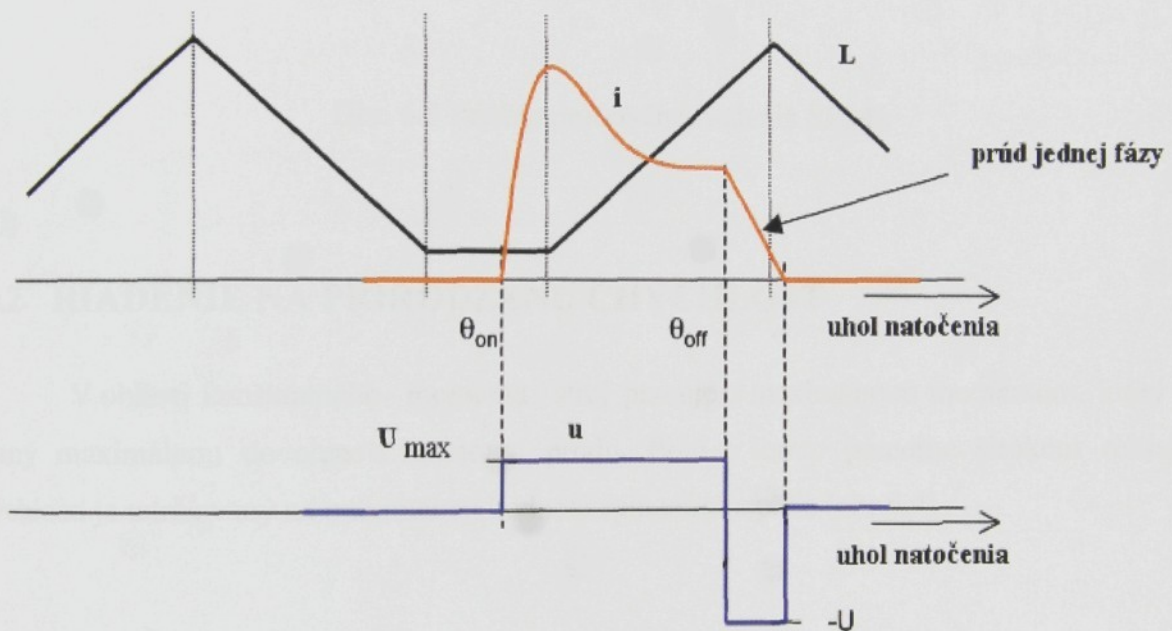
- zmenou napätia a prúdového obmedzenia
- zmenou uhla zapnutia
- zmenou uhla vypnutia
- zmenou dĺžky prúdového impulzu t.j. zmenou uhla zapnutia aj vypnutia

Principiálne môžeme rozdeliť riadenie na

- napäťové riadenie – napätie je riadené na základe požiadaviek
- prúdové riadenie – prúd je riadený na základe požiadaviek

NAPÄŤOVÉ RIADENIE

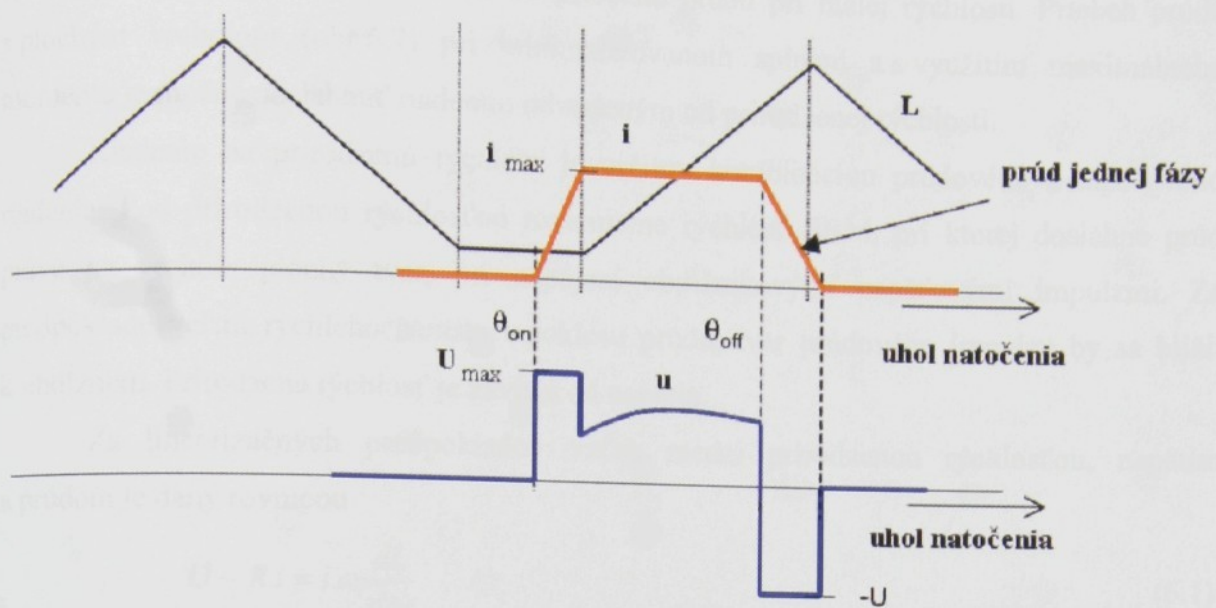
Princíp napäťového riadenia – jednotlivé fázy sú napájané obdĺžnikovými napäťovými impulzmi, ktorých dĺžka resp. poloha sa mení podľa požiadaviek. Vhodnou voľbou uhlov zapnutia a vypnutia je možné meniť prúdový impulz a následne moment motora. Princíp napäťového riadenia ilustruje obr.6.2.



Obr. 6.2 Princíp napäťového riadenia SRM.

PRÚDOVÉ RIADENIE

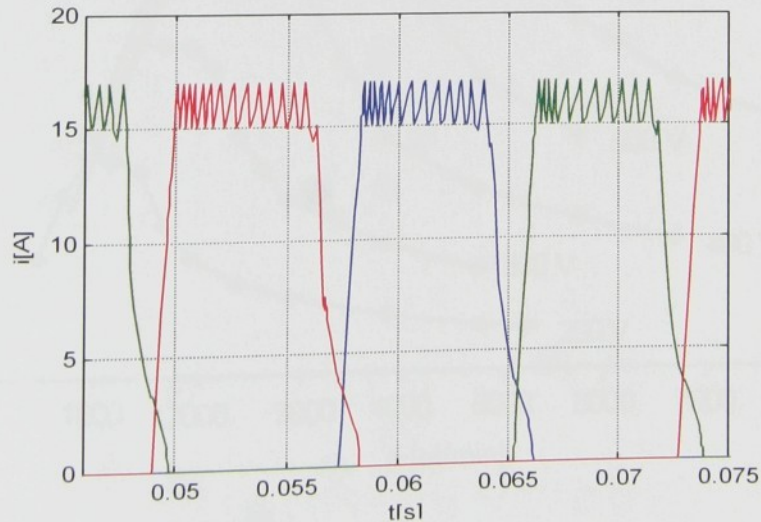
Pri tomto type riadenia hodnotu momentu meníme veľkosťou povolenej maximálnej hodnoty prúdu. Prúdový impulz by sa mal tvarom blížiť k obdĺžniku. Principiálne je tento spôsob riadenia znázornený na obr.6.3.



Obr. 6.3 Princip prúdového riadenia SRM.

6.2 RIADENIE NA PRIRODZENÚ CHÝCHLOSŤ

V oblasti konštantného momentu stroj pracuje s maximálnym momentom, ktorý je daný maximálnou dovolenou hodnotou prúdu. Prúd v tomto pomerne širokom rozsahu rýchlosť je udržiavaný na maximálnej hodnote spínaním napätia (obr.6.4) .



Obr. 6.4 Priebeh prúdu pri obmedzení veľkosti prúdu spínaním.

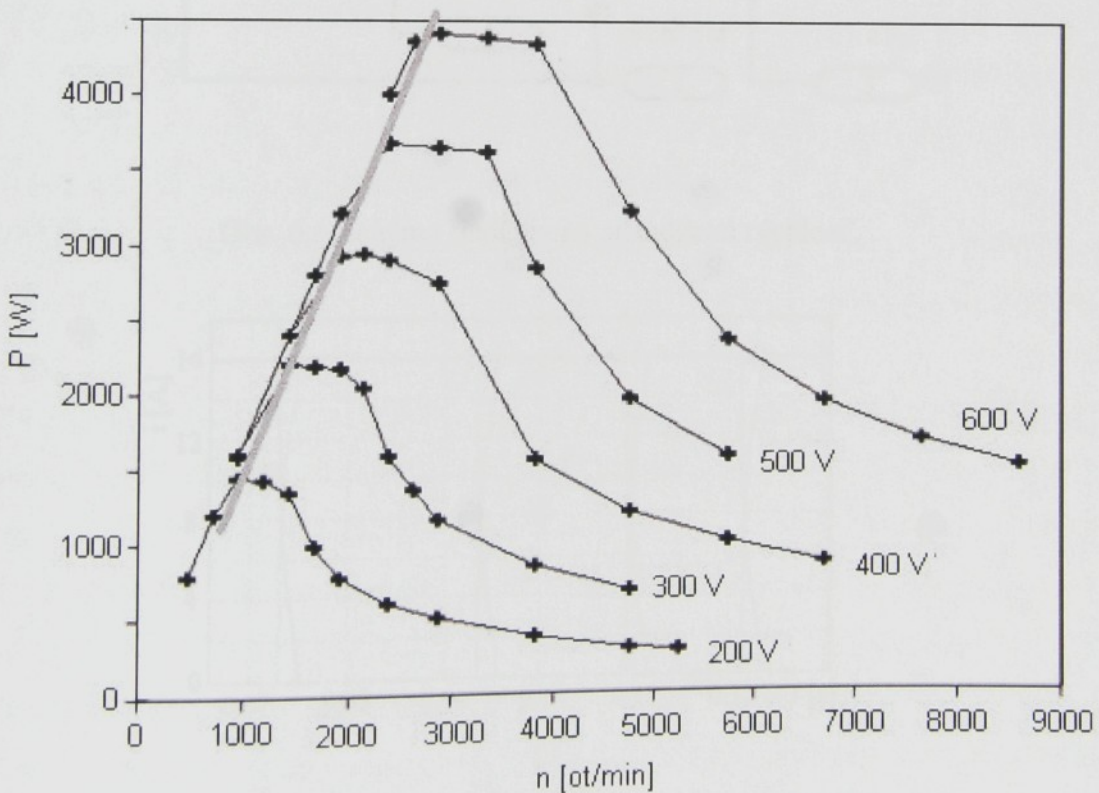
Toto spínanie vnáša kmitavú zložku do priebehu prúdu pri malej rýchlosťi. Priebeh prúdu s plochým vrcholom (obr.6.7) pri minimalizovanom spínaní a s využitím maximálneho momentu je možné dosiahnuť riadením odvodeným od prirodzenej rýchlosťi.

Riadenie na prirodzenú rýchlosť je určitou kombináciou prúdového a napäťového riadenia. Pod prirodzenou rýchlosťou rozumieme rýchlosť SRM, pri ktorej dosiahne prúd práve na vrchole plochý tvar, pri napájaní obdĺžnikovými napäťovými impulzmi. Za predpokladu veľmi rýchleho nárastu a poklesu prúdu, tvar prúdového impulzu by sa blížil k obdĺžniku. Prirodzená rýchlosť je závislá od napäťia.

Za linearizačných predpokladov vzťah medzi prirodzenou rýchlosťou, napäťom a prúdom je daný rovnicou

$$U - R.i = i.\omega \frac{dL}{d\Theta} \quad (6.1)$$

Ak simulujeme správanie sa SRM a vypočítame charakteristiku $P=f(n)$ (obr.6.5) pre napájanie obdĺžnikovými napäťovými impulzmi s konštantnou vrcholovou hodnotou, oblasť, ktorá sa približuje k prirodzenej rýchlosťi je na rozhraní oblasti konštantného momentu a konštantného výkonu. V tomto bode má prúdový impulz plochý vrchol .

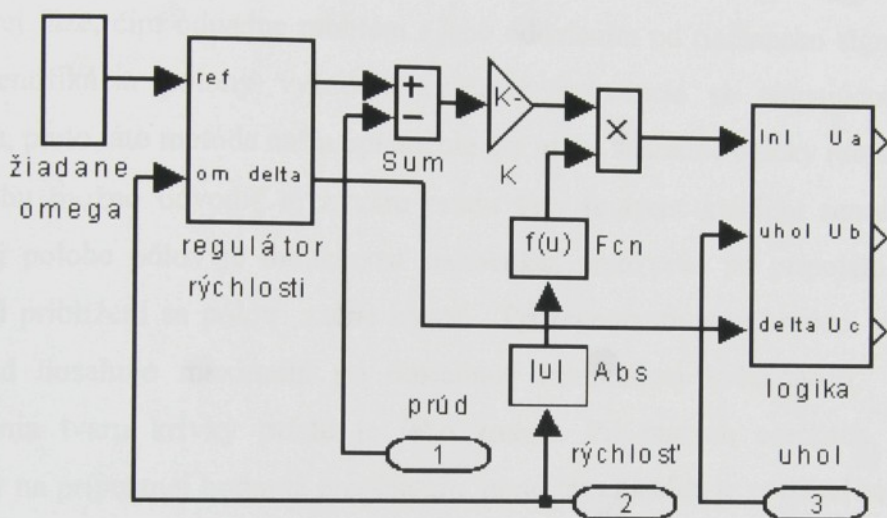


Obr. 6.5 Závislosť $P=f(n)$.

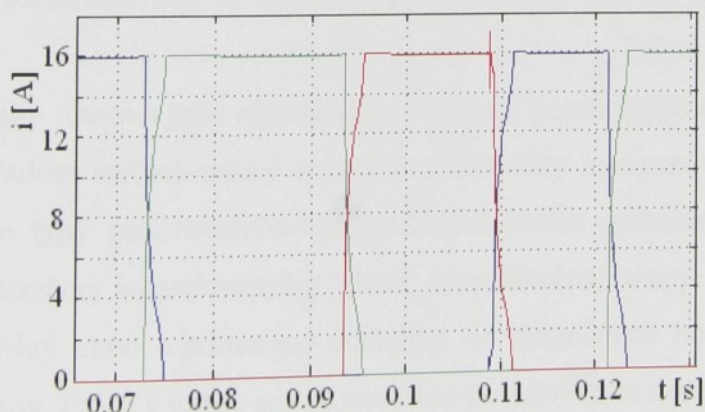
Pre trojfázový motor navrhnutý na Katedre elektrotechniky, mechatroniky a priemyselného inžinierstva boli vypočítané a na obr.6.5 sú vynesené závislosti výkonu od otáčok pri napäti ako parametri. Všetky krivky sú vypočítané pri rovnakom uhle zapnutia $\theta_z=0^\circ$ a uhle vypnutia $\theta_v=28^\circ$. Ak sa napätie vhodne zníži pri danej rýchlosťi, zabráni sa tým spínaniu prúdu. Táto závislosť napäťa na otáčkach je približne lineárna a v obrázku (obr.6.5) je vyznačená pridanou šedou priamkou. Pre uvažovaný motor je vyjadrená vzťahom

$$u = (\omega + 11.43) / 0.549. \quad (6.2)$$

Schéma modelu riadenia v programe MATLAB Simulink je na obr. 6.6. Vypočítané priebehy prúdov motoru sú na obr.6.7.



Obr. 6.6 Schéma riadenia na prirodzenú rýchlosť.



Obr. 6.7 Priebehy prúdu pri riadení na prirodzenú rýchlosť.

Pri regulácii využívajúcej závislosť (6.2) je potrebne si uvedomiť, že táto sa mierne líši pri jednotlivých kombináciách uhlov zapnutia a vypnutia.

7 BEZSNÍMAČOVÉ RIADENIE

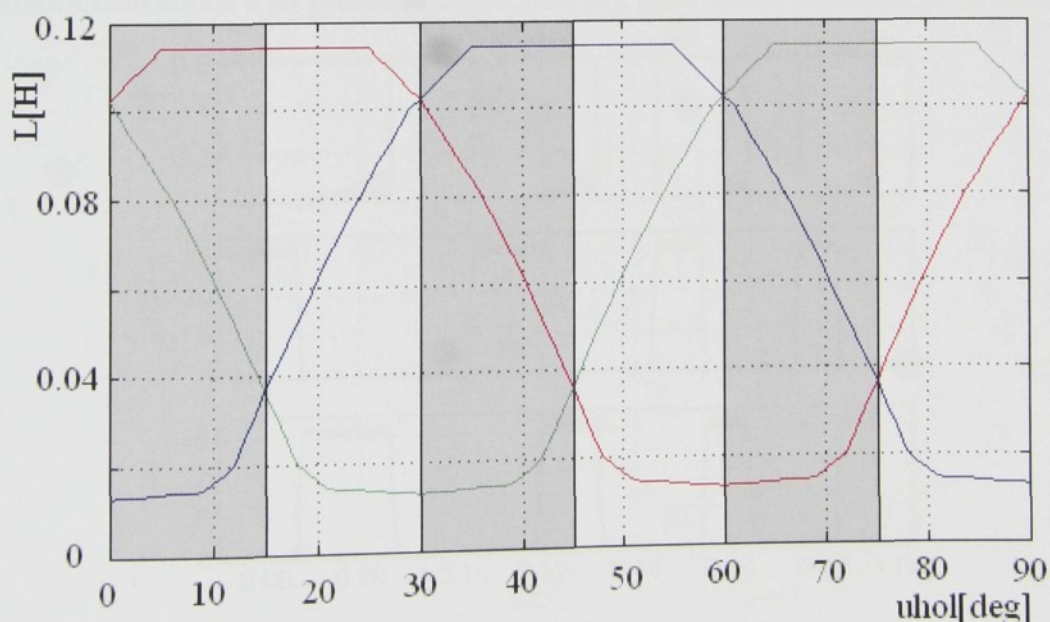
Riadenie SRM si vyžaduje znalosť uhla natočenia z vhodného snímača na hriadelei, čo je v niektorých aplikáciách neželateľné kvôli rozmerom, spoľahlivosti alebo cene. Snaha o odstránenie tejto nevýhody vedie k riadeniu založenom na odhade polohy – sensorless control. Odpovedajúce metódy vykazujú rôzne prístupy k riešeniu úlohy:

- Injektuje sa vhodný prídavný signál (najčastejšie vyššej frekvencie), pomocou ktorého sa indikuje poloha s minimálnou alebo maximálnou indukčnosťou odpovedajúca súhlasnej resp. nesúhlasnej polohe pólu rotora a statora [10], [3]. Prídavný signál sa pripája k bezprúdovej fáze, čím odpadne problém s jeho oddelením od riadiaceho signálu. Dostatočne presná identifikácia polohy vyžaduje zvýšenie frekvencie so stúpajúcou požadovanou rýchlosťou, preto táto metóda našla uplatnenie pre nízke a stredné otáčky motora.
- Polohu možno odvodiť aj z tvaru prúdu fázy (current gradient sensorless control) . V nesúosej polohe pólov je indukčnosť najmenšia, preto prúd po pripojení napäťia rýchlo stúpa a pri priblížení sa pólov začne klesať. Pri regeneratívnom brzdení a vzdialovaní sa pólov prúd dosahuje maximum po dosiahnutí minimálnej indukčnosti. Predpokladom výhodnotenia tvaru krivky prúdu je jeho zmena. Pri malých otáčkach je však prúd udržiavaný na prípustnej hodnote prepínaním, preto táto metóda je použiteľná iba od určitých otáčok. Oblastou použitia sú stredné a vysoké rýchlosťi. Výhodou sa javí skutočnosť, že sa nevyžaduje predbežná znalosť priebehu indukčnosti od polohy.
- V oblasti spínania prúdov je možné identifikovať polohu na základe doby nárastu resp poklesu prúdu. Identifikovaná je takto oblast najväčšej zmeny indukčnosti. Metóda je popísaná v [1] .
- Odhad polohy rotora a jeho mechanickej rýchlosťi pomocou pozorovateľa ([27], [8]) je problémom vzhladom na nelineárny a dvojdimenzionálny matematický model SRM. Boli realizované rôzne typy pozorovateľov za zjednodušujúcich podmienok ako je predpoklad lineárnej magnetizačnej charakteristiky alebo identifikačnej etapy na začiatku rozbehu. Dosiahol sa stabilný chod a primerané odchýlky od skutočných hodnôt za cenu použitia rýchlych procesorov. Práce v tomto smere nemožno považovať za uzavreté.
- Umelá neurónová siet umozňuje vytvoriť model SRM včítane nelineárnych závislostí. Vstupnými veličinami pri off-line predbežnom trénovaní sú meraný prúd a estimátor toku, výstupnou veličinou je uhol polohy rotora. Používa sa trojvrstvová siet s niekoľkými

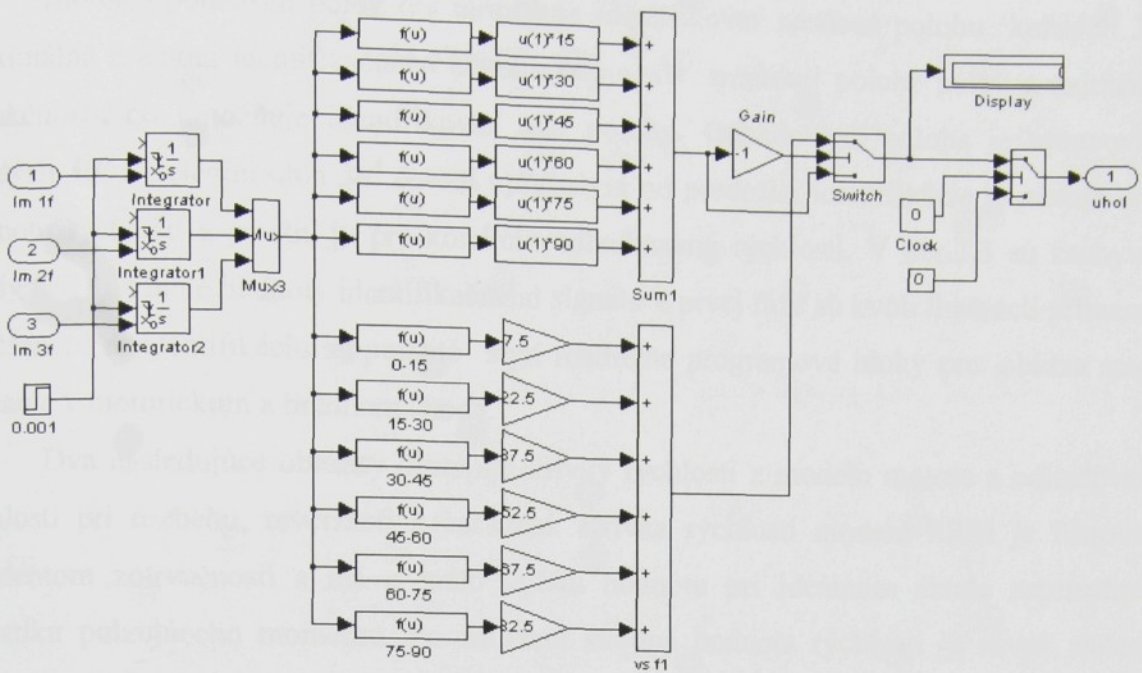
desiatkami neurónov [31]. Potom sa neurónový pozorovateľ zapojí do on-line schémy riadenia. Metóda vykazuje vyhovujúce výsledky.

7.1 IDENTIFIKÁCIA ZAČIATOČNEJ POLOHY ROTORA

Pri rozbehu motora treba určiť fázu, ktorá bude pripojená ako prvá pre zvolený smer otáčania. Jednou z možnosti identifikácie začiatočnej polohy rotora je krátkodobé pripnutie napäťového impulzu do všetkých fáz pri nulovej rýchlosi po dobu 1[ms]. Impulz musí byť dostatočne malý, aby vytvorený moment neprekonal trenie. Prúdy fáz sa líšia v dôsledku rôznej polohy rotorových pólov voči pólov statora a im odpovedajúcich indukčností vinutí fáz. Ako príklad je uvedená identifikácia pre motor s počtom pólov 6/4. V tomto type sa priebehy indukčností opakujú po 90° (obr.7.1). Tento uhol je rozdelený do šiestich intervalov a aktuálny interval sa vyberá po vyhodnotení pomeru veľkostí prúdov fáz (dolná časť obr.7.2). Výstupom je uhol, ktorého hodnota je zvolená ako stred nájdeného intervalu. V polohách odpovedajúcich priesečníkom kriviek indukčností možno presne určiť uhly $15^\circ, 30^\circ, 45^\circ, 60^\circ, 75^\circ$, a 90° (bloky v hornej časti obr.7.2). Táto metóda umožňuje identifikovať skutočnú polohu rotora s presnosťou lepšou ako 7.5° , čo postačuje pre daný účel, pretože je potrebné len vybrať jednu z troch fáz a pripojiť na ňu prvý napäťový impulz.



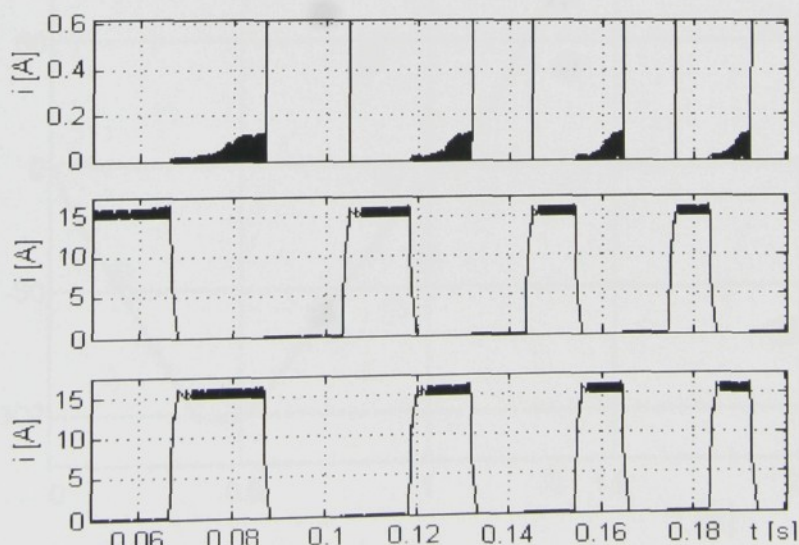
Obr. 7.1 Priebehy indukčností fáz motora.



Obr. 7.2 Bloková schéma určovania začiatočnej polohy rotora voči statoru.

7.2 BEZSNÍMAČOVÉ RIADENIE SRM PRI NÍZKYCH OTÁČKACH

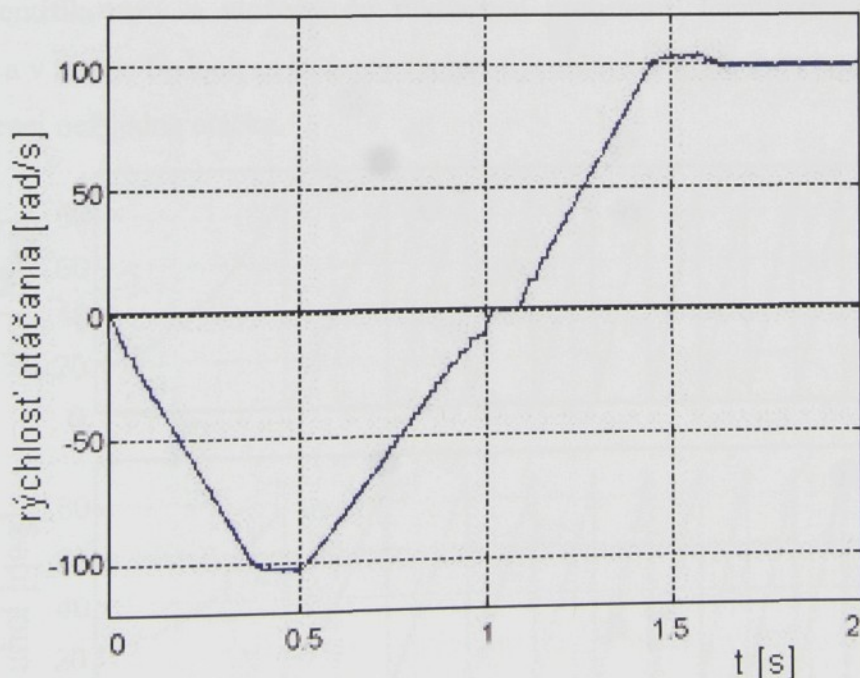
Jednou z možností určovania polohy SRM je vyhodnocovanie prídavného signálu. Injektovaný identifikačný signál sa pripája na nasledujúcu (v smere otáčania) bezprúdovú fázu v motorickom chode a na predchádzajúcu fázu (t.j. proti smeru otáčania) pri brzdení.



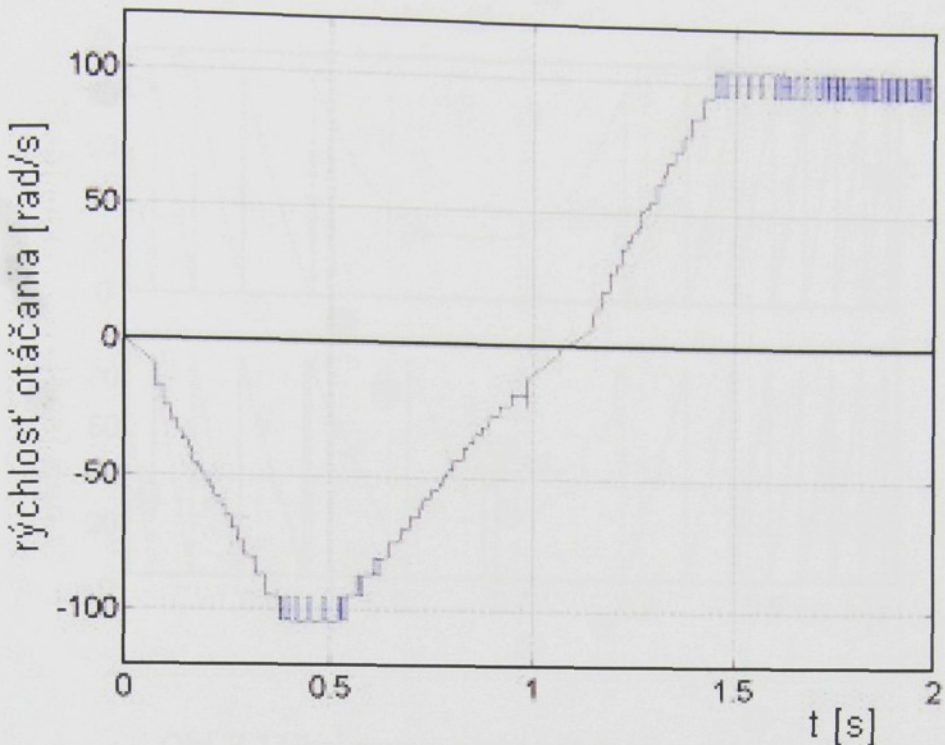
Obr. 7.3 Fázové prúdy s prídavným signálom.

Motor s pomerom pólov 6/4 umožňuje identifikovať nesúosú polohu každých 30° . Maximálna hodnota identifikačného signálu odpovedá nesúosej polohe pólov a najmenšej indukčnosti, čo umožňuje identifikovať túto polohu. Odhadovaná poloha je upravovaná každých 30° . Delením uhla 30° časom uplynulým od predošej identifikácie je možné určiť hodnotu rýchlosťi a použiť ju pre korekciu odhadovanej rýchlosťi. V obr.7.3 sú zachytené prúdy fáz, kde malé hodnoty identifikačného signálu v prvej fáze sú kvôli ilustrácii primerane zväčšené. Pre identifikáciu sú použité štyri rozdielne programové bloky pre obidva smery otáčania v motorickom a brzdnom chode.

Dva nasledujúce obrázky obsahujú krivky rýchlosťi z modelu motora a odhadovanej rýchlosťi pri rozbehu, reverzácií a zaťažení. Krivka rýchlosťi modelu SRM je filtrovaná momentom zotrvačnosti a má o málo vyššiu hodnotu pri ideálnom chode naprázdno v dôsledku pulzujúceho momentu. Po zaťažení stredná hodnota rýchlosťi je rovná zadaniu. Odhadovaná krivka rýchlosťi v obr.7.5 narastá stupňovite počas prechodného deja a osciluje pri konštantnej rýchlosťi. Na konci brzdenia rýchlosť motoru je nulová, avšak táto hodnota nie je potvrdená meraním. Keďže odhadovaná rýchlosť ostáva nezmenená do nasledujúcej korekcie a zaostáva za skutočnou hodnotou, je pri prechode nulou potrebná malá bezpečnostná pauza Δt . Táto zabezpečí dosiahnutie zhodnej nulovej hodnoty oboch veličín.

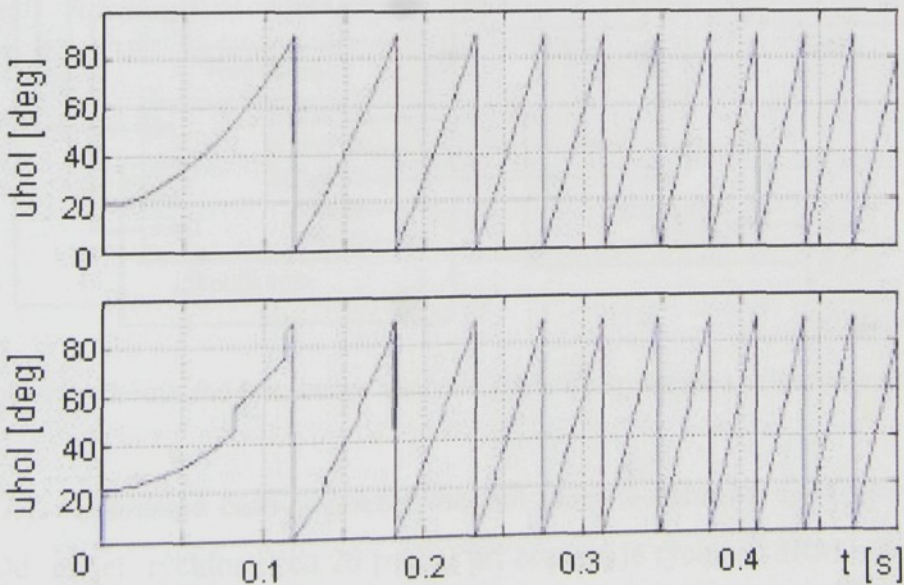


Obr. 7.4 Priebeh skutočnej rýchlosťi SRM .

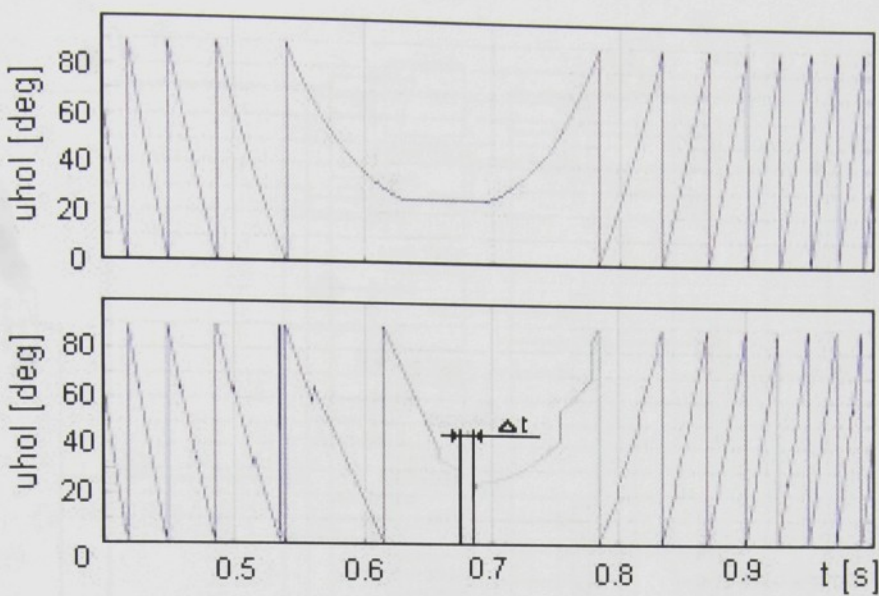


Obr. 7.5 Odhadovaná rýchlosť.

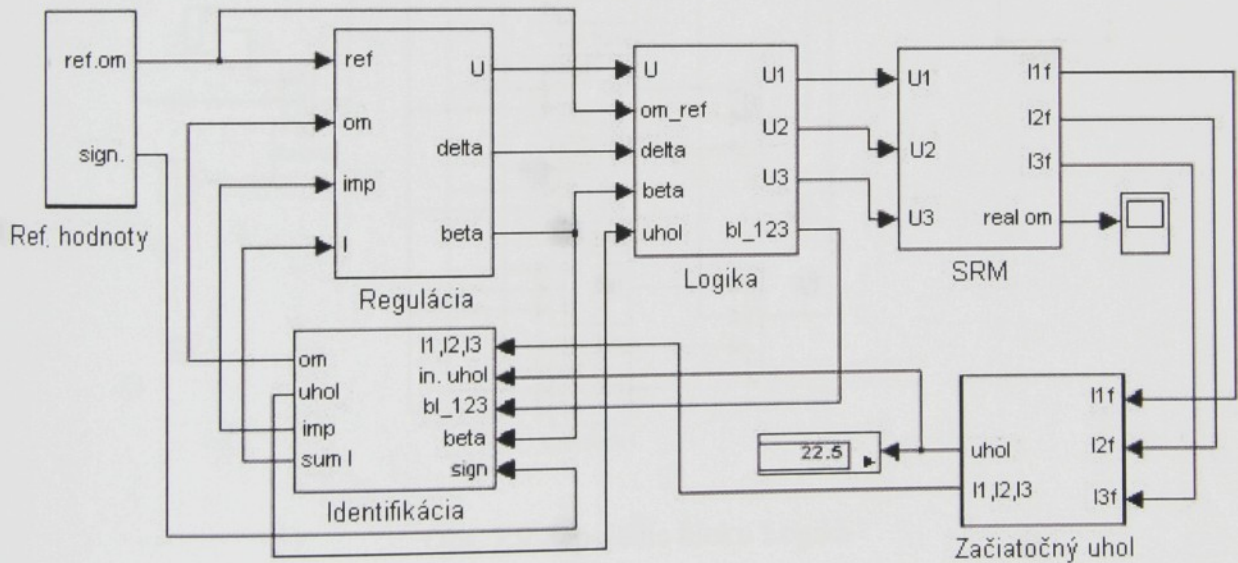
Na obr.7.6 možno porovnať obidva uhly počas rozbehu. Najprv začiatočný uhol rotora je identifikovaný a vložený do riadiaceho programu. Identifikácia uhla prebieha každých 30° a v týchto bodech sa hodnoty rýchlosťi a uhla korigujú. Pre zhodu oboch kriviek postačuje menej než jedna otáčka.



Obr. 7.6 Uhol motora a jeho odhad pri štarte.

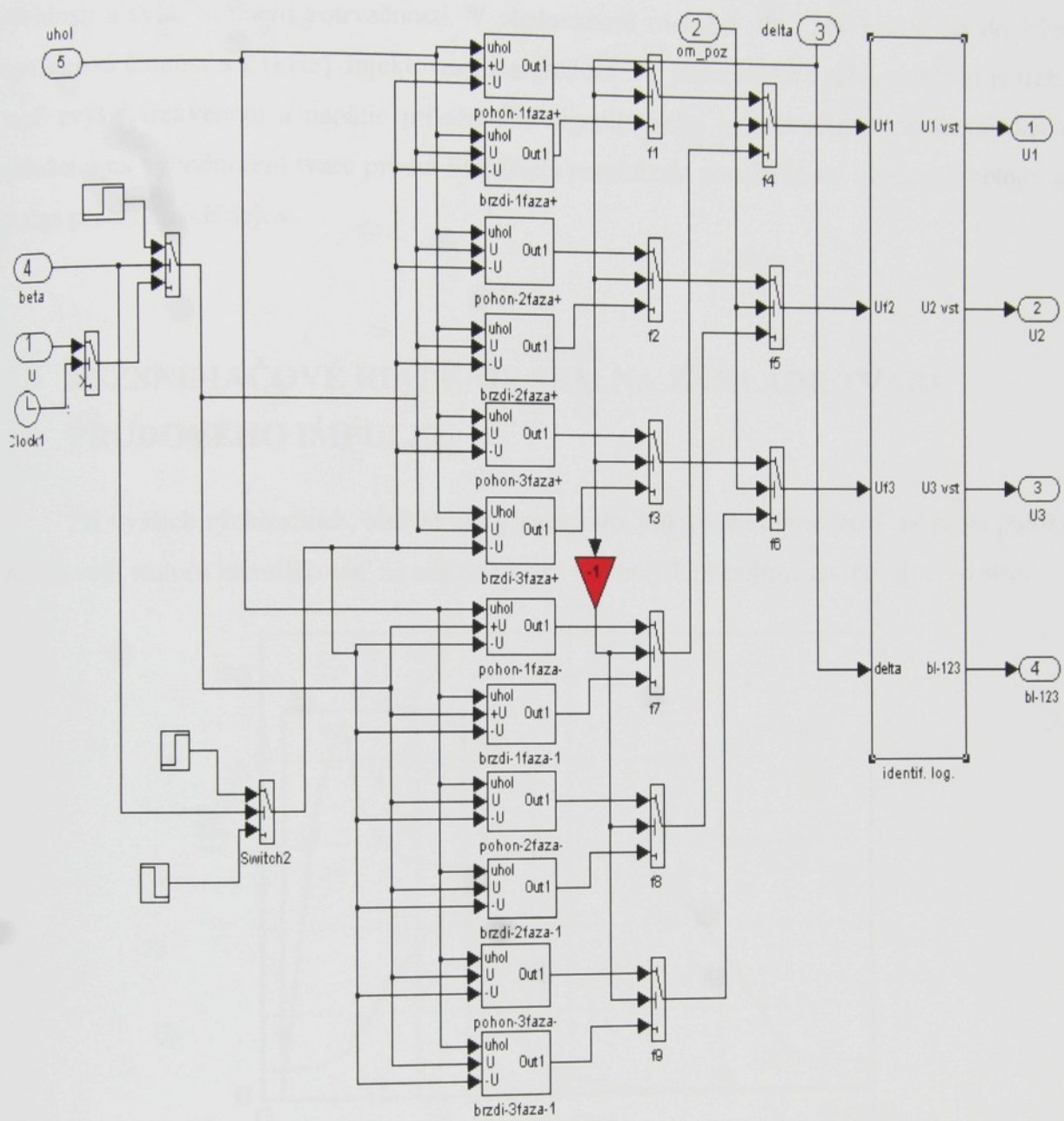


Obr. 7.7 Uhол motora a jeho odhad pri reverzácií.



Obr. 7.8 Bloková schéma modelu bezsnímačové riadenie spínaného reluktančného motora.

Obr.7.7. zobrazuje časový priebeh hodnôt uhlov v blízkosti nulovej rýchlosťi a pri reverzácií. Od malej rýchlosťi cca 20 [rad/s] pri brzdení je rýchlosť SRM nútene znížovaná bez čakania na odhadovanú hodnotu. Zatiaľ čo uhol motora je už približne konštantný (nulová rýchlosť), odhadovaný uhol sa ešte mení a môže dôjsť k ďalšej identifikácii. Po bezpečnostnej pauze sa opäť identifikuje začiatočný uhol a môže nastáť rozbeh v opačnom smere.



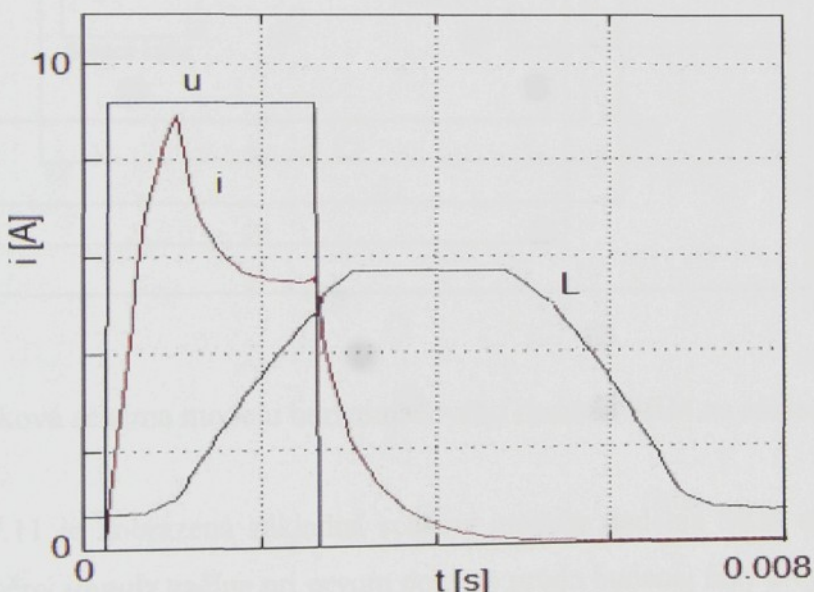
Obr. 7.9 Zapojenie bloku Logika

Obr.7.8 znázorňuje schému použitú pri simulácii. Výstupy riadenia zadávajú do logiky signál riadenia (U), znamienko regulačnej odchýlky rýchlosť (δ) a pomocný signál (β), ktorý udáva rýchlosť menšiu než 20 [rad/s] pri brzdení. Výstup bl_123 logiky zadáva identifikačné impulzy prúdov pre spätné väzby. Výstup imp identifikačného bloku určuje dobu korekcie uhla a umožňuje započatie brzdenia v správnom okamžiku. Suma všetkých prúdov $sum\ I$ predstavuje spätnú väzbu riadenia.

Uvedený model bezsnímačového riadenia umožňuje sledovať základné vlastnosti SRM. Použitá metóda identifikácie s vnúteným signálom je vhodná pre nižší rozsah riadenia rýchlosť a vyšší moment zotrvačnosti. V sledovanom rozsahu do 160 [rad/s] sa dosiahla spoľahlivá činnosť s 2 [kHz] injektovaným signálom. Pri požiadavke vyšej rýchlosť je treba buď zvýšiť frekvenciu a napäťie priloženého signálu alebo aplikovať metódu identifikácie založenú na vyhodnotení tvaru prúdu. Simulácia preukázala použiteľnosť uvedenej metódy aj počas prechodných dejov.

7.3 BEZSNÍMAČOVÉ RIADENIE SRM NA ZÁKLADE TVARU PRÚDOVÉHO IMPULZU

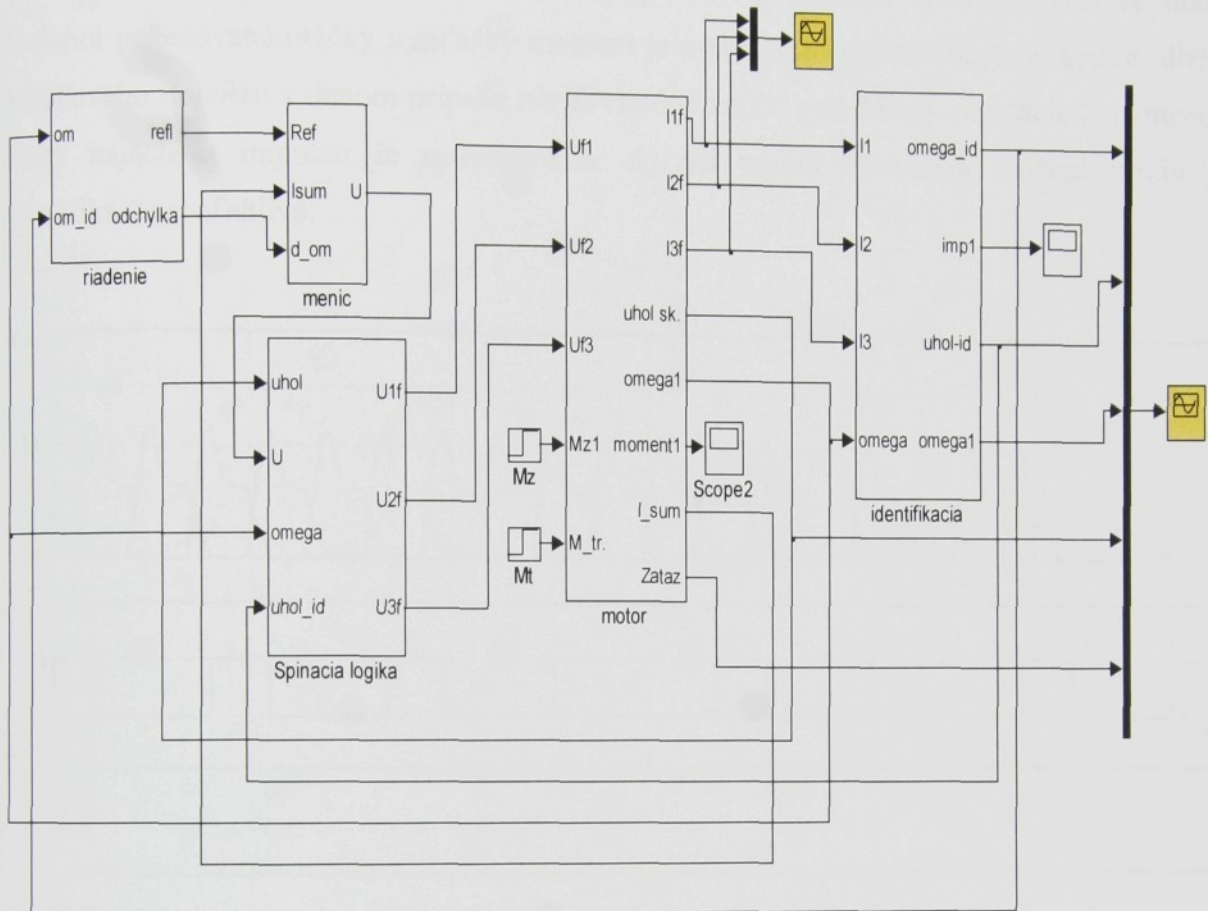
Pri vyšších rýchlosťach, keď stroj nepracuje na prúdovom obmedzení môžeme polohu rotora voči statoru identifikovať na základe tvaru prúdu. Ak pripojíme na otáčajúci sa stroj



Obr. 7.10 Priebeh prúdu napäťia a indukčnosti jednej fázy SRM

napäťový impulz pri nesúosej polohe statora voči rotoru t.j. motor má minimálnu indukčnosť, prúd začína rýchlo narastať keďže zmena indukčnosti v tejto polohe je nulová. Pri priblížení sa rotorového pólu k statorovému začína sa indukčnosť pomerne rýchlo meniť. Ku poklesu prúdu dochádza v oblasti najväčšieho nárastu indukčnosti t.j. v oblasti keď sa začína rotorový prúd prekrývať so statorovým. Tento princíp znázorňuje obr.7.10. Metóda predpokladá uhol

zapnutia v oblasti minimálnej indukčnosti a prúdové impulzy aj pri minimálnej záťaži. Hodnota prúdu nie je rozhodujúca nakoľko sa vyhodnocuje tvar prúdového impulzu.

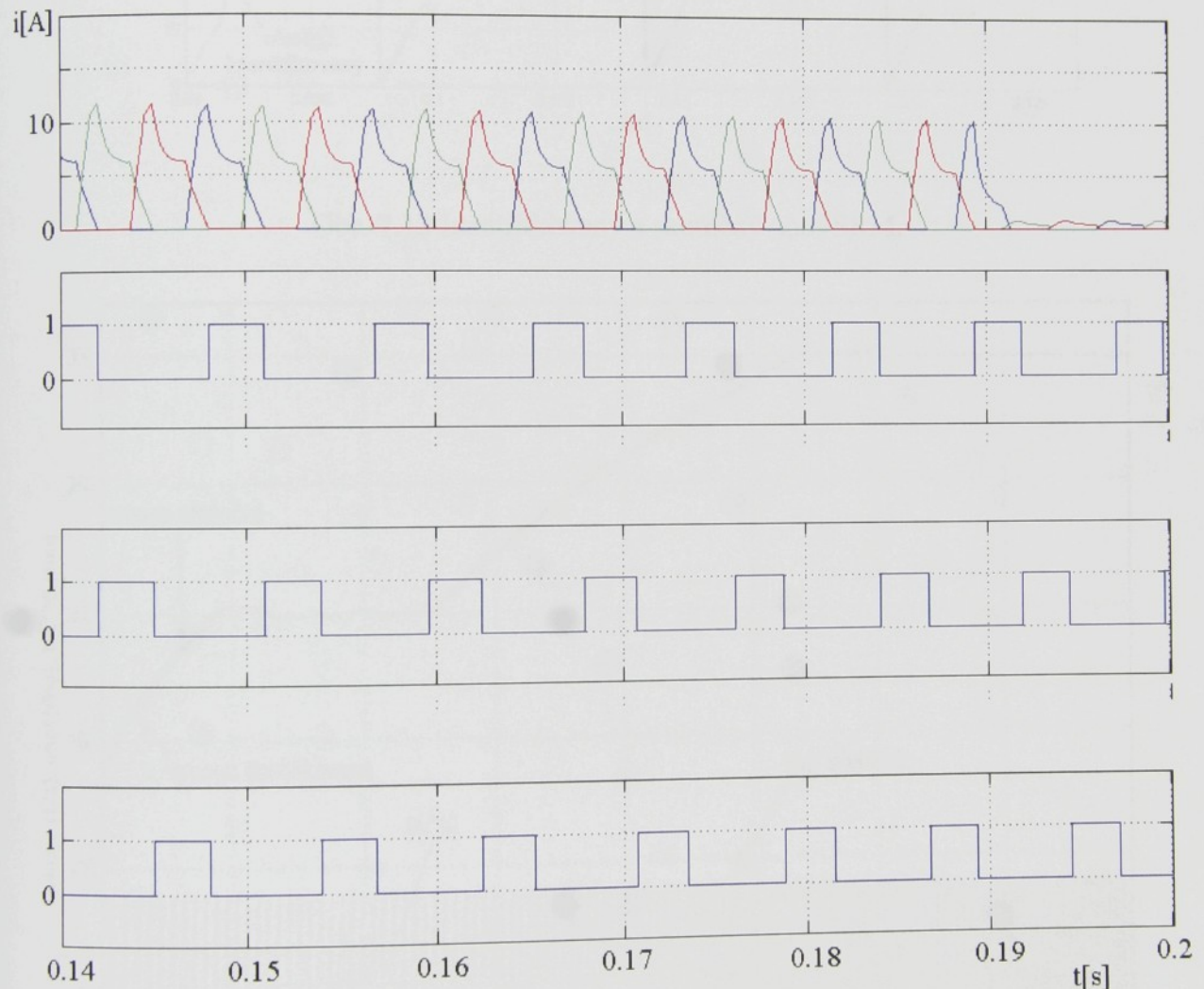


Obr. 7.11 Bloková schéma modelu bezsnímačového riadenia SRM na základe tvaru prúdu

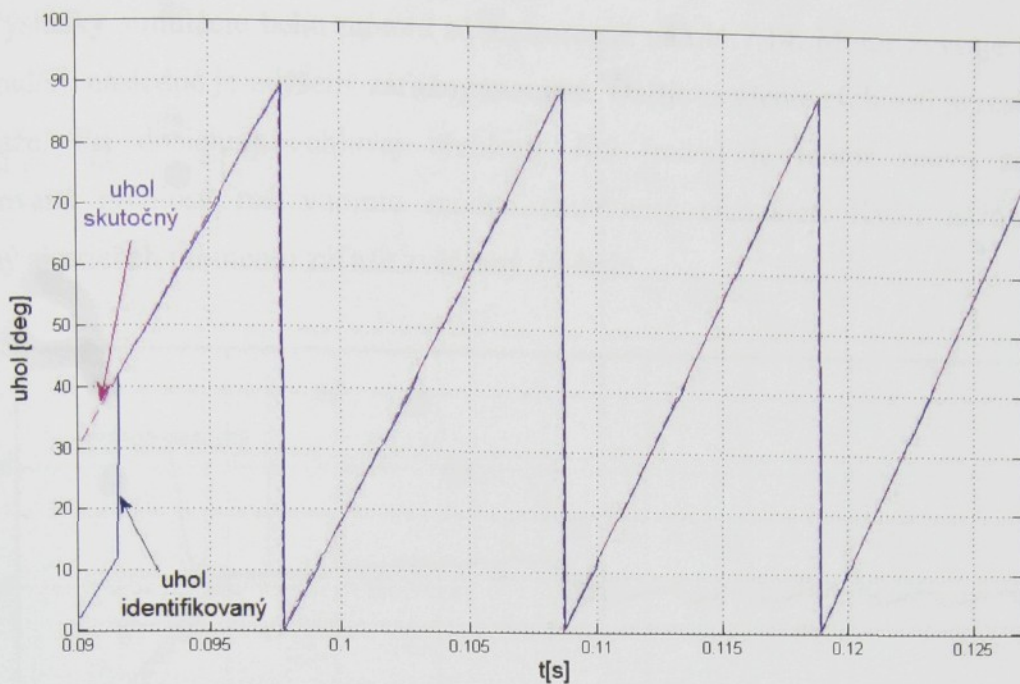
Na obr.7.11 je zobrazená základná schéma modelu riadenia SRM na základe tvaru prúdu. Identifikačný impulz začína pri prvom poklese prúdu budenej fázy a vypína ho až prvý pokles prúdu nasledujúcej fázy, tento pokles súčasne spúšťa druhý identifikačný impulz, ktorý ukončí prvá záporná derivácia prúdu nasledujúcej fázy. Priebehy prúdov a identifikačné impulzy sú znázornené na obr.7.12. Začiatky impulzov identifikujú pre vyšetrovaný konkrétny motor polohu 14° , 44° a 74° . Detail identifikácie uhla je na obr.7.13. Vzhľadom na pomerne presnú identifikáciu rýchlosťi je výrazná len prvá korekcia uhla. Ďalšie korekcie sú slabo viditeľné. Na základe dĺžky trvania identifikačných impulzov je určovaná uhlová rýchlosť. V danom modeli je identifikácia polohy na základe tvaru prúdu použitá od uhlovej rýchlosťi $140[\text{rad/s}]$. Je to dané zvolenými parametrami motora t.j. veľkosť napäťových

impulzov a nastavené prúdové obmedzenie. Motor sa rozbieha na potrebné otáčky na základe spínania odvodeného od „skutočnej polohy“. Po dosiahnutí uhlovej rýchlosťi $140[\text{rad/s}]$ sa spínanie ako aj riadenie odvija od identifikovanej polohy a rýchlosťi otáčania.

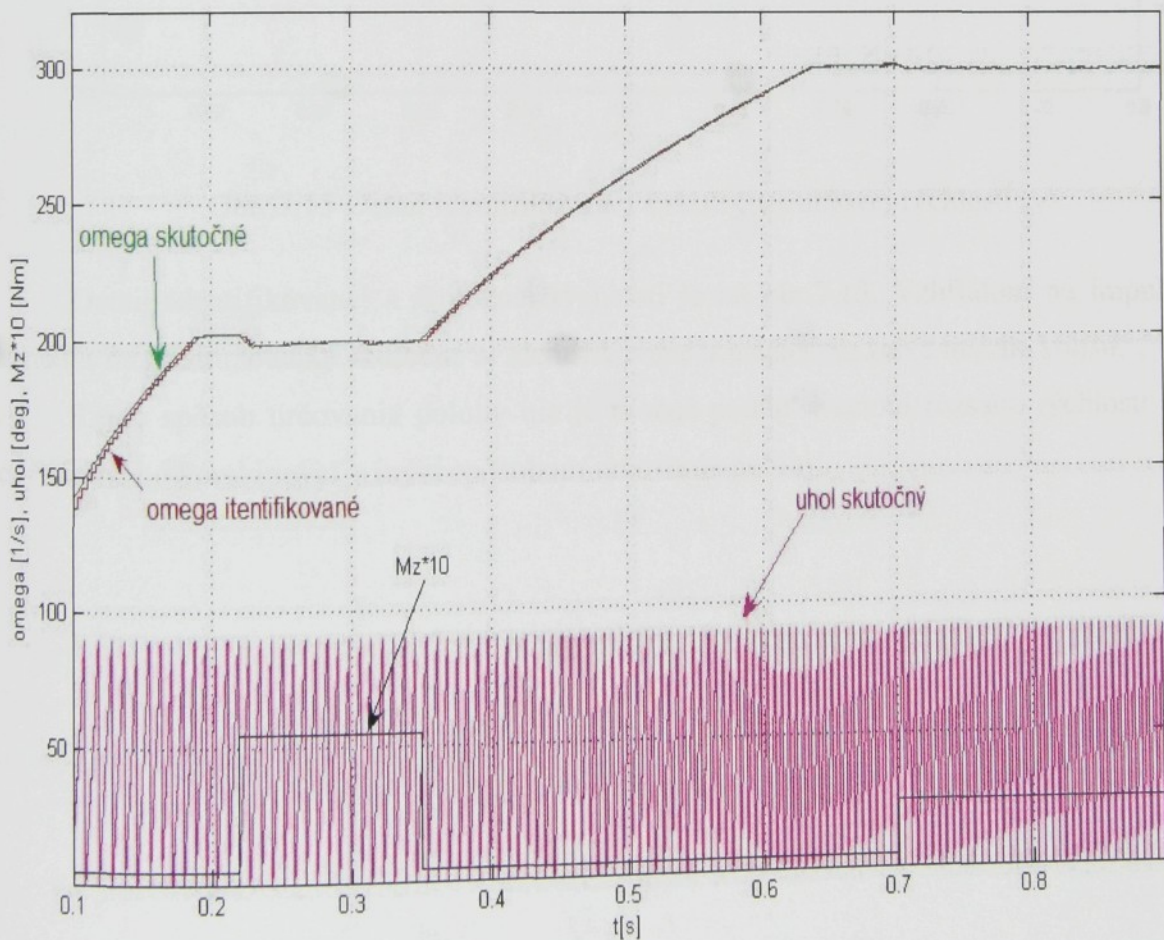
Na obr. 7.12 je viditeľná zmena veľkosti prúdového impulzu. Je to dané tým, že motor dosiahol požadované otáčky a záťažný moment je malý. Bolo znížené napätie, keďže dĺžku napäťového impulzu v danom prípade nie je vhodné znížiť pod 15° t.j. regulácie len zmenou dĺžky nájacieho impulzu je nedostatočná. Aj pri takom výraznom znížení prúdu je identifikácia spoľahlivá.



Obr. 7.12 Prúdy jednotlivých fáz a identifikačné impulzy

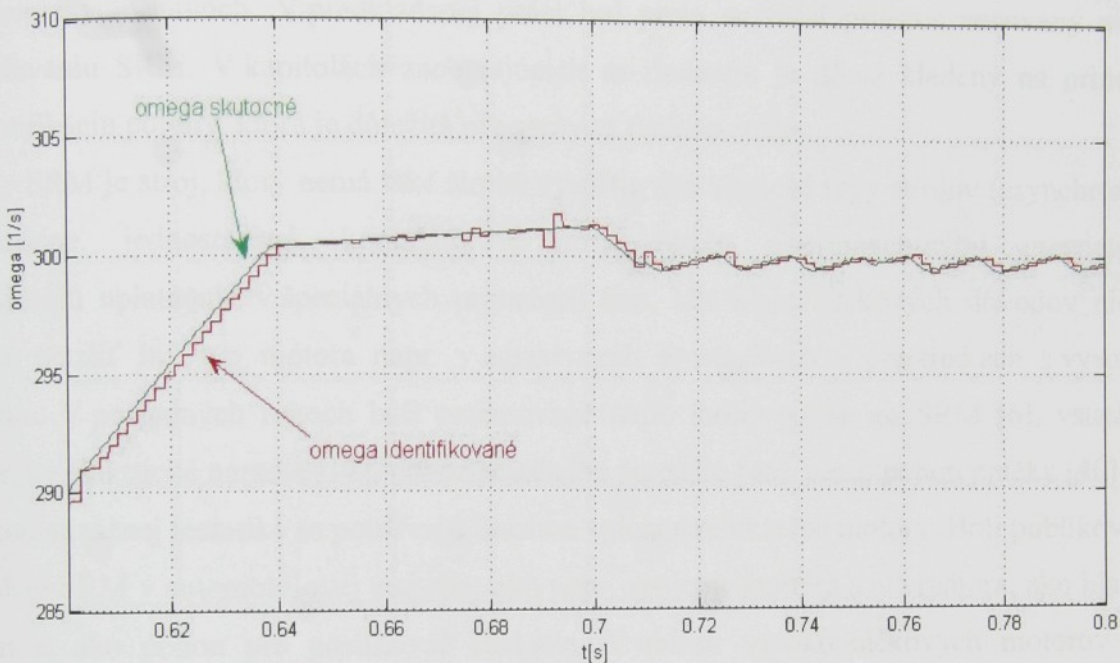


Obr. 7.13 Identifikovaný a skutočný uhol SRM.



Obr. 7.14 Výsledky simulácie.

Výsledky simulácie behu motora sú znázornené na obr.7.14. Motor zvyšuje rýchlosť na 200 [rad/s], následne je zvýšený záťažný moment. Ďalšie zvýšenie rýchlosť je realizované bez záťaže. Pri dosiahnutí uhlovej rýchlosť 300 [rad/s] je motor znova zaťažený. Identifikovaná rýchlosť má v tomto modeli stupňovitý charakter. Kvôli názornosti je zobrazený aj priebeh momentu záťaže zväčšený 10-krát.



Obr. 7.15 Detail identifikovanej a skutočnej uhlovej rýchlosťi

Detail identifikovanej a skutočnej rýchlosť je na obr.7.15. Vzhľadom na impulzny charakter momentu, otáčky skutočné aj identifikované v ustálenom stave mierne kolísu.

Tento spôsob určovania polohy nie je možné použiť v celom rozsahu rýchlosťí a je nevyhnutné ho kombinovať s iným spôsobom určovania polohy.

8 ZÁVER

Spínaný reluktančný motor je vo svojej podstate príkladom nelineárneho systému. Linearizácia, ktorá sa často používa u klasických typov strojov viedie pri tomto type k pomerne veľkej chybe. Pri navrhovaní tohto typu stroja sa nezaobídeme bez modelovania v dynamických stavoch. V predkladanej práci bol preto najväčší priestor venovaný práve modelovaniu SRM. V kapitolách zaoberajúcich sa riadením je dôraz kladený na princípy a identifikáciu polohy, ktorá je dôležitá pre správnu funkciu stroja.

SRM je stroj, ktorý nemá také široké využitie ako klasické typy strojov (asynchronné, synchronné, jednosmerné, komutátorové resp. stroje s permanentnými magnetmi). Nachádzajú uplatnenie v špeciálnych prípadoch tam, kde s prevádzkových dôvodov nie je možné použiť iný typ motora napr. v agresívnych prostrediach a prostrediach s vysokou teplotou. V posledných rokoch boli patentované napr. lodný pohon so SRM [6], vstavaný motor pre elektrické náradie [11], pohon rotačného čerpadla [46] ale aj pohon pračky [40]. V automatizačnej technike sa používajú lineárne spínané reluktačné motory. Boli publikované aplikácie SRM v automobilovej technike ako napr. spojenie štartéra a alternátora, ako hlavný pohon aj ako pohon pre posilňovač riadenia. V oblasti vysokootáčkových motorov bol použitý SRM ako pohon odstredivky [26], pohon kompresora [26], popisované sú možné aplikácie v leteckom priemysle ako napr. pohon pumpy pre plynovú turbínu [26].

Na zlepšovaní vlastností SR motorov sa stále vo svete pracuje aj keď v menšej miere ako koncom minulého storočia. Ich budúcnosť bude pravdepodobne v jednoúčelových vstavaných pohnoch tam kde sa dajú z výhodou využiť ich výhodné vlastnosti.

Výsledky autorky tejto práce boli prezentované a odborne diskutované v článkoch uverejnených v časopisoch, na medzinárodných konferenciách ako aj v rámci projektu Česko-slovenskej medzivládnej vedecko-technickej spolupráce medzi TU v Liberci, Fakulta mechatroniky a mezioborových inženýrských studií, Katedra elektrotechniky a TU v Košiciach Fakulta elektrotechniky a informatiky, Katedra elektrotechniky, mechatroniky a priemyselného inžinierstva.

9 LITERATÚRA

- [1] Acarnley P., Hill R. Hooper C.: Detection of Rotor Position in Stepping and switched Motor by monitoring of Current Waveforms. IEEE Transaction on Industrial Electronic, vol. IE-32, No3, august 1985
- [2] Branštetter,P.: Střídavé regulační pohony. Moderní spůsoby řízení, Edičné stredisko VŠB-TU Ostrava 1999.
- [3] Bu,J.-Xu,L.: Eliminating Starting Hesitation for Reliable Sensorless Control of Switched Reluctance Motors. IEEE Trans. Ind .Appl.vol 37 (2001),No.1/2, pp.59-66.
- [4] Čorda J.-Mašič S.: Computation of torque pulsation of switched reluctance drive. Int. Conf. in Electrical Machines and Drives, London 1989, pp. 308-311.
- [5] Darson G.E-Eastham A.R.: Switched Reluctance Motor Torque Characteristics: Finite-Element Analysis and Test Results. IEEE Trans.Ind. Appl., vol.23 (1987), No. 3, pp. 532-537.
- [6] Divljakovic Vojislav V (Us); Neumann David L (Us); Sleder Sr Richard L (Us): Marine propulsion device with a switched reluctance starter motor and generator system, patent č. US6699081, 2.3.2004.
- [7] Dumas M.: Histoire générale des techniques, Tome III, Paris,1968; Tome IV, Paris, 1978
- [8] Elmas,C.-Zelaya,H.-De La Parra: Position Sensorless Operation of a Switched Reluctance Drive Based on Observer. The EPE Ass., 1993, pp. 82-87.
- [9] Gallegos-Lopez,G.-Kjaer,P.C.-Miller,T.J.E.: A New Sensorless Method for SRM Drives. IEEE Trans. Ind. Appl. 1998, No.4, pp. 832-840.
- [10] Guo,H.J.-Lee,W.B.-Watanabe,T.-Ichinokura,O.: An Improved Sensorless Driving Method of SRM Using Impressed Voltage Pulse. PCC Osaka 2002, pp. 977-980.
- [11] Hempe David A ; Meyer Gary D ; Ebben Roderick N ; Brozek Jeffrey M : Electrical devices including a switched reluctance motor, patent č. US2003163924, 2003.
- [12] Heese Thomas (DE); Crivii Mircea (CH): Two-phase, switched reluctance motor, patent č. WO02097954, 2002.
- [13] Hrabovcová V., Janoušek L., Rafajdus P., Ličko M.:Moderné elektrické stroje, Vydavateľstvo Žilinskej univerzity, 2001.
- [14] Hrabovcová V., Ličko M.: Reluktančný synchrónny motor, EDIS – vydavateľstvo ŽU 2001.
- [15] Hrabovcová V., Rafajdus P., Franko M., Hudák P.: Meranie a modelovanie elektrických strojov, Vydavateľstvo Žilinskej univerzity, 2004.
- [16] Hrabovcová,V.-Rafajdus,P.-Ličko,M.-Janoušek L.: Modelling of the dynamic operation of the SRM drive by Simulink. Proc. Speedam'98, Sorrento, P1, pp. 61-66.
- [17] Chen hao, Xie Guilin: Symmetry of switched reluctance motor drive, PEMC 1996, Vol.2, pp.606-610.
- [18] Ichinokura Osamu (JP); Guo Hai-Jiao (JP); Wakasa Tsuyoshi (Jp): Switched reluctance motor sensorless driver circuit, patent č. WO2004013952, 12.2.2004.
- [19] Inderka, R.B. De Doncker,R.W.: Simple average torque estimation for control of switched reluctance motors. Proc.EPE-PEMC Int.Conf.Košice 2000, vol. 5, pp.176-181.
- [20] Ilić-Spong,M.-Marino,R.-Peresada,S.M-Taylor D.G.: Feedback linearizing control of switched reluctance motors. IEEE Trans. Aut. Control, 1987, vol. AC-32, pp. 371-379
- [21] Kaneda Takasuke; Takahashi Toshimitsu; Saida Hisamitsu: Switched reluctance motor, patent č. JP2005160203, 16.6.2005.
- [22] Kaplan Martin (US); Kokernak James M (US): Switched reluctance motor having improved stator pole design, patent č. US2004155545, 12.8.2004.

- [23] Kim Sang Young (KR): Method for reducing torque ripple of switched reluctance motor, patent č. US2002109476, 2002.
- [24] Kishibe Taro; Saha Subrata; Murakami Hiroshi ; Narazaki Kazushige (JP): Method and apparatus for estimating rotor position and for sensorless control of a switched reluctance motor, patent č. WO2004049552, 10.6.2004.
- [25] Krishnan R.: Switched reluctance motor drives, CRC Press, Boca Raton London New York Washington, DC, 2001.
- [26] Lawrenson, P.J.-Stephenson, J.M.-Čorda, J.- Blenkinsop, P.T.-Fulton,: Variable-speed reluctance motors. Proc. IEE, 1980, vol.127, pp. 253-265.
- [27] Lumsdaine,A.-Lang,J.H.: State Observer for Variable Reluctance Motors. IEEE Trans.Ind.Electronics 1990, No.2, pp. 133-142.
- [28] Masahiko Hasegawa, Naoki Tanaka, Akira Chiba, Tadashi Fukao: The Operation Analysis and Efficiency Improvement of Switched Reluctance Motors with High silicon Steel, IEEE 2002, pp.981-986 .
- [29] Magyar F. a kol.: Správa pre priebežnú oponentúru výskumnej úlohy A 06-124-808/DÚ 01 „Elektrický pohon so spínaným reluktančným motorom“, Košice november 1988.
- [30] Mevrow B.: New winding configuration for doubly salient reluctance machines, IEEE Transaction on Industrial Electronic, Vol. 32 No.6, november/december 1996
- [31] Mese,E.-Torrey,D.A.: An Approach for Sensorless Position Estimation for Switched Reluctance Motors Using Artificial Neural Network. IEEE Trans. on Power Electronics, 2002, No.1, pp. 66-75.
- [32] Mecrow Barrie Charles: Switched reluctance motor, patent č. EP1359660, 2003.
- [33] Miller T.J.E.: Brushless permanent-magnet and reluctance motor drives, Clarendon Press-Oxford 1989.
- [34] Morhbelli H.H., Raschid M.H.: The switched reluctance motor drives: characteristics and performances. EPE Firenze 1991, Part 1, pp.3989-403.
- [35] Mvungi N.M., Stephenson J.M.: Accurate sensorless rotor position detection in an SR motor, EPE, Firenze 1991, pp. 390-393.
- [36] Nakayama Takatomo: Switched reluctance motor, patent č. JP2002272071, 2002.
- [37] Nakano Shin; Saida Hisamitsu: Switched reluctance motor, patent č. JP2004364368, 24.12.2004.
- [38] Neborák,I.: Modelování a simulace elektrických regulovaných pohonů, Edičné stredisko VŠB-TU Ostrava 2002.
- [39] Omekanda Avoki M.: Method of optimizing performance parameters of a switched reluctance motor, patent č. US2002121876, 2002.
- [40] Peachee C Theodore; Williams Donald J; Randall Steven P: Washing machine including a segmented stator switched reluctance motor, patent č. WO02077352, 3.10.2002
- [41] Pollock C., Williams B.W.: The design and performance of a multiphase switched reluctance drive. EPE Aachen 1989, pp.29-34.
- [42] Ray W.F., Lawrenson P.J., Davis R.M., Stephenson J.M., Fulton N.N., Blake R.J.: High-performance switched reluctance brushless drives, IEEE Transactions on Industry Applications, Vol. IA-22,No.4, july/august 1986.
- [43] Sargos F.M., Záskalický P., Gudefin E.J.: Generalized theory of structures of reluctance step motors, IEEE- industrial applications society meeting, 1993, Toronto, pp.211-216.
- [44] Stephenson J.M., El-Kazendar M.A., Stroud R.J.: Torque production and energy circulation in idealised current feed SR motors, ICEM 1988, Pisa, Vol.II, pp.545-550.
- [45] Tanaka Hiroto; Minegishi Sannashi: Switched reluctance motor, parent č. JP2004236369, publikovaný 19.8.2004.

- [46] Tessier Lynn P (Ca); Doyle John P (Ca); Weber James L (Ca): Frameless Switched Reluctance Motor and Application as a Top Drive for a Rotary Pump, patent č. US2005269889, 8.12.2005
- [47] Tomko J., Le Quang Duc: Control of a synchronous Switched Reluctance Motor - Vibration Equipment. PEMC 98, Prague 1998, vol. 3.3, pp.10-14.
- [48] Torrey D.A, Lang J.H: Modelling a nonlinear variable reluctance motor drive. IEE Proc. vol. 137 (1990), Pt. B, pp. 315-326.
- [49] Xu,L.-Yao,J.:A compensated vector control scheme of a synchronous reluctance motor including saturation and iron losses. IEEE Trans. Ind. Appl. vol. 28(1992), pp.1330-1338.
- [50] Zaskalický,P.: Optimisation of excitation of the switched reluctance motor (in Slovak). Acta Electrotechnica and Informatica,, vol.1 (2001), No.1, pp.45-49.
- [51] Záskalický P., Gudefin E.J., Sargos F.M.: Reluctance machine with dissymmetrical poles. EDPE 1992, Košice, pp.93-97.
- [52] Žalman M.: Akčné členy,(skriptá) vydavateľstvo STU v Bratislave, 2003.
- [53] Isobe Shinichi; Nakamura Toshiaki: Switched-Reluctance Motor, číslo patentu JP2001309622, 2001.
- [54] Sakuma Masafumi: Switched reluctance motor, číslo patentu US5945761, 31.8.1999.
- [55] Maxim V.: Converters for feeding of switched reluctance motor – review, EDPE 1994 High Tatras, Vol.2, pp.290-295.
- [56] Maxim V., Milly D.: Modeling a nonlinear switched reluctance motor using PSpice, EDPE 1994 High Tatras, Vol.2, pp.287-289.
- [57] Ferková Ž , Zboray L.: Model of the switched reluctance motor with sensorless control, Acta Technica CSAV 48, pp 301-311 (2003), ISSN 0001-7043.
- [58] Le Quang Duc, Ferková Ž.: Modelling of the Switched Reluctance Motor in Dyna-mical Performance, Journal of Electrical Engineering, Vol.50, NO. 7-8,1999, pp 190-193.
- [59] Ferková Ž., Oetter J.: Switched Reluctance Motor Properties, EDPE'92 Košice, Vol.1,pp 83-86
- [60] Le Quang Duc, Ferková Ž.: Modelling of the Switched Reluctance Motor, EDPE 94, The High Tatras,pp. 284-286
- [61] Ferková,Ž., Zboray, L.,Durovský,F.: Model and Control of a Switched reluctance Motor. Acta Electrotechnica et informatica , No.2 Vol.2 2002 str.14-18.
- [62] Hrabovcová, V. ; Rafajdus, P; Ferková, Z.; Test and Simulation Results of Switched Reluctance Motor (SRM) Characteristics, EDPE 96, The High Tatras, pp.516-520
- [63] Ferková Ž.: Accuracy of Simulation of the Switched Reluctance Motor Using Linearization, PEMC 98 Prague, pp.86-88
- [64] Le Quang Duc, Ferková Ž.: Control of the Switched Reluctance Motor with Minimisation of Torque Ripple, EDEP'99 ,The High Tatras ,Slovakia,1999, pp. 284-287
- [65] Ferková,Ž.Oetter,J.: Einfluss der Schaltwinkel auf das Verhalten des geschalteten Reluktanzmotors. . Medzinárodná konferencia MicroCAD-SYSTEM 93 Miškolc, sekcia Elektrotechnika, str. 29-36
- [66] Ferková Ž.: The choice of value of airgap in SRM. International Workshop on Electrical Machines in Prague, September 1995, str.48-53.
- [67] Tomko J.,Ferková Ž., Šandor R.: Dynamic Model of Vibration Mill System Driven by Switched Reluctance Motor, MicroCAD'95, Miskolc 1995
- [68] Tomko J., Ferková Ž.: Pohony vibračných zariadení, SYMEP'98, Ostrava, 1998, pp.35-39.
- [69] Ferková Ž.: Model of a Switched reluctance Motor with Application of Natural Speed to current Control, X. International Symposium on Electric machinery in Prague ISEM 2002, pp.34-38.

- [70] Ferková Ž.: Príspevok k výpočtu momentu spínaného reluktančného motora,
Elektrotechnika '89, Zborník prác z 2. vedeckej konferencie Elektrotechnickej fakulty
SVŠT v Bratislave so zahraničnou účasťou Elektrotechnika '89, str.235-340
- [71] Ferková, Ž.: Porovnanie spínaných reluktančných motorov $2p_1/2p_2=8/6$ a $2p_1/2p_2=6/4$,
Proc. of the Int. Colloquium of departments of el. machines, VŠDS Žilina, 1996, s.49-54.